



بسم الله الرحمن الرحيم

طراحی لرزه ای ساختمان های فولادی به روش LRFD

# صرفهای:

- ۱- مقدمه ای به روش LRFD
- ۲- مقدمه ای به طرح لرزه ای سازه های فولادی
- ۳- سیستم های باربر جانبی فولادی

**Concentrically Braced Frames**

**Eccentrically Braced Frames**

**Moment Resisting Frames**

**Plate Shear Walls**

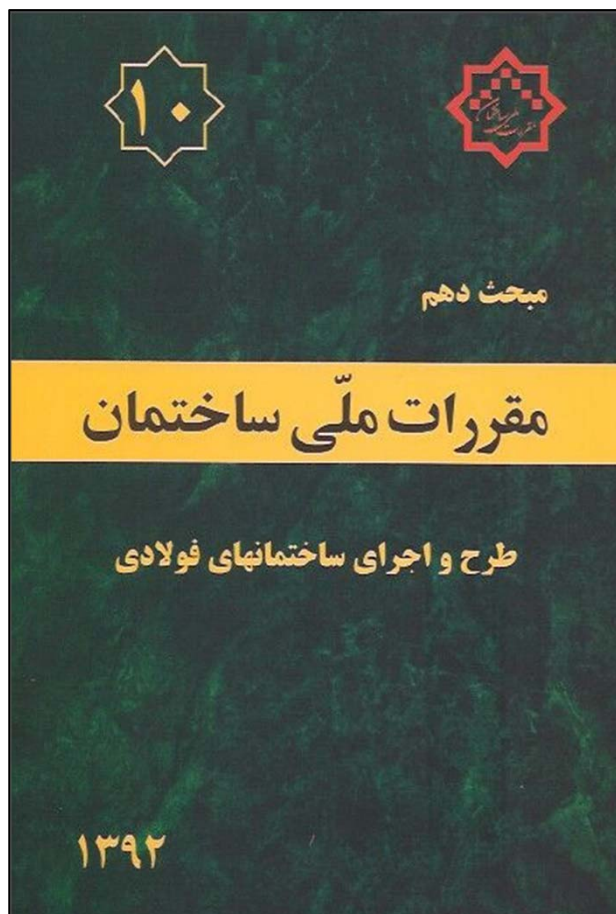
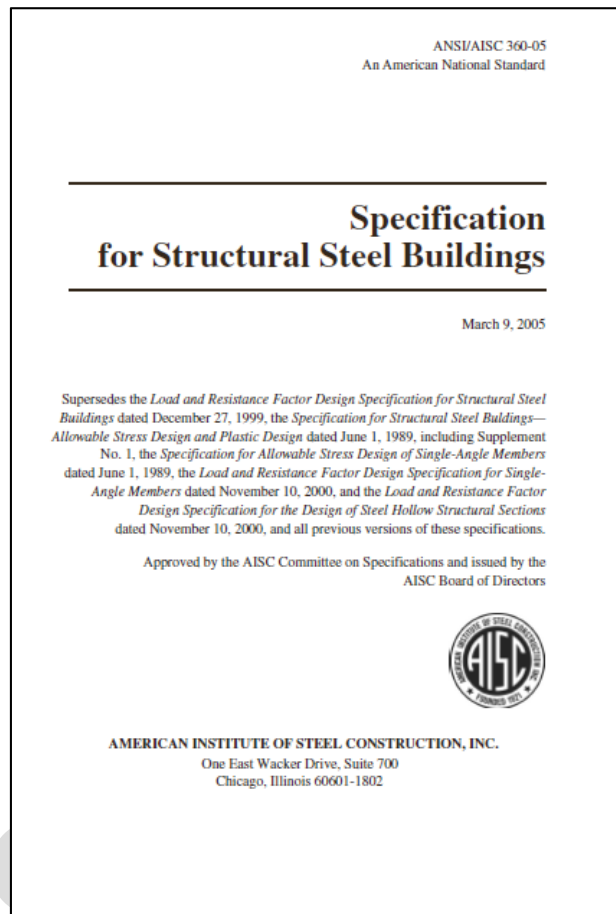
**Dual System**

- سیستم های مهاربندی هم محور
- سیستم های مهاربندی برون محور
- سیستم های قاب خمشی
- سیستم دیوار برشی فولادی
- سیستم های ترکیبی
- سایر سیستم ها

**4- طراحی اجزا ساختمان (تیر-ستون-مهاربند ..) به  
روش LRFD**

**5- آشنایی با ضوابط طرح لرزه ای ساختمانهای فولادی به  
روش LRFD**

**آئین نامه های طراحی سازه های فولادی:**  
اصلی ترین و مهمترین آئین نامه ای که حاوی ضوابط طراحی سازه های فولادی در **AISC: "American Institute of Steel Construction"** کشور ایالات متحده آمریکاست، آئین نامه مقررات ملی ساختمان مجموعه ای است که به عنوان آئین نامه سازه های فولادی مورد استفاده مهندسان قرار می گیرد.



## 2-روش‌های طراحی

هدف از هر طرحی تولید یک سازه ایمن و اقتصادی است. اگر مقاومت سازه را با  $R$  و بارهای وارد بر آن را با  $Q$  نمایش دهیم، شرط ایمنی و اقتصادی این است که



$$Q = R$$

## عدم قطعیت های طراحی:

- عدم توانایی در پیش بینی دقیق بارهای وارد به سازه
- مقاومت اعضای سازه و بارهای وارد بر آن طبیعت آماری داشته و به یقین نمی توان گفت که مقاومت مصالحی که از کارخانه بیرون می‌آید، چه مقدار است.

در روش‌هایی که برای تحلیل سازه به کار می‌رود فرضیاتی وجود دارد در عمل و اجرا دقیقاً قابل تامین نمی باشند

$$\sum \gamma_i * Q_i = \Phi * R_n$$

که در  $\gamma_i$  ضرایب افزایش بار،  $Q_i$  بارهای وارد بر سازه  $\Phi$  ضریب کاهش مقاومت  $R_n$  مقاومت اسمی عضو است.

انواع روش های طراحی:

روش تنش مجاز:

روش ضرایب بار و تغییر مکان:

$$R_U \leq \Phi * R_n$$

## ۱۰ - ۲ - ۳ - ۴ طراحی در حالات حدی نهایی

در این حالت حدی، طراحی اعضای مختلف سازه چنان صورت می‌گیرد که مقاومت نهایی طرح یا حداکثر ظرفیت باربری عضو در هر مقطع، بزرگتر یا مساوی با تلاش‌های موجود در آن مقطع تحت اثر بارهای ضربدار وارد به سازه باشد:

$$\phi R_n \geq R_t \quad (1-2-1)$$

در رابطه فوق،  $R_n$  مقاومت نهایی اسمی عضو در مقطع مورد نظر و  $R_t$  تلاش‌های موجود در آن مقطع تحت اثر بارهای ضربدار است که مقاومت مورد نیاز نیز خوانده می‌شود.  $\phi$  را ضریب تقلیل مقاومت و  $\phi R_n$  را مقاومت نهایی طرح نامند.

### الف) مقاومت نهایی اسمی $R_n$

مقاومت نهایی اسمی  $R_n$ ، برای هر تلاش خاص، باید براساس مشخصات هندسی مقطع، رفتار مکانیکی عضو تحت آن نوع تلاش و با منظور کردن شرایط تعادل نیروها در مقطع و سازگاری تغییرشکل‌ها در تارهای مختلف آن تعیین شود.

در تعیین مقاومت نهایی طرح مقطع، ضرایب تقلیل مقاومت  $\phi$  باید اثر داده شوند. مقدار ضریب تقلیل  $\phi$  و مقاومت نهایی اسمی برای هر تلاش خاص در بخش‌های مربوطه و در قسمت ب، بعضی از مقادیر نمونه  $\phi$  ارایه شده است.

## ب) ضرایب تقلیل مقاومت $\phi$

در این فصل، ضرایب تقلیل مقاومت  $\phi$  به شرح زیر در نظر گرفته می‌شود:

$$\phi_c = 0.9 \quad (\text{برای فشار محوری})$$

$$\phi_v = 0.90 \text{ تا } 1.0 \quad (\text{برای برش})$$

$$\phi_b = 0.90 \quad (\text{برای لنگر خمشی})$$

$$\phi_t = 0.90 \quad (\text{برای تسلیم عضو کششی})$$

$$\phi_l = 0.75 \quad (\text{برای گسیختگی عضو کششی})$$

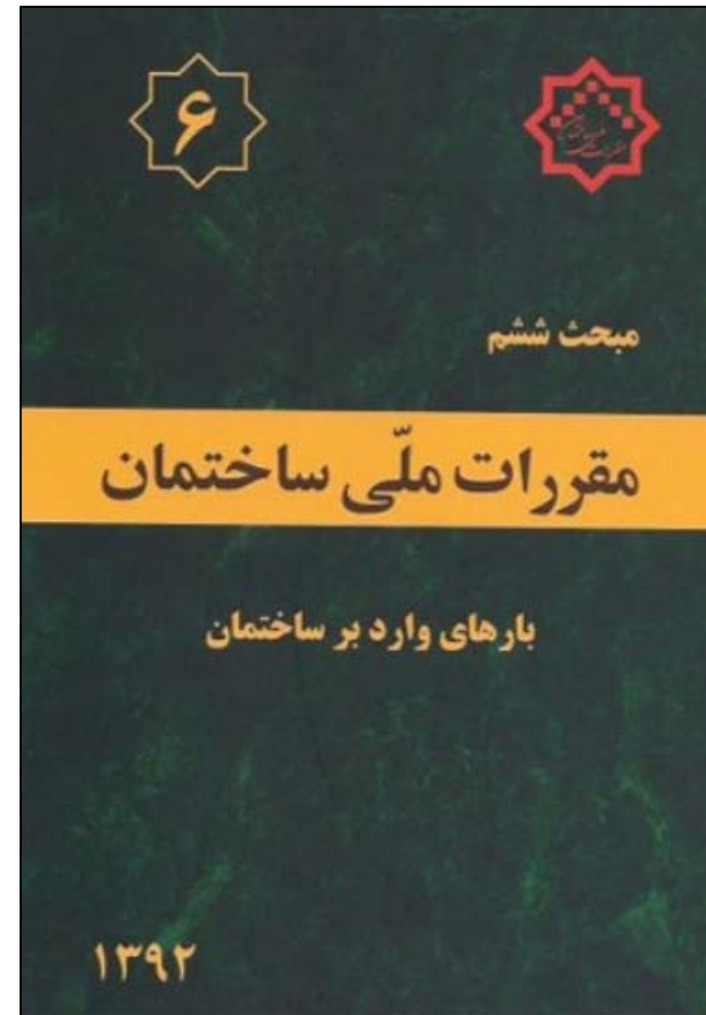
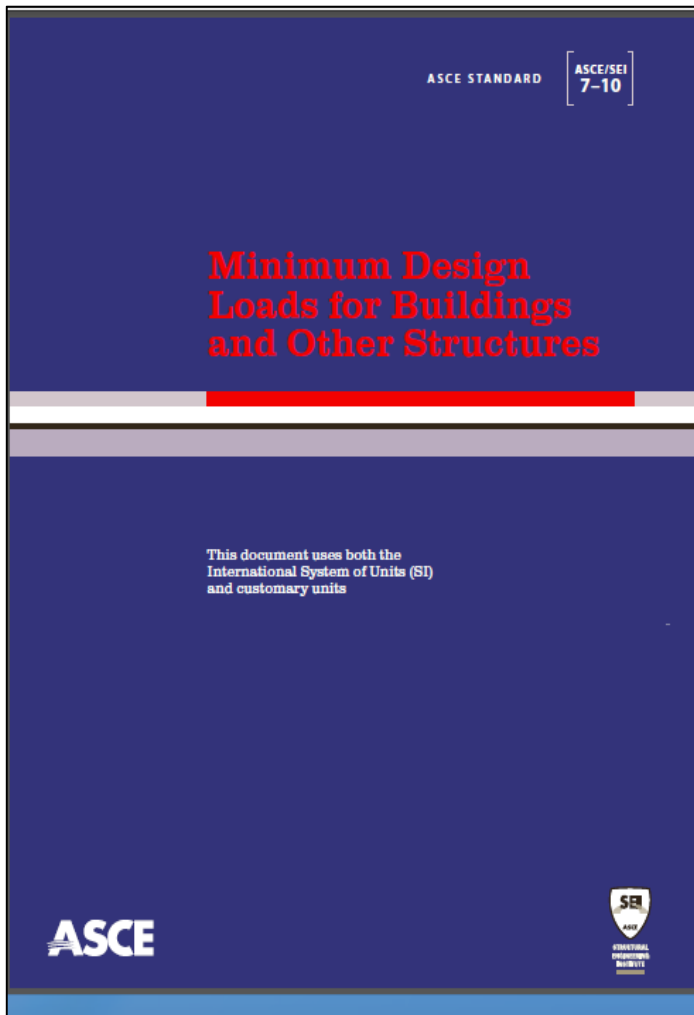
$$\phi = 0.75 \quad (\text{برای مقلومت اتکایی})$$

$$\phi_T = 0.9 \quad (\text{برای لنگر پیچشی})$$

## پ) تلاش‌های نهایی یا مقاومت مورد نیاز $R_r$

تلاش‌های نهایی یا مقاومت مورد نیاز  $R_r$  در مقاطع مختلف سازه، شامل لنگرهای خمشی، نیروهای محوری، نیروهای برشی و لنگرهای پیچشی باید براساس تحلیل سازه تحت اثر بارهای محلساتی مبحث ششم و ترکیبات ضربیدار آنها تعیین شود. در این مورد باید نامساعدترین شرایط بارگذاری و ترکیبات آنها در نظر گرفته شود. نامساعدترین وضعیت ممکن است هنگامی رخ دهد که یک یا چند مورد از بارها مؤثر باشند.

## آیین نامه های بارگذاری:



## جدول ۱۰-۱-۱-۱ ترکیب‌های بارگذاری متعارف در ساختمان‌ها در طراحی بهروش تنש‌های مجاز

ردیف	شرايط	ترکیب بار
۱	ترکیب بار مبنا <sup>۱</sup> (مرده + بهره‌برداری)	D + L
۲	ترکیب بار مرده، بهره‌برداری و زلزله یا باد *	۰/۷۵ [D + L ± (E - W)] ۰/۷۵ [D ± (E - W)]
۳	ترکیب بارهای مرده، بهره‌برداری و فشار خاک یا آب	(D + F) + (L + H) D + F + H
۴	ترکیب بارهای مرده، بهره‌برداری و آثار حرارتی، جمع‌شدگی، و نشست تکیه‌گاهها *	۰/۷۵(D + L ± T) ۰/۷۵(D ± T)

در ترکیبات فوق:

=D بار مرده

=L بار بهره‌برداری شامل بار زنده طبقات و سربار حاکم بر بام (بار زنده بام، بار برف یا بار باران)

=W بار باد

=E بار زلزله

=F وزن و فشار ناشی از مایعات

=H بار ناشی از وزن و فشار خاک و یا فشار تؤام خاک و آب

=T اثرات خودکرنشی ناشی از تغییرات دما، نشست پایه‌ها، وارفتگی و غیره

## ترکیبات بارگذاری مطابق مبحث دهم مقررات ملی ساختمان ویرایش سال ۸۷

### مبحث دهم

جدول ۱۰-۱-۲-۲ ترکیب‌های بارگذاری در ساختمان‌های متعارف در حالت حدی نهایی

ردیف	شرایط	ترکیب بار
۱	ترکیب بار مینا (مرده + بهره‌برداری)	$\frac{1}{4}D$ $\frac{1}{25}D + \frac{1}{5}L$
۲	ترکیب بار مرده، بهره‌برداری و زلزله یا باد	$D + \frac{1}{4}L + \frac{1}{4}(E \text{ یا } W)$ $\cdot \frac{1}{85}D + \frac{1}{4}(E \text{ یا } W)$
۳	ترکیب بارهای مرده، بهره‌برداری و فشار خاک یا آب	$\frac{1}{25}(D + F) + \frac{1}{5}(L + H)$ $\cdot \frac{1}{85}D + \frac{1}{25}F + \frac{1}{5}H$
۴	ترکیب بارهای مرده، بهره‌برداری و آثار حرارتی، جمع‌شدگی، و نشت تکیه‌گاهها	$D + \frac{1}{4}L + T$ $\frac{1}{25}D + \frac{1}{25}T$

۱. در شرایطی که اثر بار زنده در هریک از ترکیبات بارگذاری کاهش‌دهنده است، ضریب آن معدل صفر منظور می‌گردد.

در ترکیبات فوق:

$D = \text{بار مرده}$

$L = \text{بار بهره‌برداری شامل بار زنده طبقات و سربار حاکم بر بام (بار زنده بام، بار برف یا}$

$\text{بار باران)}$

$W = \text{بار باد}$

$E = \text{بار زلزله}$

$F = \text{وزن و فشار ناشی از مایعات}$

ضرایب جزئی اینمی مطابق مبحث ششم مقررات ملی ساختمان ویرایش سال ۱۳۹۲ به شرح ذیل است.

#### ۲-۲-۶ علایم اختصاری

- ۱)  $1/4D$
- ۲)  $1/2D + 1/6L + 1/5(L_r \text{ یا } S \text{ یا } R)$
- ۳)  $1/2D + 1/6(L_r + 1/5(1/4W))$
- ۴)  $1/2D + 1/10(1/4W) + L + 1/5(L_r \text{ یا } S \text{ یا } R)$
- ۵)  $1/2D + 1/10E + L + 1/2S$
- ۶)  $1/9D + 1/10(1/4W)$
- ۷)  $1/9D + 1/10E$
- ۸)  $1/2D + 1/5L + 1/5(L_r \text{ یا } S) + 1/2T$
- ۹)  $1/2D + 1/6L + 1/6(L_r \text{ یا } S) + 1/10T$

علایم به کار رفته در روابط این فصل عبارتند از:

$A_k$  : بار یا اثر ناشی از حادثه غیر عادی

$D$  : بار مرده

$D_i$  : وزن بخ

$E$  : بار زلزله طرح

$F$  : بار ناشی از سیال با فشار و ارتفاع حداقل مشخص

$F_a$  : بار سیل

$L$  : بار زنده طبقات به جز بام

$L_0$  : حداقل بار زنده گسترده یکنواخت

$L_r$  : بار زنده بام

$R$  : بار باران

$S$  : بار برف

$T$  : بار خود کرنشی از قبیل اثرات تغییرات دما، نشست پایهها و وارفتگی

$W$  : بار باد

$W_i$  : بار باد وارد بر بخ

## ضرایب جزئی اینمی مطابق ACSE 7-10

1.  $1.4D$
2.  $1.2D + 1.6L + 0.5(L_r \text{ or } S \text{ or } R)$
3.  $1.2D + 1.6(L_r \text{ or } S \text{ or } R) + (L \text{ or } 0.5W)$
4.  $1.2D + 1.0W + L + 0.5(L_r \text{ or } S \text{ or } R)$
5.  $1.2D + 1.0E + L + 0.2S$
6.  $0.9D + 1.0W$
7.  $0.9D + 1.0E$
8.  $1.2D + 1.2T + 0.5L$
9.  $1.2D + 1.6T + 1.0T$

### 2.2 SYMBOLS

$A_k$  = load or load effect arising from extra ordinary event  $A$

$D$  = dead load

$D_i$  = weight of ice

$E$  = earthquake load

$F$  = load due to fluids with well-defined pressures and maximum heights

$F_a$  = flood load

$H$  = load due to lateral earth pressure, ground water pressure, or pressure of bulk materials

$L$  = live load

$L_r$  = roof live load

$R$  = rain load

$S$  = snow load

$T$  = self-straining load

$W$  = wind load

$W_i$  = wind-on-ice determined in accordance with Chapter 10

## قائمه ارجاعات زلزله بر سازه ها



## قائیر ۱ رفعات زلزله بر سازه ها



## تاًثیر ارتعاشات زلزله بر سازه ها



Figure 1 Column shear failures from (a) 1999 Kocaeli and (b) 1994 Northridge Earthquakes

گسیختگی برشی در ستونها

## قاییر ارتعاشات زلزله بر سازه ها



از دست رفتن باربری قایم بدليل اضافه بار وارد بر ستونها ناشی از زلزله

## قائیر ارتعاشات زلزله بر سازه ها

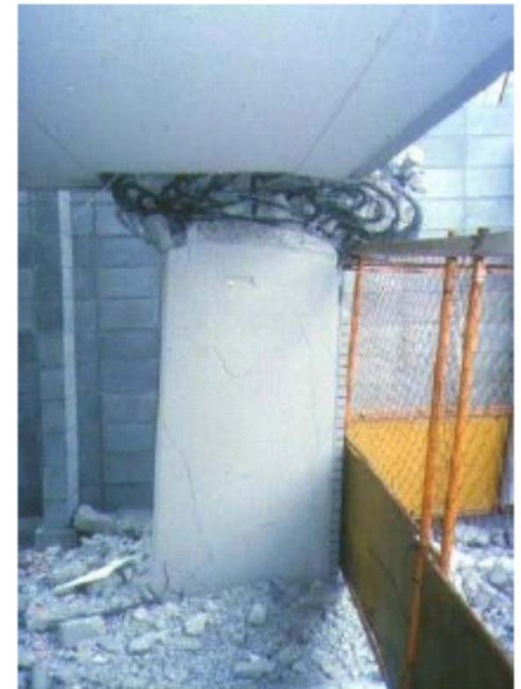


Figure 3 Gravity load collapse from 1995 Kobe Earthquake (AIJ, 1997)

گسیختگی تمامی ستونهای طبقه

## قائیر ارتعاشات زلزله بر سازه ها

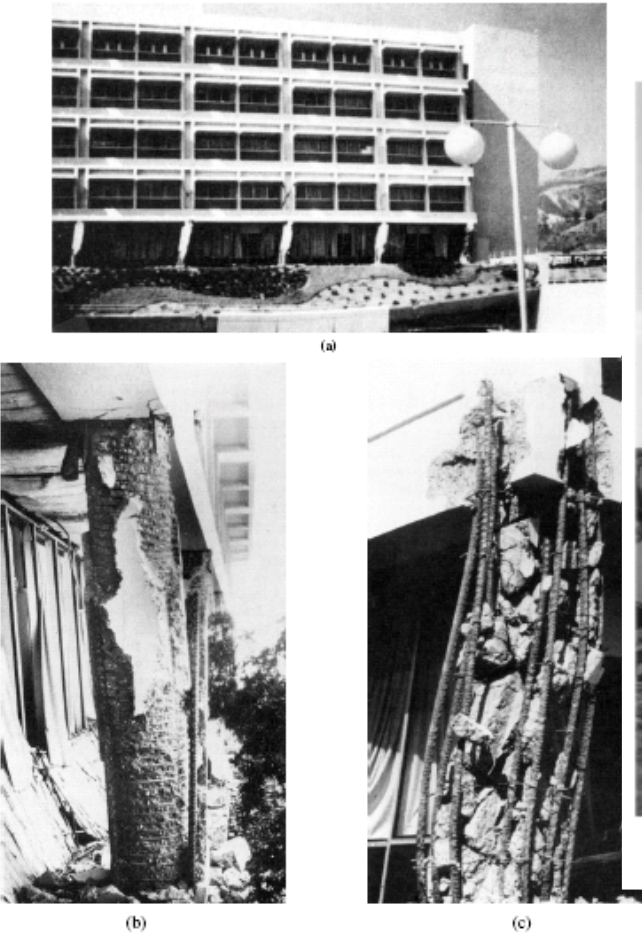


Figure 12-9. Collapse of concrete parking garage structure - October 17, 1989, Loma Prieta earthquake

گسیختگی برشی، عدم محصور شدگی کافی

خسارت در ناحیه اتصال تیر به ستون

## تأثیر ارتعاشات زلزله بر سازه ها

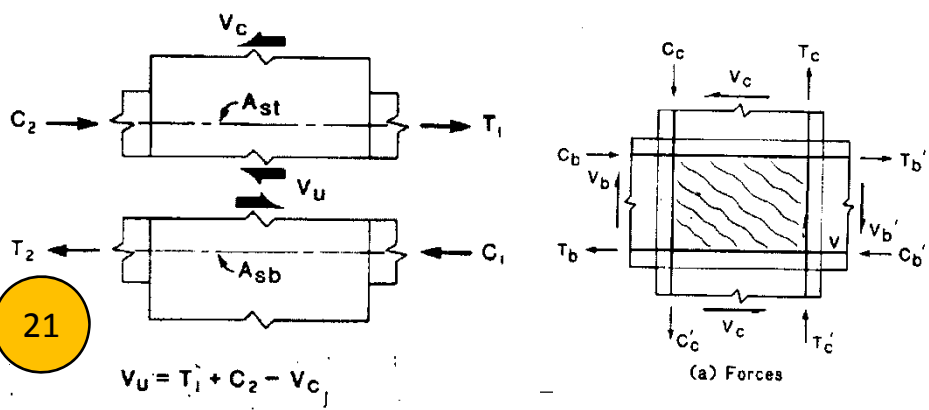
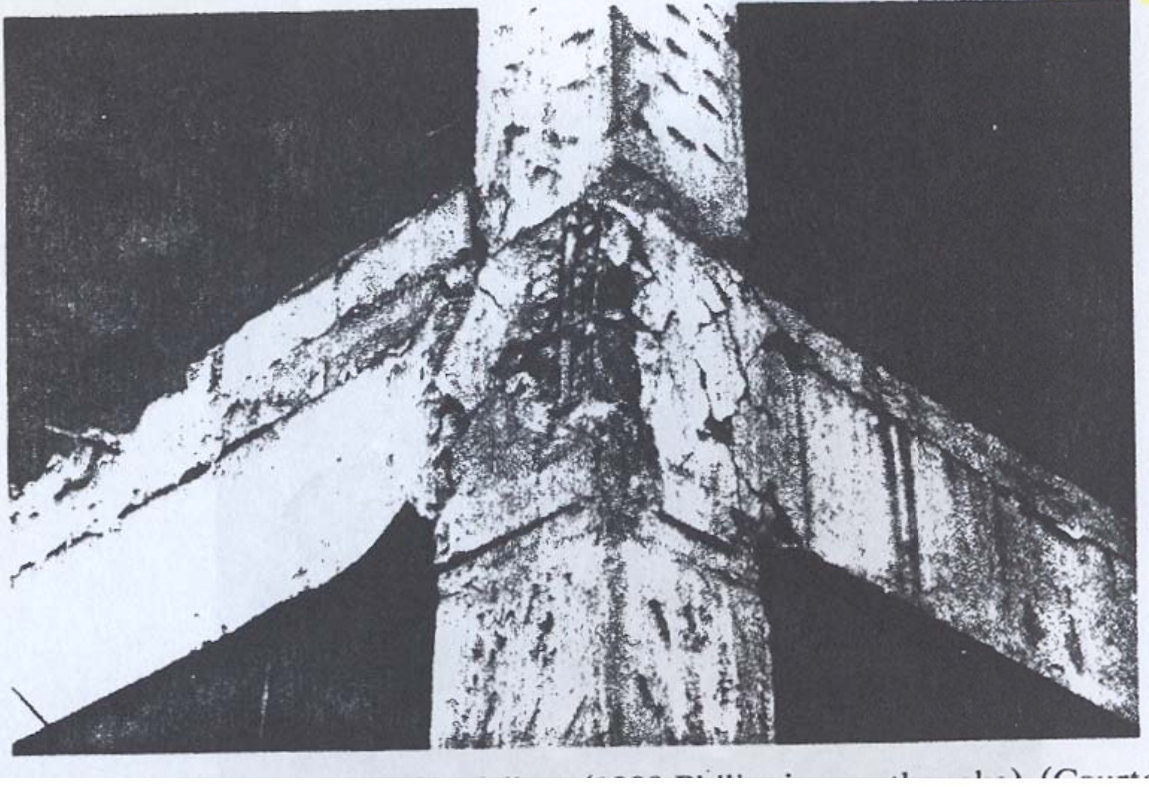
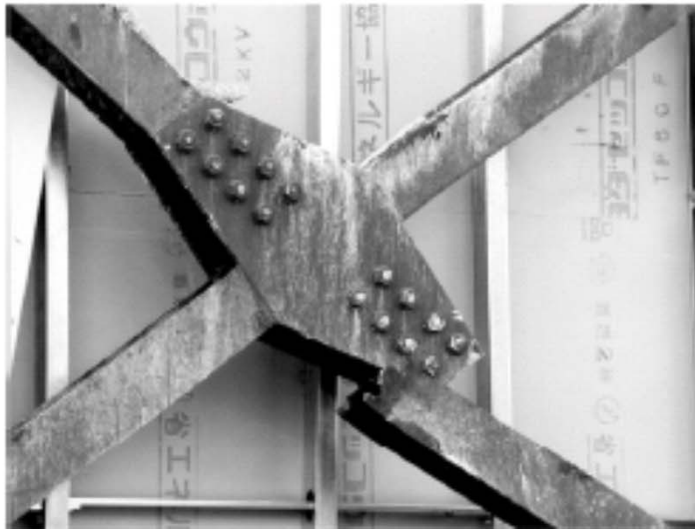


Figure 4 – Joint failures – Northridge earthquake

## گسیختگی در جوش و اعضاء



(a) Net section fracture at bolt holes



(b) Severe distortion of beam without lateral support at location of chevron braces

## قائیر ارتعاشات زلزله بر سازه ها



(c) Fracture of welded connection and web tear-out in brace



(d) Weld fracture

## محاسبه نیروهای زلزله وارد بر سازه ها

### ۱۳-۱) نیروی برشی پایه، $V$

حداقل نیروی برشی پایه یا مجموع نیروهای جانبی زلزله در هر یک از امتدادهای ساختمان با استفاده از رابطه زیر محاسبه می‌گردد:

$$V = CW \quad (1-13)$$

در این رابطه:

$V$ : نیروی برشی در تراز پایه. این تراز در بند ۲-۳-۱۳ تعریف شده است.

$W$ : وزن کل ساختمان، شامل تمام بار مرده و وزن تأسیسات ثابت به اضافه درصدی از بار زنده و بار برف

C: ضریب زلزله که از رابطه زیر به دست می‌آید:

$$C = \frac{ABI}{R}$$

که در آن:

A: نسبت شتاب مبنای طرح (شتاب زلزله به شتاب ثقل g)

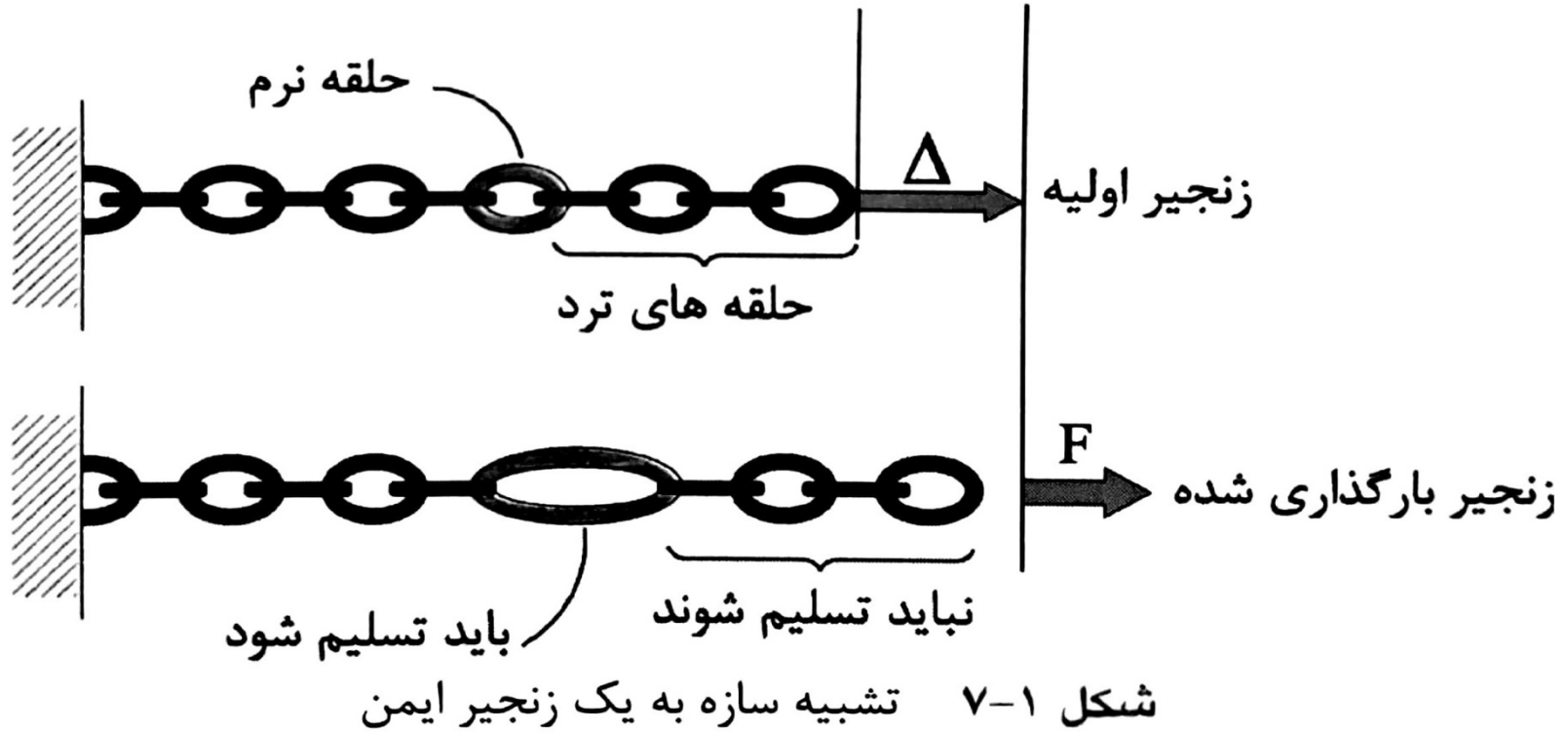
B: ضریب بازتاب ساختمان که با استفاده از طیف بازتاب طرح به دست می‌آید.

I: ضریب اهمیت ساختمان

R: ضریب رفتار ساختمان

# **مقدمه ای بر طرح لرزه ای سازه های فولادی**

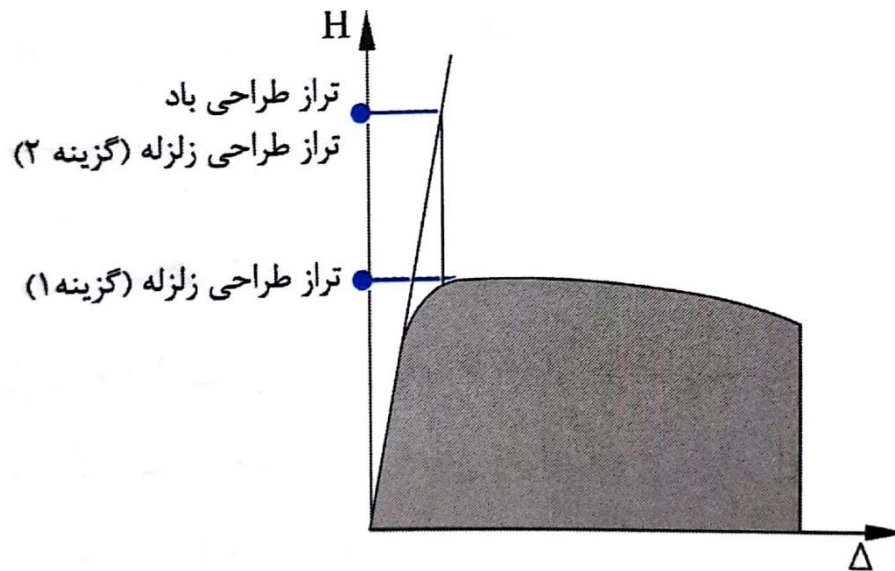
# **مفاهیم و تعاریف طراحی لرزه‌ای**



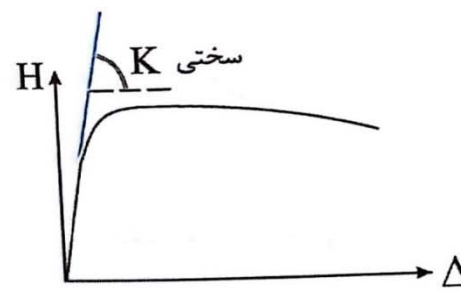
## ۱- تفاوت بار جانبی باد و نیروی زلزله:

- بار باد به صورت نیرو است و برای طراحی سازه در برابر باد یک حاشیه ایمنی منظور می‌گردد تا سازه رفتار ارتجاعی-خطی داشته باشد.
- سختی و مقاومت سازه دو پارامتر مهم طراحی در برابر باد هستند.
- علاوه بر دو پارامتر سختی و مقاومت سازه، در مقابل نیروی زلزله شکل پذیری نقش اساسی و شاید مهمتر از دو عامل دیگر داشته باشد.
- طراحی سازه در برابر باد در محدوده ارتجاعی صورت می‌گیرد اما در برابر زلزله دو گزینه طراحی ارتجاعی و غیر ارتجاعی وجود دارد.

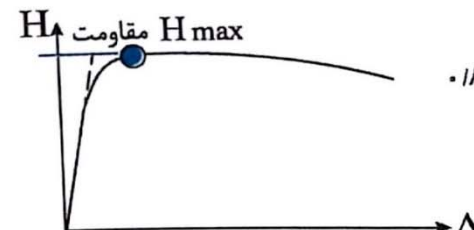
# ۱- تفاوت بار جانبی باد و نیپروی زلزله:



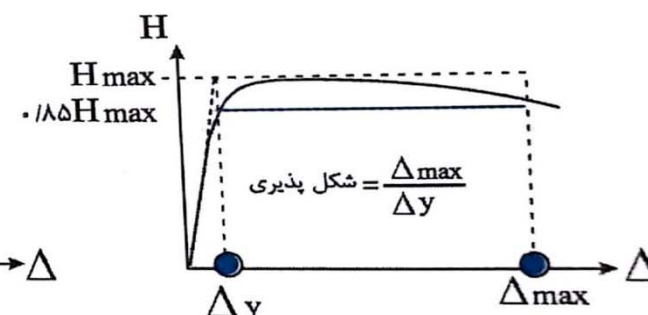
ترازهای طراحی سازه در برابر باد و زلزله



ج) سختی

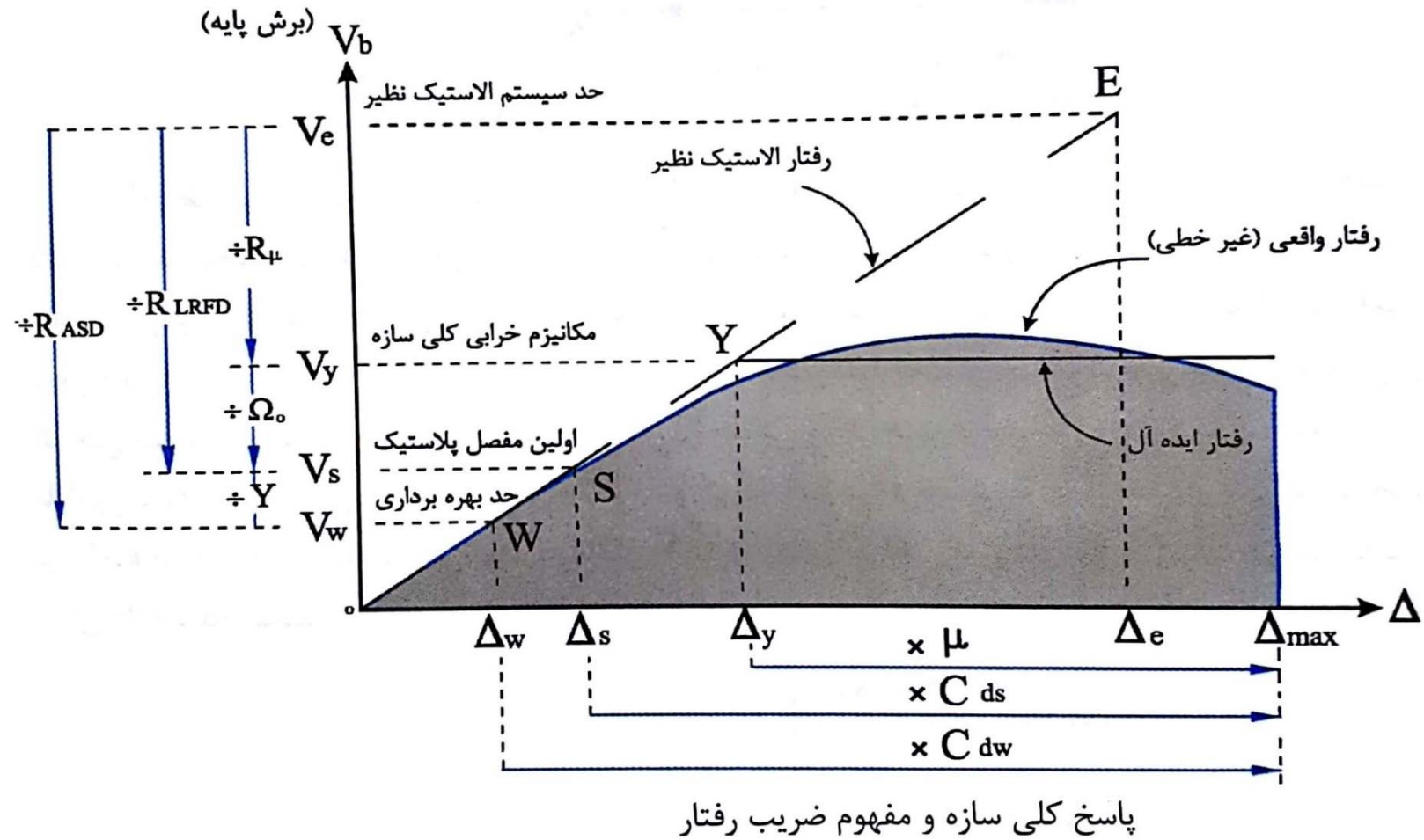


ب) مقاومت

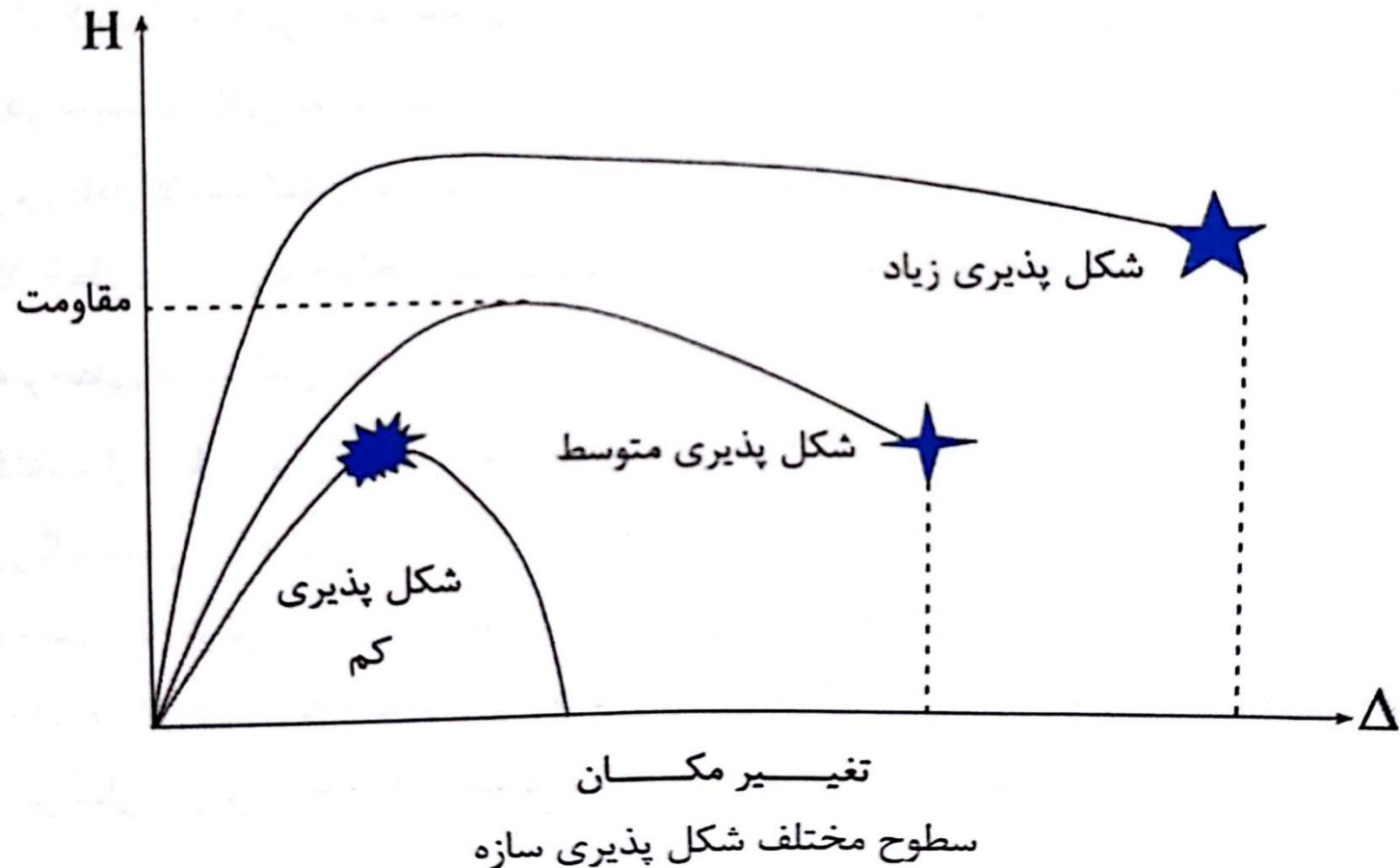


الف) شکل پذیری

## ۲- مفاهیم شکل پذیری و ضریب رفتار:



## ۲- مفاهیم شکل پذیری و ضریب رفتار:



### ۳- ضریب اضافه مقاومت:

$$\Omega_s = \frac{V_y}{V_s}$$

- اضافه مقاومت به علت باز توزیع نیروهای داخلی در محدوده غیرالاستیک (نامعینی سازه)؛
- تفاوت بین مقاومت طراحی و مقاومت واقعی مصالح، شامل سختی کرنشی؛
- اضافه ابعاد مقطع اعضا نسبت به مقطع موردنیاز؛
- مشارکت ناسازه‌ها در باربری سازه؛
- لحاظ اجزای سازه‌ای که اثر آن‌ها در مقاومت جانبی در نظر گرفته نشده است؛
- اضافه مقاومت موجود به علت اعمال محدودیت‌های آیین‌نامه‌ای تغییر مکان نسبی طبقات.

### ۳- ضریب اضافه مقاومت:

جدول ۲-۳-۱۰ ضریب اضافه مقاومت  $\Omega_0$  برای انواع سیستم‌های باربر جانبی لرزه‌ای

$\Omega_0$	نوع سیستم باربر جانبی لرزه‌ای
۳	کلیه قاب‌های خمشی فولادی
۲	کلیه قاب‌های ساختمانی ساده توأم با مهاربندی هم محور و برون محور فولادی
۲/۵	کلیه سیستم‌های دوگانه یا ترکیبی

## ۱۳-۱ ترکیب بارگذاری زلزله تشدید یافته

ضروری است مؤلفه افقی نیروی زلزله،  $Q_E$ ، در برخی از مواردی که در آییننامه‌های طراحی سازه‌ها آمده است، تشدید شود. در این گونه موارد باید نیروی حاصل از تحلیل‌های خطی برای زلزله طرح، در ضریبی به نام ضریب اضافه مقاومت،  $\Omega$ ، ضرب شود. در این صورت:

$$E = \Omega Q_E \pm 0/2S_{DS}D \quad (۲۳-۱)$$

از جایگزینی رابطه ۲۳-۱ در ترکیب بارهای مبنای نیروی زلزله، ترکیب بارهای تشدید یافته زیر حادث می‌شوند:

$$(1/2 + 0/6AI)D + \Omega Q_E + 0/5L + 0/2S$$

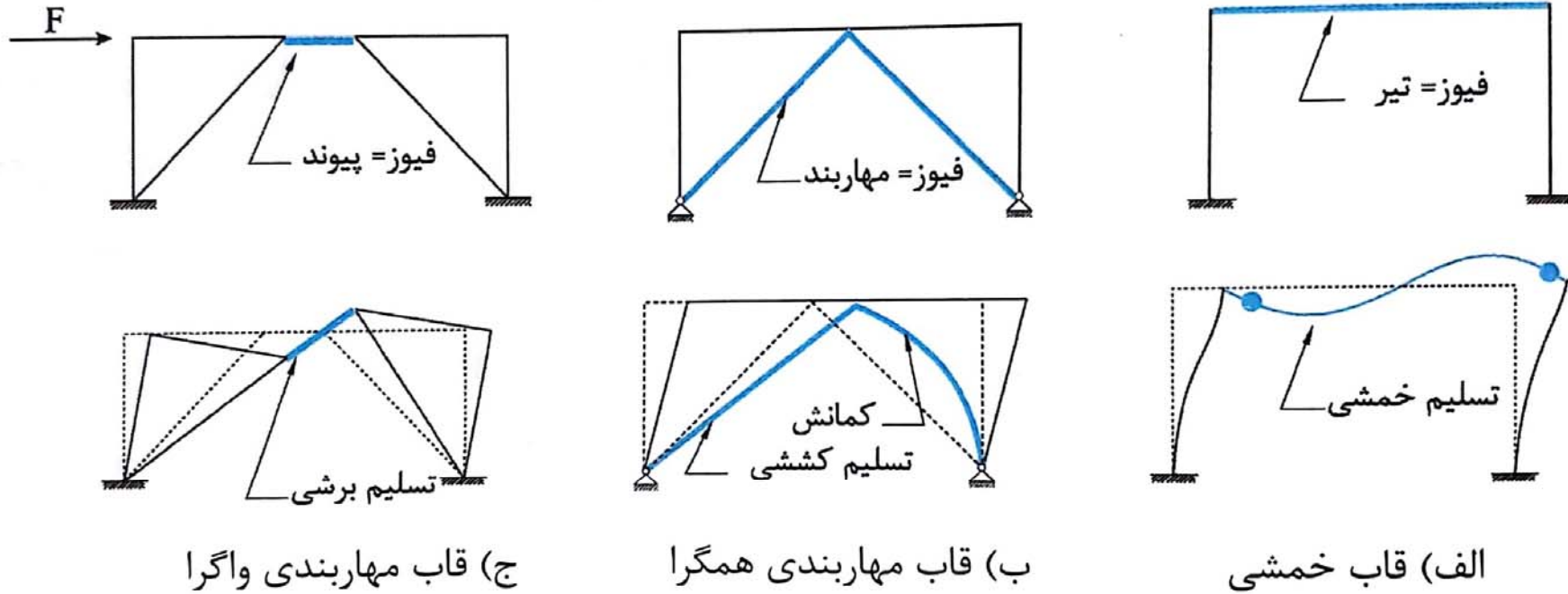
$$(0/9 - 0/6AI)D + \Omega Q_E$$

همان طور که ملاحظه می‌شود زلزله تشدید یافته از جایگزینی نیروی زلزله  $\Omega E$  بهجای  $E$  در ترکیبات عادی بارگذاری به دست می‌آید. کاربرد زلزله تشدید یافته برای طراحی اعضا‌ایی است که در آنها شکل‌پذیری قابل توجه‌ای مدنظر نبوده و باید زلزله را در حالت ارتجاعی تحمل کنند. به عنوان مثال در ستون‌ها با افزایش نیروی محوری شکل‌پذیری و قدرت استهلاک آنها از بین محدود، از این رو اعمال تمام ضریب رفتار ( $R$ ) بر نیروهای حاصل زلزله، برای ستون‌ها مناسب نمی‌باشد.

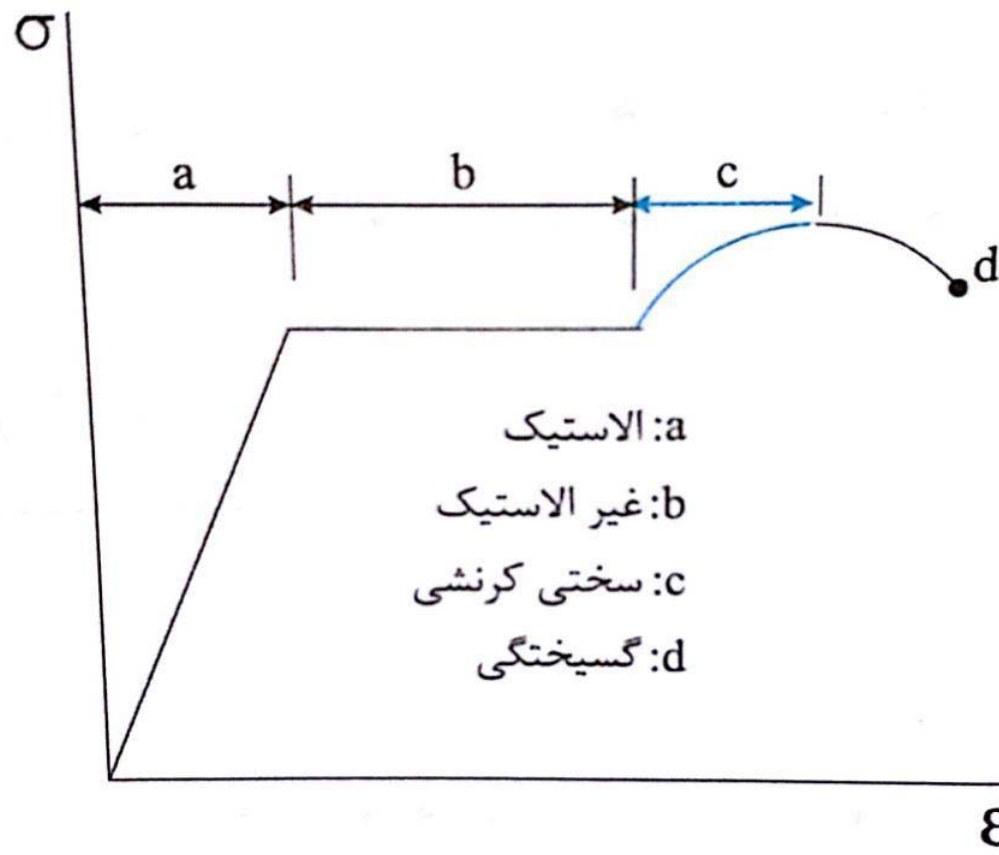
## ۳- ضریب رفتار در دو روش حالت حدی و نئش مجاز

### ۴- ضریب پذیرگنایی تغییر مکان $Cd$

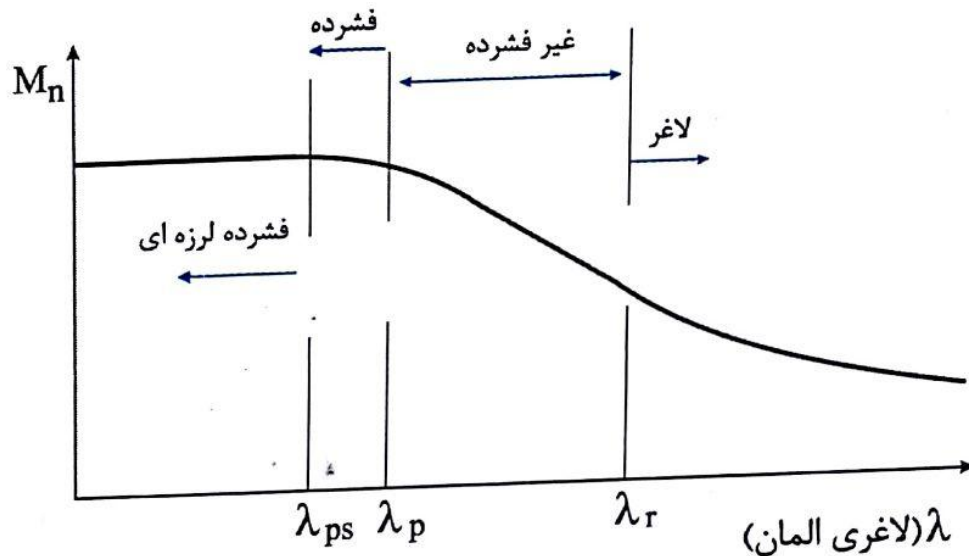
$H_m$ (متر)	$C_d$	$\Omega_0$	$R_u$	سیستم مقاوم در برابر نیروهای جانبی	سیستم سازه
۵۰	۵	۲/۵	۵	۱- دیوارهای برشی بتن آرمه ویژه	الف- سیستم دیوارهای باربر
۵۰	۴	۲/۵	۴	۲- دیوارهای برشی بتن آرمه متوسط	
-	۳/۵	۲/۵	۳/۵	۳- دیوارهای برشی بتن آرمه معمولی [۱]	
۱۵	۳	۲/۵	۳	۴- دیوارهای برشی با مصالح بنایی مسلح	
۱۵	۳/۵	۲	۴	۵- دیوارهای مشکل از قابهای سبک فولادی سرد نورد و مهارهای تسمه‌ای فولادی	
۱۵	۴	۳	۵/۵	۶- دیوارهای مشکل از قابهای سبک فولادی سرد نورد و صفحات پوشش فولادی	
۱۰	۳	۲	۳	۷- دیوارهای بتن پاششی سه بعدی	
۵۰	۵	۲/۵	۶	۱- دیوارهای برشی بتن آرمه ویژه [۲]	ب- سیستم قاب ساختمانی
۳۵	۴	۲/۵	۵	۲- دیوارهای برشی بتن آرمه متوسط	
-	۳	۲/۵	۴	۳- دیوارهای برشی بتن آرمه معمولی [۱]	
۱۵	۲/۵	۲/۵	۳	۴- دیوارهای برشی با مصالح بنایی مسلح	
۵۰	۴	۲	۷	۵- مهاربندی واگرای ویژه فولادی [۲] و [۳]	
۵۰	۵	۲/۵	۷	۶- مهاربندی کمانش تاب	
۱۵	۳/۵	۲	۳/۵	۷- مهاربندی همگرای معمولی فولادی	
۵۰	۵	۲	۵/۵	۸- مهاربندی همگرای ویژه فولادی [۲]	



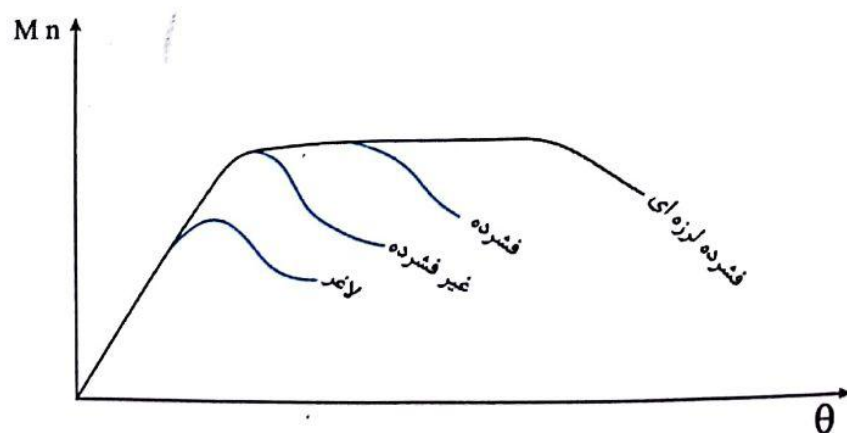
شکل ۸-۱ عضو فیوز و مکانیزم تسلیم هدف سیستم‌های باربر جانبی



شكل ۱۲-۱ سخت شدگی مجدد فولاد پس از پله تسلیم



شکل ۱۶-۱ اثر لاغری بر ظرفیت خمشی عضو



شکل ۱۷-۱ رابطه - لنگر دوران برای نسبت‌های مختلف عرض به ضخامت

# روش طراحی ASD و LRFD

## تحلیل سازه

در این فصل، روش‌های تحلیل زیر مجاز می‌باشد:

- الف) تحلیل خطی
- ب) تحلیل خطی با بازتوزیع محدود
- پ) تحلیل غیرخطی
- ت) تحلیل حدی (تحلیل پلاستیک)

ترکیب بار برای کنترل تغییر شکل در هر دو روش یکسان است

- $1.0D + 1.0L$
- $1.0D + 1.0L + 1.0W$
- $1.0D + 1.0L + 1.0E$

D=dead load

بار مرده

L=live load

بار زنده

W=wind load

بار جانبی باد

E=earthquake load

بار جانبی زلزله

# ضریب لاگری Slenderness Ratio

- Compression

$$KL/r \leq 200$$

در اعضای فشاری

- Tension

$$L/r \leq 300$$

در اعضای کششی

# اعضای کششی Tension Members

- $L/r$  کنترل لاغری
- $f_t$  : Gross Area کنترل برای سطح مقطع کل
- $f_t$  : Net Area کنترل برای سطح مقطع خالص

محدودیت‌های لاغری ۱ - ۲ - ۳ - ۱۰  
مقاطع محاسباتی در اعضای کششی ۲ - ۳ - ۲ - ۱۰  
مقاومت کششی طرح ۳ - ۲ - ۳ - ۲ - ۱۰

## اعضای کششی

### ASD

$$f_{at} = FX/A_g \leq F_t \quad \text{Gross Area}$$

$$f_t = FX/A_e \leq F_t \quad \text{Net Area}$$

### LRFD

$$P_u = FX \leq \phi_t P_n = \phi_t A_g F_y \quad \phi_t = 0.9 \text{ for Gross Area}$$

$$P_u = FX \leq \phi_t P_n = \phi_t A_e F_u \quad \phi_t = 0.75 \text{ for Net Area}$$

## ASD

Gross Area       $F_t = 0.6F_y$

Net Area       $F_t = 0.5F_u$

## LRFD

Gross Area       $\phi_t P_n = \phi_t F_y A_g$        $\phi_t = 0.9$

Net Area       $\phi_t P_n = \phi_t F_u A_e$        $\phi_t = 0.75$

## مثال طراحی اعضای کششی

$$P_D = 10000 \text{ Kg}$$

$$P_L = 5000 \text{ Kg}$$

$$ASD : P = P_D + P_L = 15000 \text{ Kg}$$

$$F_t = 0.6F_y = 1440 \text{ kg/cm}^2$$

$$A = \frac{P}{0.6F_y} = \frac{15000}{1440} = 10.42 \text{ cm}^2$$

$$Ratio = \frac{10.42}{9.26} = 1.125$$

$$P_D = 10000 \text{ Kg}$$

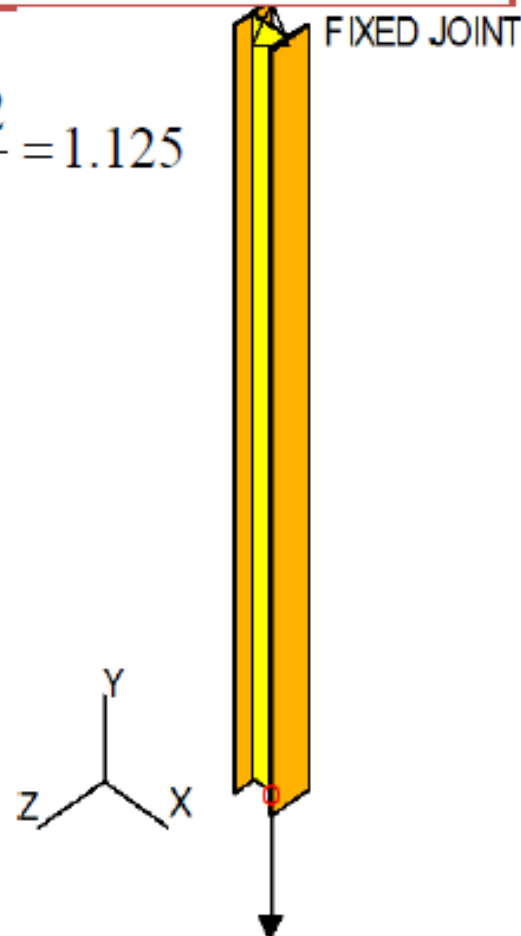
$$P_L = 5000 \text{ Kg}$$

$$LRFD : P_{ut} = 1.25P_D + 1.5P_L = 20000 \text{ Kg}$$

$$\phi_t P_n = \phi_t F_y A_g \quad \phi_t = 0.9$$

$$F_y = 2400 \text{ kg/cm}^2$$

$$A = \frac{P_{ut}}{\phi_t F_y} = \frac{20000}{0.9 \times 2400} = 9.26 \text{ cm}^2$$



# طراحی برای خمش

## Bending Stresses

## تنشیهای خمشی

لنگری که در اثر آن کل مقطع جاری شده و مفصل خمیری تشکیل می‌شود لنگر خمیری  $M_p$ ، Plastic Moment نامیده می‌شود:

$$M_p = Z F_y$$

$Z$  = Plastic Section Modulus = اساس مقطع خمیری

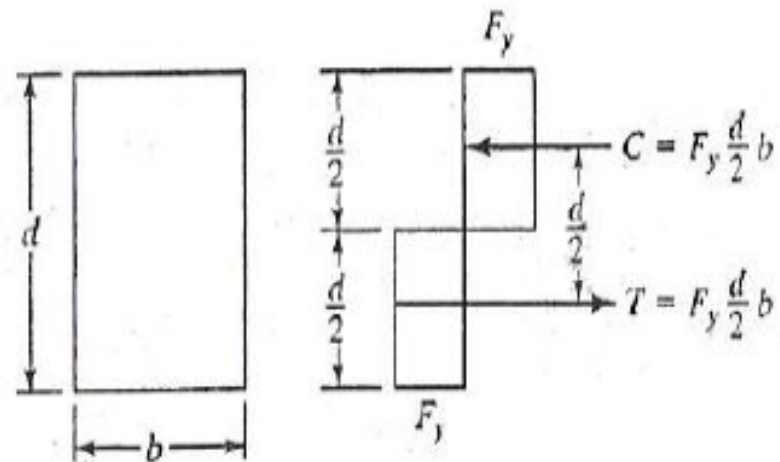
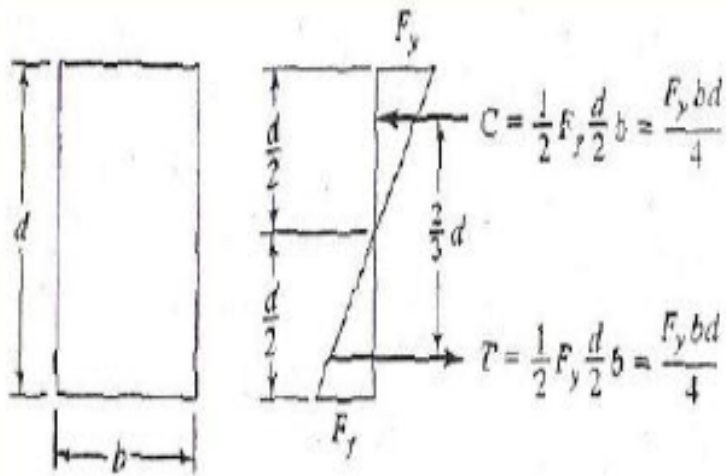
نسبت لنگر خمیری به لنگر تسلیم، ضریب شکل Shape Factor نامیده می‌شود:

$$\frac{M_p}{M_y} = \frac{Z F_y}{S F_y} = \frac{Z}{S}$$

ضریب شکل برای مقطع مستطیلی برابر با 1.5 است.

## The Plastic Modulus

## اساس مقطع خمیری



$$M_p = M_n = T d/2 = C d/2 = (F_y bd/2) (d/2) = F_y bd^2/4$$

اساس مقطع خمیری  $\times$  تنش تسليم

$$Z = bd^2/4$$

اساس مقطع خمیری،  $Z$ ، برابر با جمع لنگر سطح، سطوح تحت کشش و فشار حول تار خنثی است.

تنها در صورتی که مقطع شکل متقارنی داشته باشد محل تار خنثی در محدوده خمیری بر محل تار خنثی در محدوده ارتجاعی منطبق خواهد بود.

در تعیین محل تار خنثی در محدوده خمیری باید به این نکته توجه شود که سطح تحت فشار باید با سطح تحت کشش برابر باشد.

ضریب شکل (shape factor) برای مقطع مستطیلی برابر است با:

$$\frac{M_p}{M_y} = \frac{F_y Z}{F_y S} = \frac{Z}{S} = \frac{bd^2 / 4}{bd^2 / 6} = 1.5$$

ضریب شکل برای دیگر انواع مقاطع را نیز میتوان براساس روش فوق تعیین کرد. برای مقاطع دایره ای شکل مقدار آن ۱.۷ و برای مقاطع I شکل بین ۱.۱ تا ۱.۲ خواهد بود.

## طراحی برای خمش

حدود نسبت پهناى آزاد به ضخامت				پهنا به ضخامت	حالات	نحوه گذاشتن
مقاطع غیر فشرده		مقاطع فشرده				
حالات حدی	تشنجاز	حالات حدی	تشنجاز			
$0.76 \sqrt{\frac{E}{F_y}} = 22.48$	$\frac{795}{\sqrt{F_y}} = 16.22$	$0.38 \sqrt{\frac{E}{F_y}} = 11.24$	$\frac{545}{\sqrt{F_y}} = 11.12$	$\frac{b}{t}$	۱- بالهای تیر نوره شده I در خمش	۱
$5.7 \sqrt{\frac{E}{F_y}} = 168.61$	$\frac{6370}{\sqrt{F_y}} = 130.02$	$3.76 \sqrt{\frac{E}{F_y}} = 111.22$	$\frac{5365}{\sqrt{F_y}} = 109.51$	$\frac{h}{t_w}$	جانقطعات تحت اثر فشار حاصل از خمش	۲

# طراحی برای خمش

## Flexural Members

### ASD

$$f_b = M/S_z \leq F_b \quad \text{ASD}$$
$$F_b = 0.66F_y$$

### LRFD

$$M_u \leq \Phi_b M_n$$

Where  $\Phi_b = 0.9$

## طراحی برای خمش

### Flexural Members

عوامل موثر بر مقاومت خمشی تیرها:

- شکل مقطع
- فشرده بودن یا نبودن مقطع
- چگونگی اتكای جانبی
- محور خمش
- چگونگی انحنای تیر
- مقاومت پیچشی مقطع

طراحی برای خمش - مقاطع غیر فشرده

## Flexural Members Noncompact Section

### ASD

When  $\sqrt{\frac{102 \times 10^3 C_b}{F_y}} \leq \frac{l}{r_T} \leq \sqrt{\frac{510 \times 10^3 C_b}{F_y}}$

$$F_b = \left[ \frac{2}{3} - \frac{F_y (l / r_T)^2}{1530 \times 10^3 C_b} \right] F_y \leq 0.6 F_y$$

## طراحی برای خمش - مقاطع غیر فشرده

### Flexural Members Noncompact Section

#### ASD

When  $\sqrt{\frac{102 \times 10^3 C_b}{F_y}} \leq \frac{l}{r_T} \leq \sqrt{\frac{510 \times 10^3 C_b}{F_y}}$

$$F_b = \left[ \frac{2}{3} - \frac{F_y(l/r_T)^2}{1530 \times 10^3 C_b} \right] F_y \leq 0.6 F_y$$

طراحی برای خمش - مقاطع غیر فشرده

## Flexural Members Noncompact Section

### ASD

When  $\frac{l}{r_T} \geq \sqrt{\frac{510 \times 10^3 C_b}{F_y}}$

$$F_b = \frac{170 \times 10^3 C_b}{(l / r_T)^2} \leq 0.6 F_y$$

# طراحی برای خمش - مقاطع غیر فشرده

## Flexural Members

## Noncompact Section

### ASD

For any value of  $l/r_T$

$$F_b = \frac{12 \times 10^3 C_b}{ld / A_f} \leq 0.6 F_y$$

## طراحی برای خمش - مقاطع غیر فشرده

### Flexural Members Noncompact Section

#### LRFD

$$\phi \times M_n \geq M_r$$

1. Yielding of Flanges
2. LTB, Lateral-Torsional Buckling
3. FLB, Flange Local Buckling

$$M_n = F_y \cdot Z_x \quad \text{b Local Buckling}$$

# طراحی برای خمش - مقاطع غیر فشرده

## Flexural Members Noncompact Section

LRFD

LTB

For

$$L_b < L_p$$

کنترل نیاز نیست.

# طراحی برای خمش - مقاطع غیر فشرده

## Flexural Members Noncompact Section

### LRFD

### LTB

For  $L_p < L_b < L_r$

$$M_n = C_b [M_p - (M_p - 0.7F_y S_x) \left( \frac{L_b - L_p}{L_r - L_p} \right)] \leq M_p$$

Where:

$$L_p = 1.76 r_y \sqrt{\frac{E}{F_y}}$$

$$L_r = 1.95 r_{ts} \frac{E}{0.7F_y} \sqrt{\frac{J.c}{S_x h_0}} \sqrt{1 + \sqrt{1 + 6.76 \left( \frac{0.7F_y}{E} \times \frac{S_x h_0}{J.c} \right)^2}}$$

## طراحی برای خمش - مقاطع غیر فشرده

### Flexural Members Noncompact Section

#### LRFD

For

#### LTB

$$L_p < L_b < L_r$$

Where:

$$r_{ts}^2 = \frac{\sqrt{I_y C_w}}{S_x}$$

$$c = \frac{h_o}{2} \sqrt{\frac{I_y}{C_w}}$$

## طراحی برای خمش - مقاطع غیر فشرده

**LRFD**      **LTB**

For       $L_p < L_b < L_r$

$$M_n = F_{cr} \cdot S_x \leq M_p$$

$$F_{cr} = \frac{C_b \pi^2 E}{\left(\frac{L_b}{r_{ts}}\right)^2} \sqrt{1 + 0.078 \frac{J_c}{S_x h_0} \left(\frac{L_b}{r_{ts}}\right)^2}$$

## طراحی برای خمش - مقاطع غیر فشرده

### ASD

$$C_b = 1.75 + 1.05(M_1/M_2) + 0.3(M_1/M_2)^2 \leq 2.3$$

$$M_1 < M_2$$

If  $M_{\max}$  between  $M_1$  and  $M_2$ ,  $C_b = 1.0$

### LRFD

$$C_b = \frac{12.5M_{\max}}{2.5M_{\max} + 3M_A + 4M_B + 3M_C}$$

$M_A$  = absolute value of moment at quarter point

$M_B$  = absolute value of moment at centerline

$M_C$  = absolute value of moment at three – quarter point

## طراحی برای برش

### Design for Shear

ASD       $\frac{h}{t_w} \leq \frac{3185}{\sqrt{F_y}}$

$$f_v = FY/A_w \leq F_v = 0.4F_y$$

LRFD       $h / t_w \leq 2.45 \sqrt{E / F_{yw}}$

$$V_u = FY \leq \phi_v V_n = \phi_v 0.6 F_{yw} A_w C_v$$

Where  $\phi_v = 0.9$

$$C_{v=I}$$

## طراحی برای برش

### Design for Shear

**ASD**       $\frac{h}{t_w} > \frac{3185}{\sqrt{F_y}}$

$$f_v = FY/A_y \leq F_v = \frac{F_y}{2.89} (C_v) \leq 0.4F_y$$

**LRFD**       $1.1\sqrt{K_v \frac{E}{F_y}} < \frac{h}{t_w} < 1.37\sqrt{K_v \frac{E}{F_y}}$

$$V_u = FY \leq \phi_v V_n = \phi_v 0.6F_{yw} A_w C_v$$

$$C_v = \frac{1.1\sqrt{K_v \frac{E}{F_y}}}{(\frac{h}{t_w})}$$

# طراحی برای برش

## Design for Shear

**LRFD**       $3.07\sqrt{E / F_{yw}} < h / t_w \leq 260$

$$V_u = FY \leq \phi_v V_n = \phi_v A_w \left[ \frac{4.52E}{(h / t_w)^2} \right]$$

Where  $\phi_v = 0.9$

## ۱۰ - ۲ - ۱۱ - ۴ افتادگی، ارتعاش و انتقال جانبی

### الف) افتادگی

تیرها و شاهتیرهایی که کف‌ها و سقف‌های ساختمانی را تحمل می‌کنند باید با توجهی خاص به تغییرمکان آنها در اثر بارهای محاسباتی، طرح و محاسبه شوند.

تیرها و شاهتیرهایی که سقف‌های نازک‌کاری شده را تحمل می‌کنند، باید طوری

محاسبه شوند که تغییرمکان حداقل نظری بار مرده و زنده از  $\frac{1}{240}$  طول دهانه و تغییرمکان

حداقل نظری بار زنده از  $\frac{1}{36}$  طول دهانه بیشتر نشود.

### ب) ارتعاش

تیرها و شاهتیرهایی که سطوح بزرگ خالی از تیغه‌بندی (یا خالی از عناصر دیگری که خاصیت میراکنندگی ارتعاش را دارند) را تحمل می‌کنند، باید با توجهی خاص به لرزش و ارتعاش حاصل از بارهای جنبشی (راه رفتن اشخاص، حرکت و توقف آسانسورها و نظایر آنها)

محاسبه شوند. در تیرهای مربوط به این کف‌ها، نسبت ارتفاع به دهانه  $\frac{d}{L}$  باید از  $\frac{1}{20}$  کمتر گردد.  $d$  ارتفاع کلی مقطع تیر (شامل ارتفاع بتن در تیرهای مختلط) و  $L$  طول مرکز به مرکز تکیه‌گاهی تیر است. همچنین لازم است فرکانس نوسانی تیرها محاسبه گردد که این فرکانس باید از حد احساس بشری کمتر باشد.\*

#### پ) انتقال و نوسان جانبی در سازه‌های فولادی

سازه فولادی باید سختی و صلبیت کافی داشته باشد و تغییرمکان جانبی آن در مقابل اثر باد پا زلزله محدودیت‌های آییننامه‌های مربوطه را برآورده سازد.

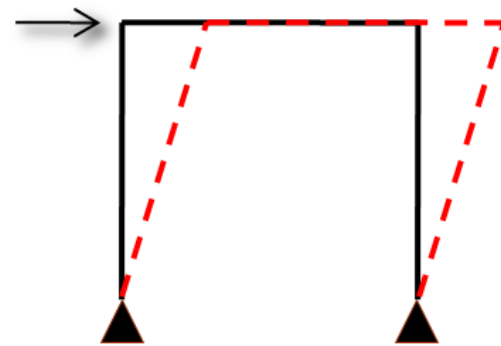
# Conventional Building Code Philosophy for Earthquake-Resistant Design

---

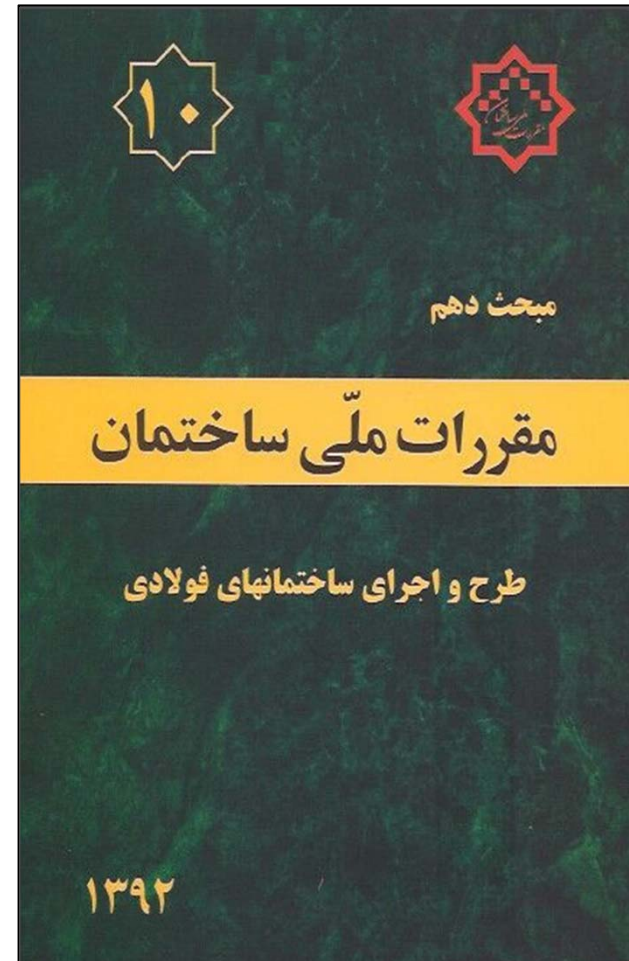
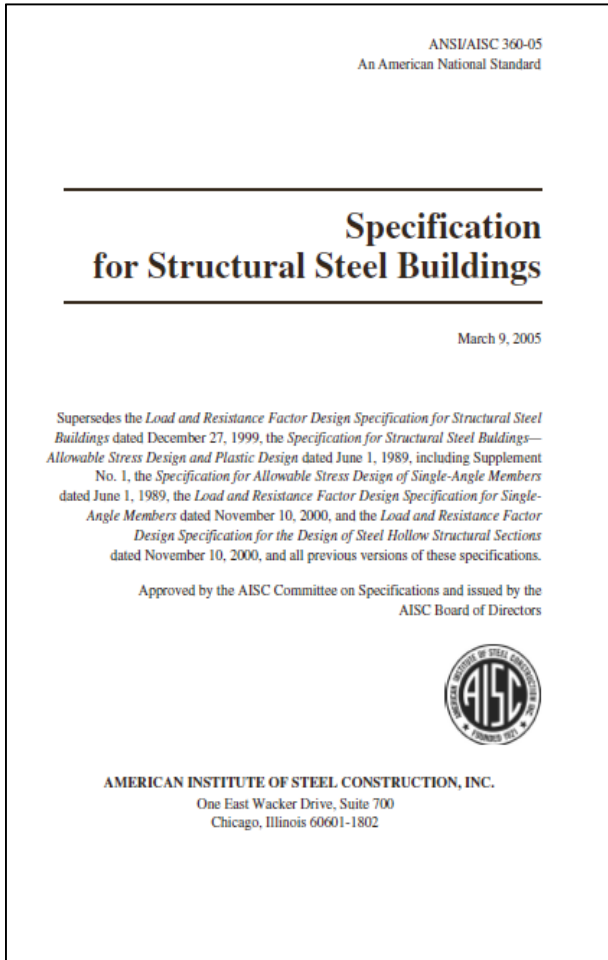
**Objective:** Prevent collapse in the extreme earthquake likely to occur at a building site.

**Objectives are not to:**

- limit damage
- maintain function
- provide for easy repair



آیین نامه های طراحی لرزه ای سازه های فولادی:



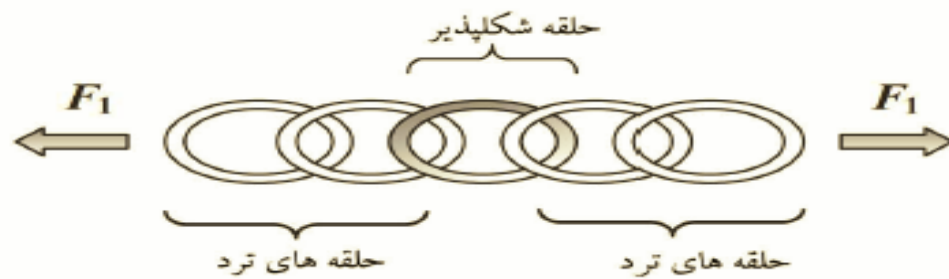


## **Developing Ductile Behavior:**

- Choose frame elements ("fuses") that will yield in an earthquake; e.g. beams in moment resisting frames, braces in concentrically braced frames, links in eccentrically braced frames, etc.
- Detail "fuses" to sustain large inelastic deformations prior to the onset of fracture or instability (i.e. , detail fuses for ductility).
- Design all other frame elements to be stronger than the fuses, i.e., design all other frame elements to develop the plastic capacity of the fuses.

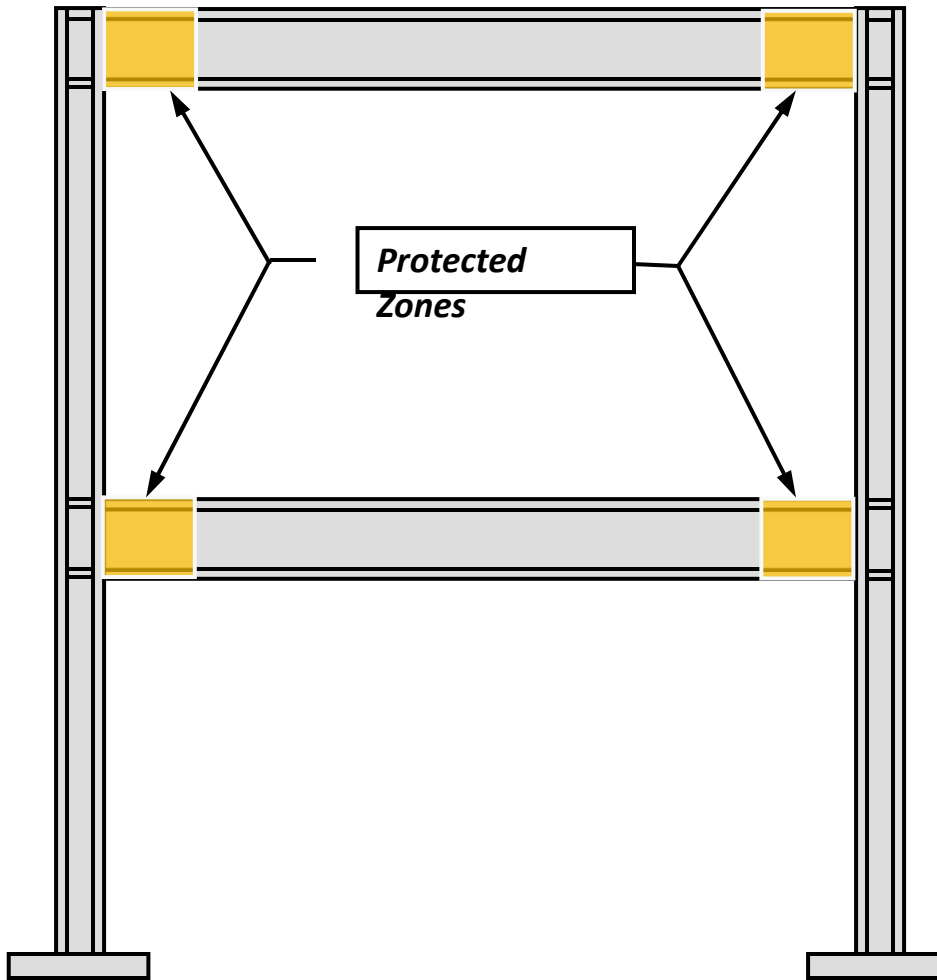
## ایده زنجیر پاولی:

حلقه های نرم (کنترل شونده توسط تغییر مکان)  
حلقه های ترد (کنترل شونده توسط نیرو)



اساس روش طراحی بر اساس عملکرد این است که در زلزله مورد نظر:  
نیرو در اعضای ترد به حد مقاومت عضو نرسد  
جابجایی در اعضای نرم به حد ظرفیت جابجایی عضو نرسد

## Examples of Protected Zones: SMF



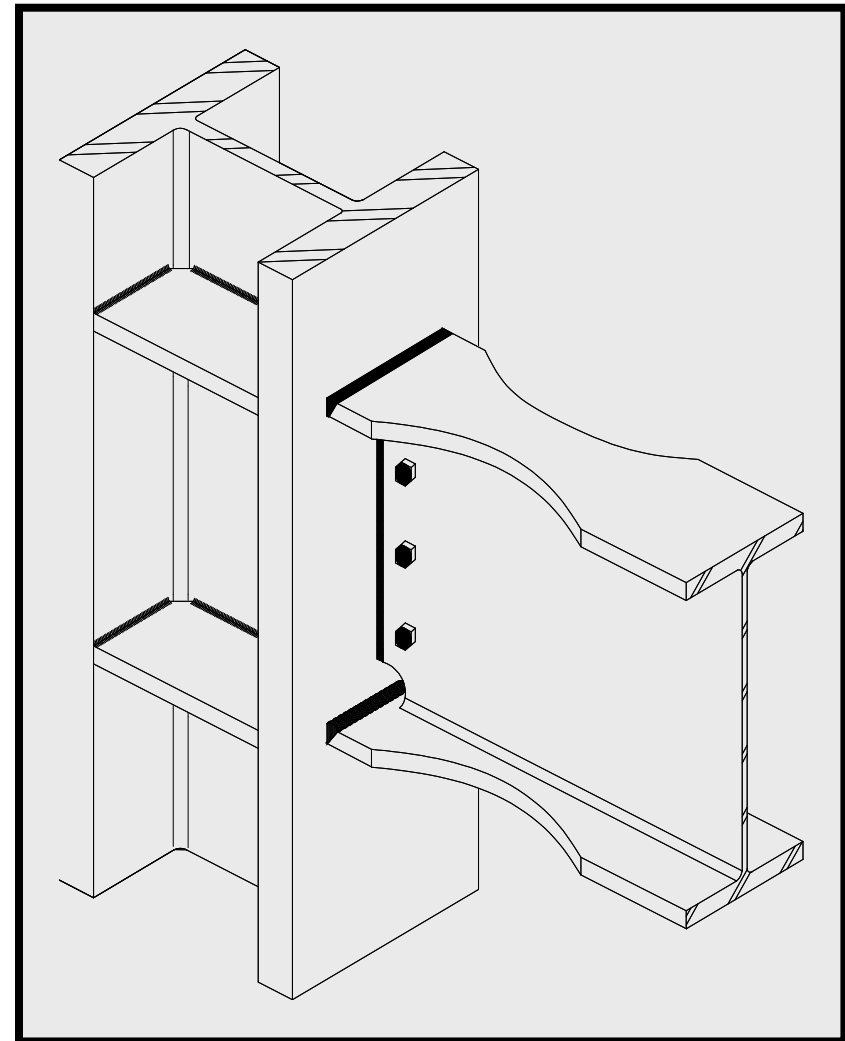
Local buckling of a moment frame beam.....



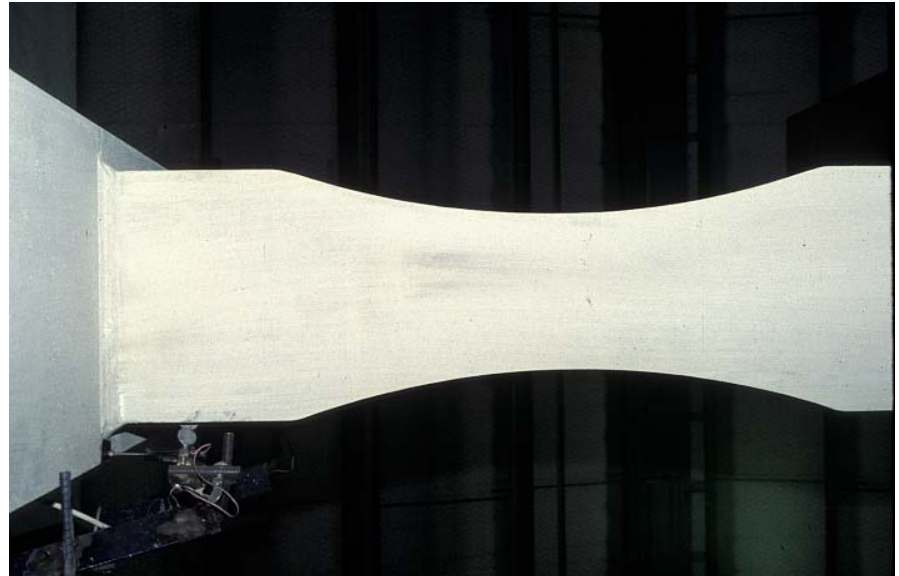
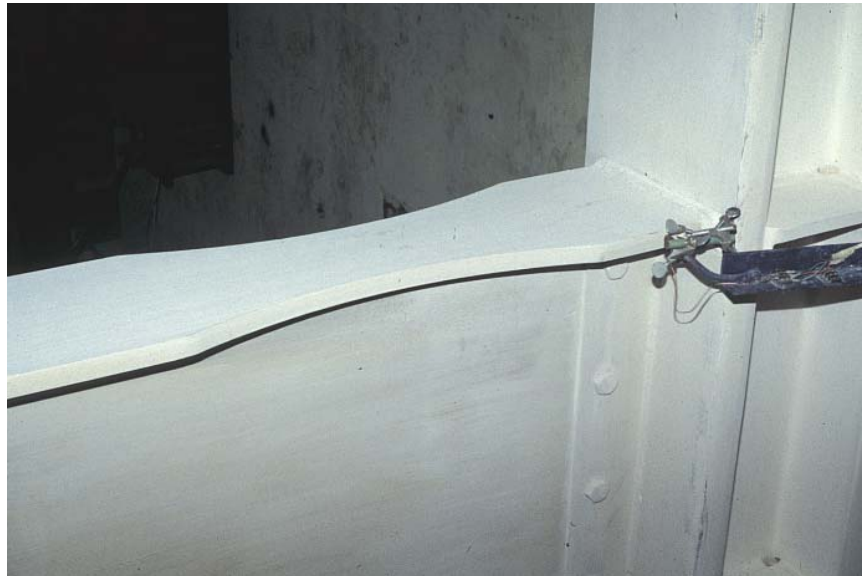
# Reduced Beam Section (RBS) Moment Connection

## RBS Concept:

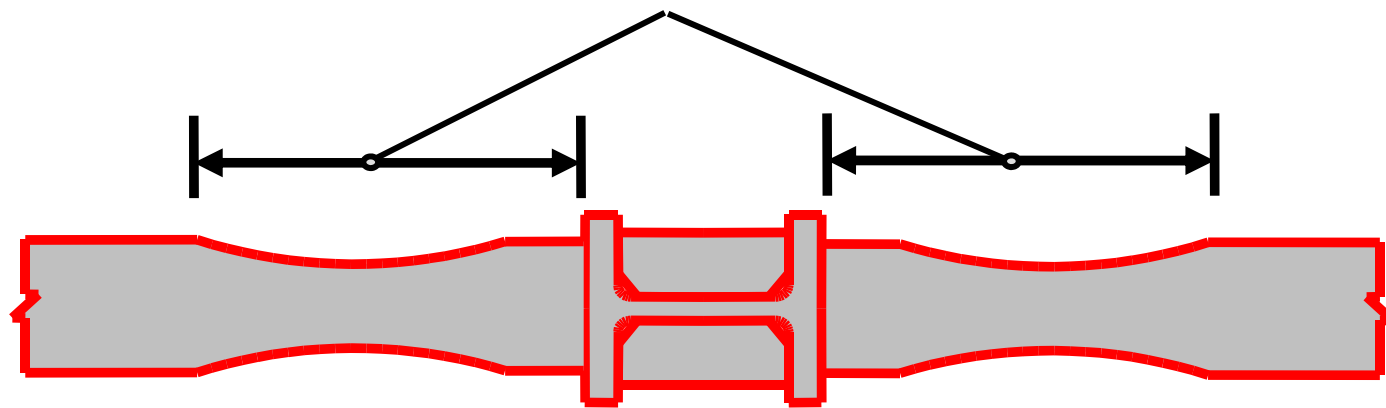
- Trim Beam Flanges Near Connection
- Reduce Moment at Connection
- Force Plastic Hinge Away from Connection







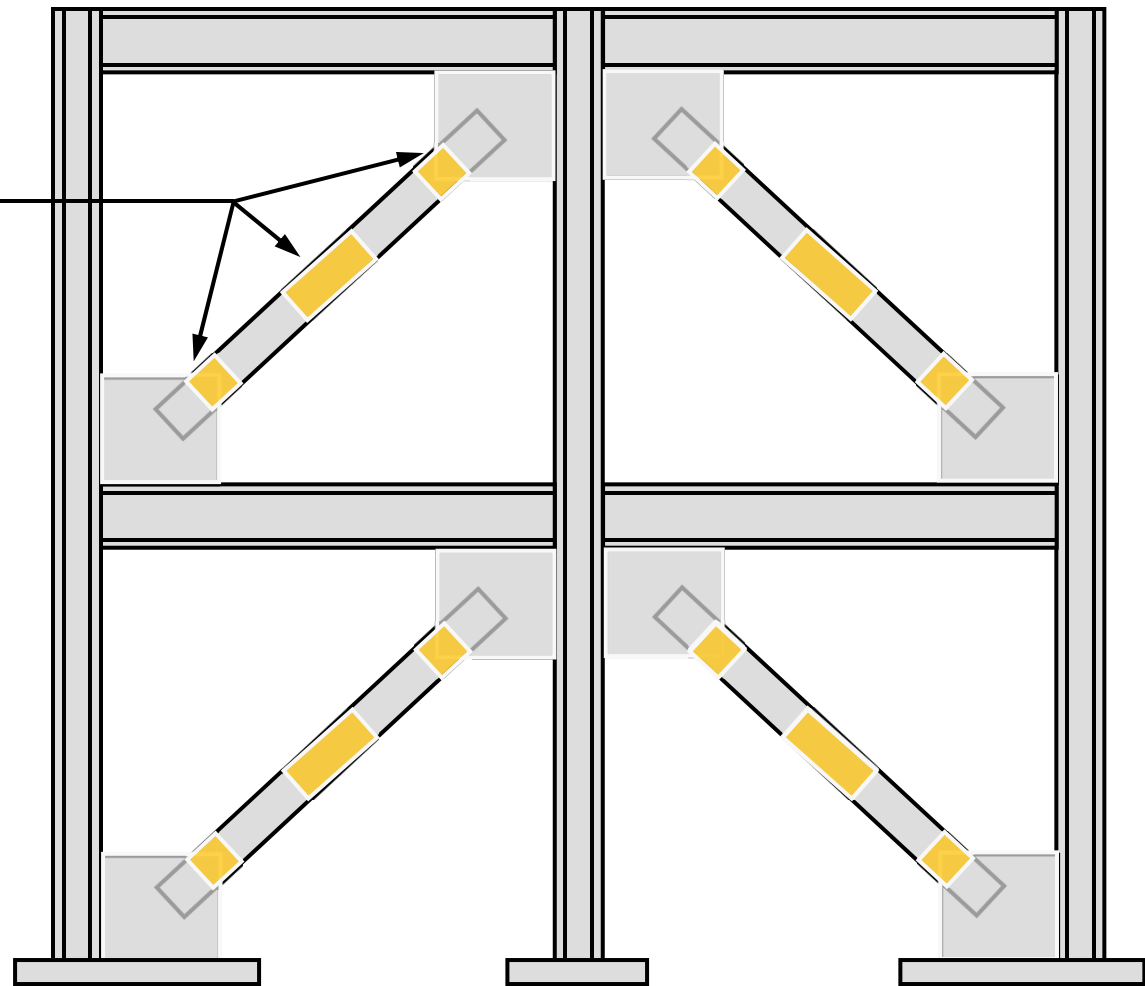
Protected Zone





## Examples of Protected Zones: SCBF

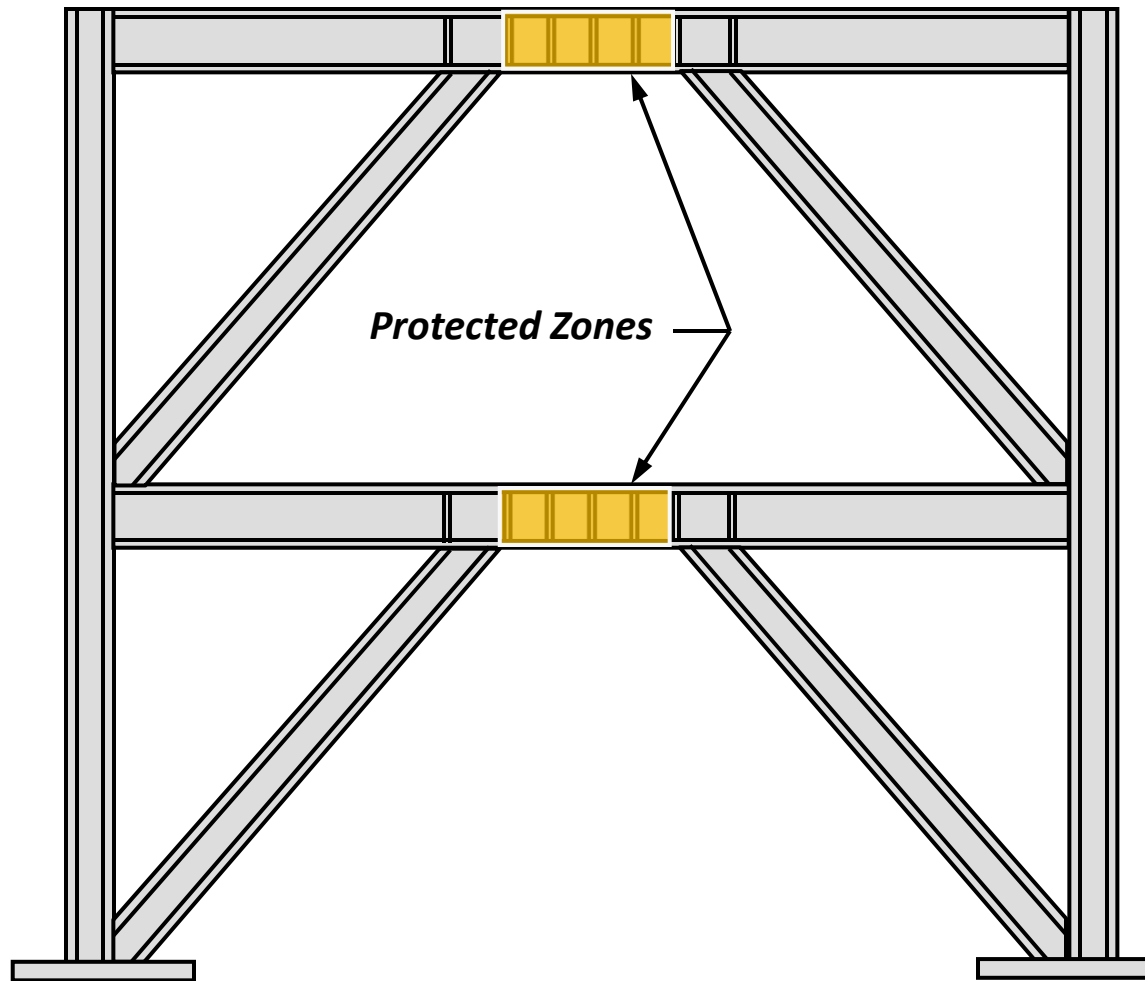
**Protected Zones**



Local buckling of a brace member....



Examples of Protected Zones: EBF



Local buckling of an EBF link.....



## الزمات طراحی لرزه ای

### ۲-۲-۳ ناحیه حفاظت شده اعضا

ناحیه حفاظت شده در یک عضو از سازه، که به ناحیه شکل پذیر عضو نیز موسوم است، به ناحیه ای از عضو اطلاق می شود که انتظار می رود در آن مفصل پلاستیک تشکیل شود. نظر به اهمیت این ناحیه و رفتار حساس آن در حرکات رفت و برگشتی سازه، این ناحیه باید عاری از هر گونه عملیاتی که موجب دگرگونی عملکرد عضو در این ناحیه می شود، باشد. ناحیه حفاظت شده در دو انتهای تیر، فاصله بین برستون تا نصف عمق تیر از محل تشکیل مفصل پلاستیک به سمت داخل دهانه در نظر گرفته می شود. همچنین ناحیه حفاظت شده برای مهاربندی های ویژه در تمام طول عضو و برای تیرهای پیوند قاب های مهاربندی شده و اگرا تمام طول آن می باشد.

۱. به کار بردن وصلة مستقیم یا غیرمستقیم جوشی یا پیچی نیمرخها یا ورق‌های تشکیل‌دهنده عضو در ناحیه حفاظت‌شده ممنوع است.
۲. هر گونه ناپیوستگی ناشی از عملیات ساخت و نصب مانند جوش‌های موضعی، وسایل کمکی برای نصب، ناصافی‌های ناشی از برش‌های حرارتی در ناحیه حفاظت‌شده ممنوع بوده و در صورت وجود باید به نحو مناسبی بر طرف شده و تعمیر گردد.

### ۳-۳-۱۰ الزامات لرزه‌ای مشخصات مصالح

#### ۱-۳-۳-۱۰ فولاد مصرفی

هر چند در فصل اول این مبحث به الزامات متعارف فولاد مصرفی به عنوان یک ماده ساختمانی پرداخته شده است، لیکن جهت تأمین شکل‌پذیری مناسب لازم است توجه ویژه‌ای به نحوه عملکرد فولاد در طراحی لرزه‌ای ساختمان‌ها شود. برای حصول این امر لازم است از ناپایداری موضعی و کلی از قبیل کمانش جانبی- پیچشی در محدوده رفتار پلاستیک جلوگیری به عمل آید. این فولادها باید در عین حال دارای مقاومت کششی نهایی حداقل  $1/2$  برابر مقاومت حد تسلیم باشند. یعنی:

$$F_u \geq 1/2 F_y \quad (1-3-3-10)$$

جدول ۱۰-۳-۱ محدودیت نسبت پهنا به فضای اعضا در اجزای قشاری اعضا با شکل بذیری متوسط و زیاد

مثال های نمونه	حداکثر نسبت پهنا به فضای اعضا		نسبت پهنا به فضای اعضا	شرح اجرا	$\frac{b}{t}$
	$\lambda_{\text{yz}}$ اعضا با شکل بذیری زیاد	$\lambda_{\text{mt}}$ اعضا با شکل بذیری متوسط			
					
					
	$0.75 \sqrt{\frac{E}{F_y}}$	$0.75 \sqrt{\frac{E}{F_y}}$	$b/t$	بال های مقاطع [شکل نورده و ساخته شده از ورق، نساوچان ها، سیری ها، سلق بُشی های تک و تبشی های دوبل با فاصله و ساق برجسته بُشی های دوبل به هم چسبیده]	۱
					
					
	$0.75 \sqrt{\frac{E}{F_y}}$	کاربرد ندارد	$b/t$	بال های مقاطع شعاع های H شکل	۲
	$0.75 \sqrt{\frac{E}{F_y}}$	D)	$0.75 \sqrt{\frac{E}{F_y}}$	تغه (جان) مقاطع سیری	۳

## ( Concentric Braced Frame) سیستم مهاربندی هم محور

۱- نیروهای زلزله توسط عملکرد خرپایی که ستون‌ها و مهاربندها تشکیل داده اند تحمل می‌شوند

- شکل پذیری مورد نیاز توسط عوامل زیر تامین می‌گردد.
- تسلیم کششی مهاربند در کشش
- کمانش مهاربند در فشار

## ( Concentric Braced Frame) سیستم مهاربندی هم محور

مزایا :

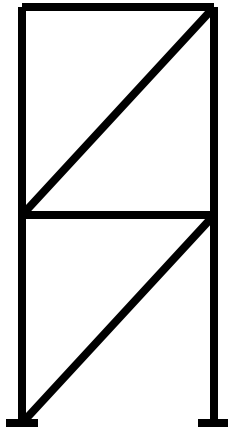
- ۱- سختی مناسب دربرابر بارهای جانبی و کنترل تغییر مکان جانبی سازه
- ۲- ساده بودن اتصالات و سرعت اجرا

معایب :

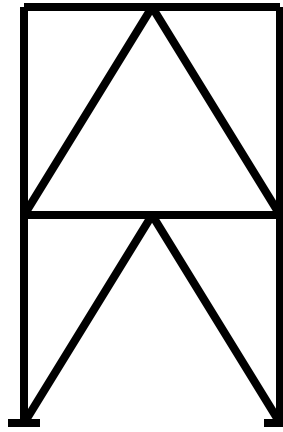
- ۳- محدودیت از لحاظ معماری و ایجاد بازشو در نما
- ۴- شکل پذیری کم نسبت به سایر سیستم ها مانند سیستم قاب خمی و سیستم مهاربند برون محور

## Types of CBFs

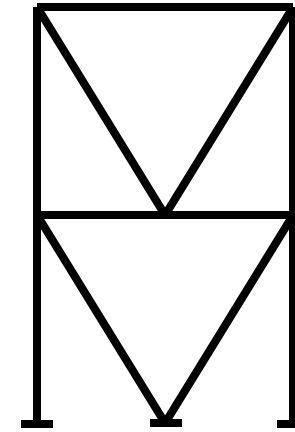
سیستم مهاربندی هم محور



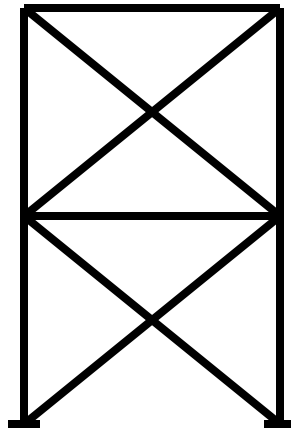
مهاربند قطری



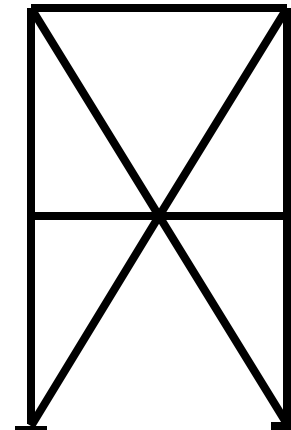
مهاربند V معکوس



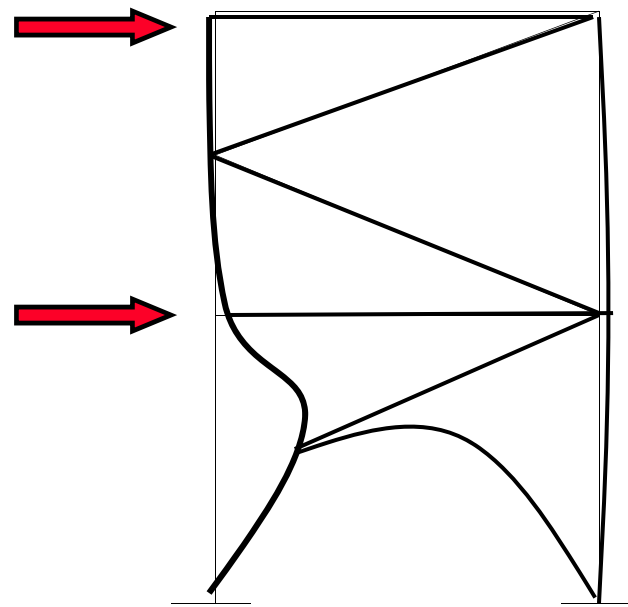
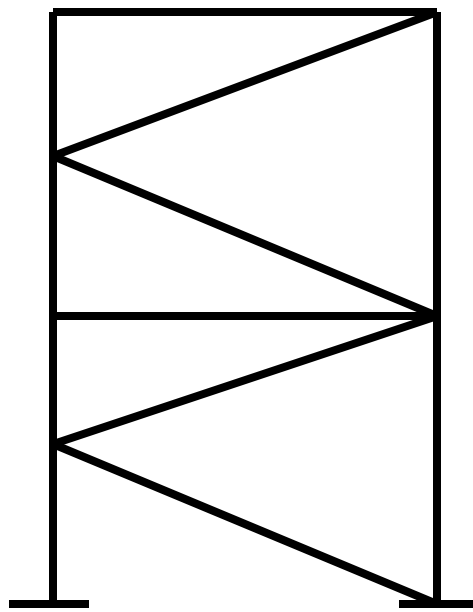
مهاربند V



مهاربند X



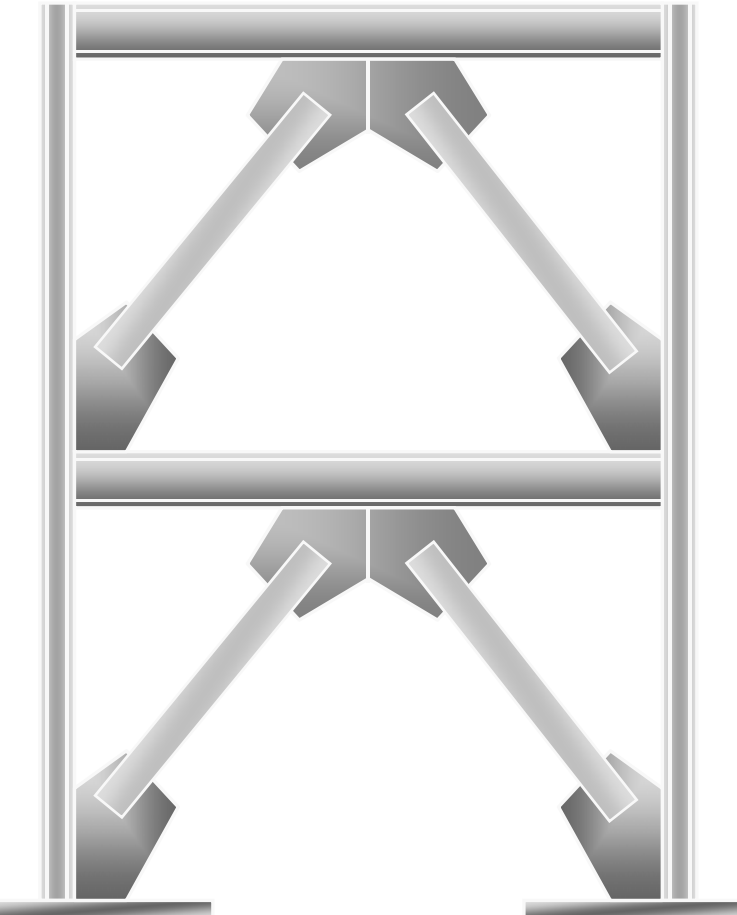
مهاربند X دو طبقه



K-Type Braces are not Permitted

# Developing Ductile Behavior in CBFs

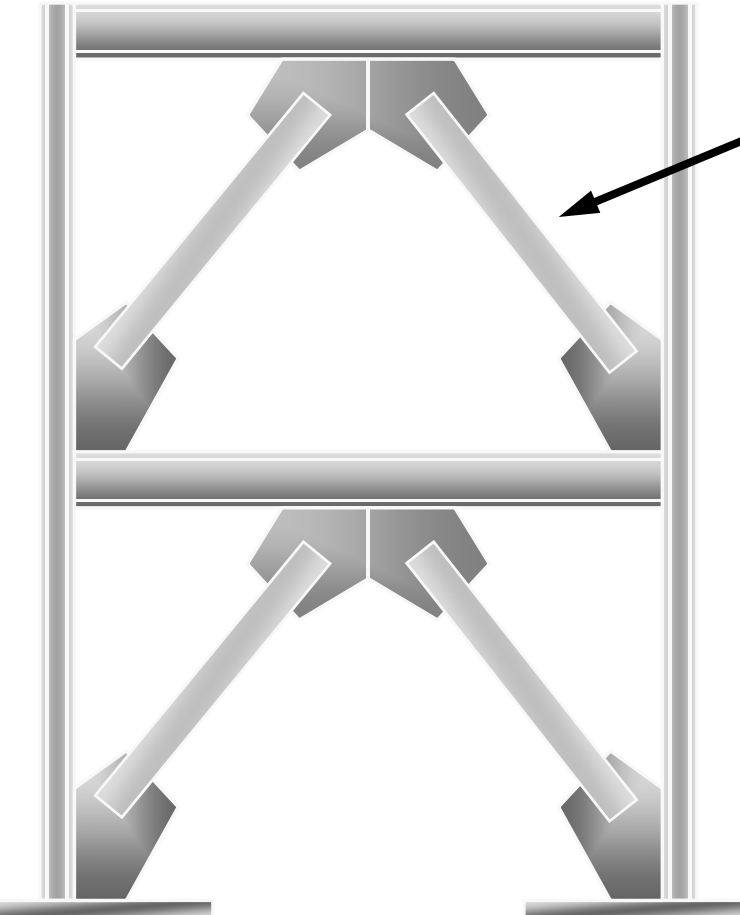
## General Approach



- Design braces based on code specified earthquake forces.
- Design all other frame elements for maximum forces that can be developed by braces.

# Developing Ductile Behavior in CBFs

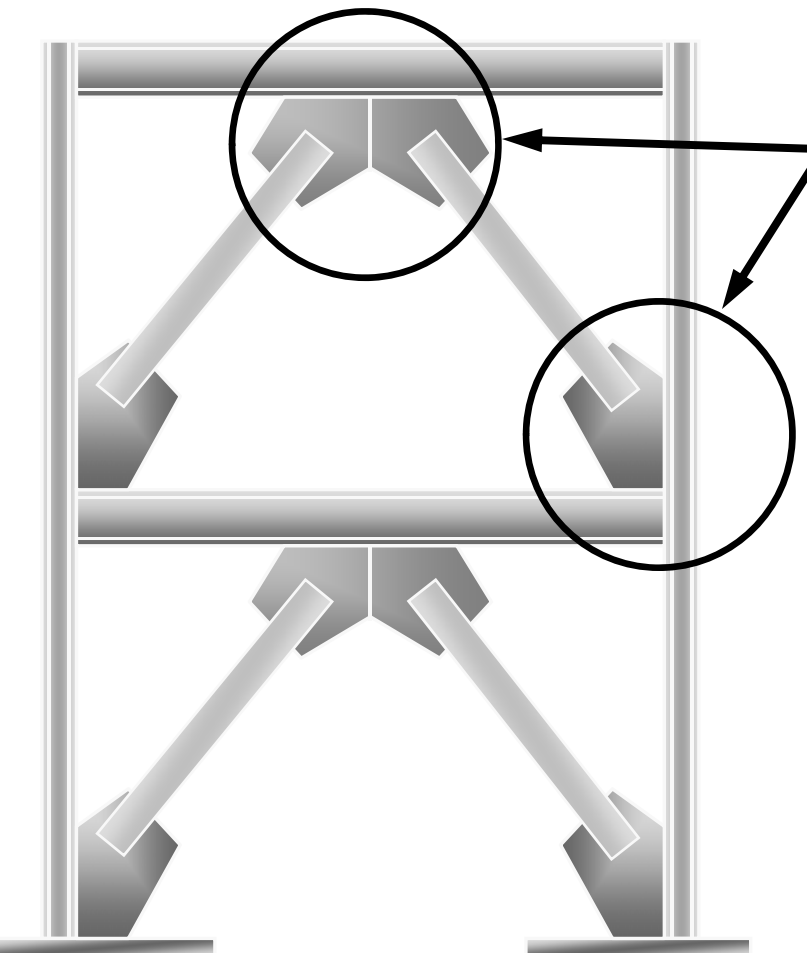
## General Approach



- Design frame so that inelastic behavior is restricted to braces.
  - Braces are "fuse" elements of frame.
  - Braces are weakest element of frame. All other frame elements (columns, beams, connections) are stronger than braces.
- Choose brace members with good energy dissipation capacity and fracture life (limit  $kL/r$  and  $b/t$ ).

# Developing Ductile Behavior in CBFs

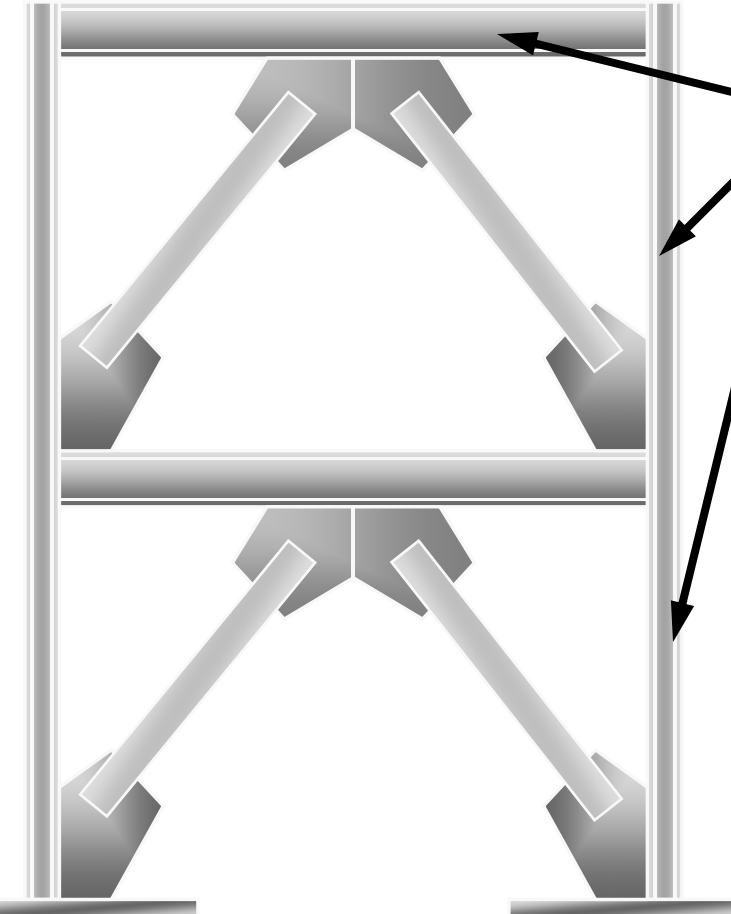
## General Approach



- Design brace connections for maximum forces and deformations imposed by brace during cyclic yielding/buckling

# Developing Ductile Behavior in CBFs

## General Approach



- Design beams and columns (and column splices and column bases) for maximum forces imposed by braces

# کنسل صوابط لرزه‌ای بحث دهم مقررات ملی برای طراحی مهاربندی‌های هم محور

## ۱-۱۱-۳ الزامات عمومی

الف) پیکربندی مهاربندی‌های مجاز در این نوع قاب‌ها شامل مهاربندی‌های قطری، ضربدری و مهاربندی‌های به شکل ۷ و ۸ می‌باشند. استفاده از مهاربندی‌های به شکل K در این نوع قاب‌ها مجاز نیست.

ب) مقاطع اعضای مهاربندی‌ها و ستون‌های نظیر دهانه‌های مهاربندی‌شده باید از نوع فشرده لرزه‌ای با محدودیت حداکثر نسبت پهنا به ضخامت برابر  $\lambda_{hd}$  مطابق مقادیر جدول ۴-۳-۱۰ و مقاطع تیرهای دهانه‌های مهاربندی‌شده باید از نوع فشرده لرزه‌ای با محدودیت حداکثر نسبت پهنا به ضخامت برابر  $\lambda_{md}$  مطابق مقادیر جدول ۴-۳-۱۰ و مقاطع بقیه ستون‌ها باید فشرده باشند.

## کنسل صوابط لرزه‌ای بحث دهم مقررات ملی برای طراحی مهاربندی‌های هم محور

پ) در قاب‌های مهاربندی شده همگرا، نیروی جانبی باید بین کلیه مهاربندی‌های کششی و فشاری توزیع شود و مهاربندی‌ها باید برای حداکثر نیروی ایجاد شده در آنها تحت اثر ترکیبات بار متعارف طراحی شوند. در قاب‌های مهاربندی شده همگرای ویژه طراحی مهاربندی‌ها به صورت کششی تنها مجاز نمی‌باشد.

خ) تیرهای دهانه‌های مهاربندی شده با مهاربندی‌های به شکل ۷ و ۸ باید قادر به تحمل نیروهای قائم حاصل از ترکیب بارهای ثقلی بدون حضور مهاربندی‌ها باشند.

د) تیرهای دهانه‌های مهاربندی شده با مهاربندی‌های به شکل ۷ و ۸ باید در حد فاصل دو ستون پیوسته بوده و دارای مهار جانبی کافی برای جلوگیری از کمانش جانبی- پیچشی باشند. در هر صورت، وجود حداقل یک جفت مهار جانبی در محل اتصال مهاربندی‌ها به تیر الزامی است.

# کنترل صوابط لرزه‌ای مبحث دهم مقررات ملی برای طراحی مهاربندی هم محور

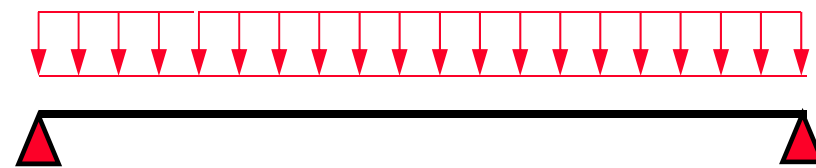
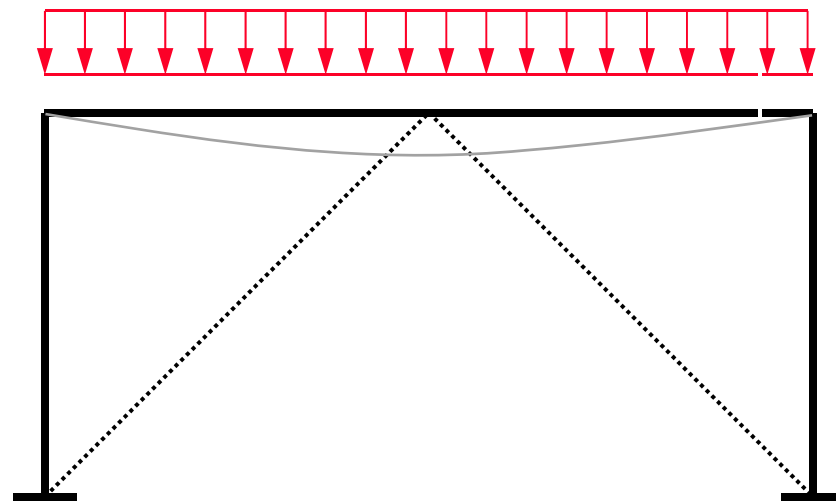
## ۲-۱۰-۳-۱۰ مهاربندی‌های به شکل ۷ و ۸

قاب‌های مهاربندی شده همگرای معمولی با مهاربندی‌های از نوع ۷ و ۸ باید دارای شرایط زیر باشند.

الف) ضریب لاغری ( $KL/r$ ) مهاربندی‌های از نوع ۷ و ۸ نباید از  $\sqrt{E/F_y}$  ۴ تجاوز نماید.

ت) تیرهای دهانه‌های مهاربندی شده با مهاربندی‌های به شکل ۷ و ۸ باید قادر به تحمل نیروهای قائم حاصل از ترکیب بارهای ثقلی بدون حضور مهاربندی‌ها باشند.

ث) تیرهای دهانه‌های مهاربندی شده با مهاربندی‌های به شکل ۷ و ۸ باید در حد فاصل دو ستون پیوسته بوده و دارای مهار جانبی کافی برای جلوگیری از کمانش پیچشی - جانبی باشند. در هر صورت، وجود حداقل یک جفت مهار جانبی در محل اتصال مهاربندی‌ها به تیر الزامی است.



## کنسل صوابط لرزه‌ای مبحث دهم مقررات ملی برای طراحی مهاربندی هم محور

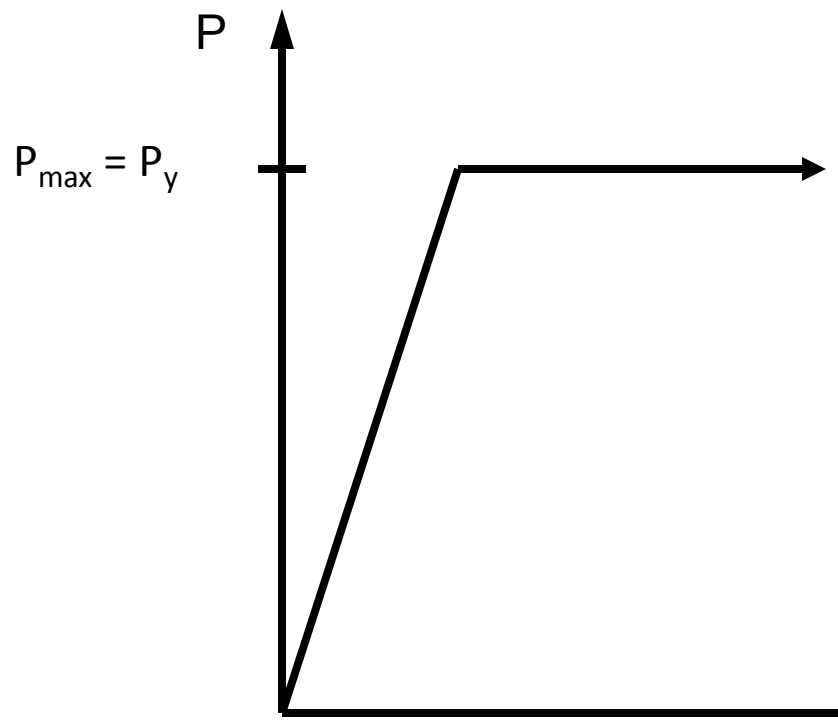
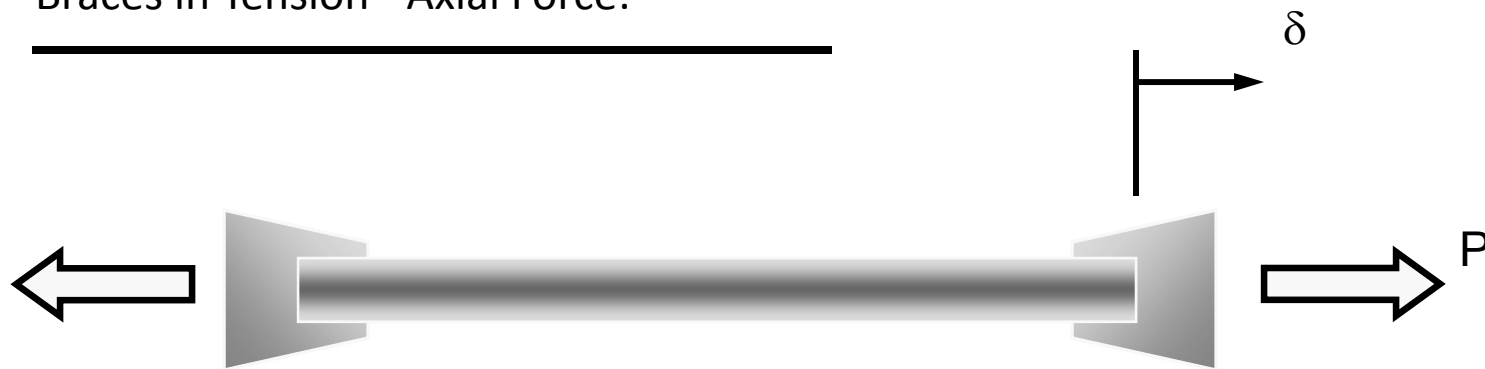
ج) تیرهای دهانه‌های مهاربندی شده با مهاربندی‌های به شکل ۷ و ۸ و اتصالات آنها به ستون باید قادر به تحمل نیروهای نامتعادل ناشی از زلزله در ترکیب با بارهای ثقلی ضربیدار باشند. برای منظور کردن اثر توزیع نامتعادل نیروهای مهاربندی‌های کششی و فشاری ناشی از زلزله، تیرهای دهانه‌های مهاربندی شده باید با در نظر گرفتن تعادل استاتیکی بارهای ثقلی ضربیدار که با نیروی زلزله ترکیب می‌شوند و اثرات لرزه‌ای ناشی از نیروهای زیر در مهاربندی‌ها محاسبه شوند.

- نیروی لرزه‌ای مهاربند کششی کمترین دو مقدار  $R_y F_y A_g$  و نیروی کششی ناشی از ترکیبات بار زلزله تشديدياًفته. که در آن،  $R_y =$  نسبت تنش تسلیم مورد انتظار به حداقل تنش تسلیم فولاد مهاربندی،  $F_y =$  تنش تسلیم فولاد مهاربندی و  $A_g =$  سطح مقطع کلی عضو مهاربندی است.

نیروی لرزه‌ای مهاربند فشاری برابر  $P_n / 3^{+}$  که در آن مقاومت فشاری اسمی مهاربند فشاری است.



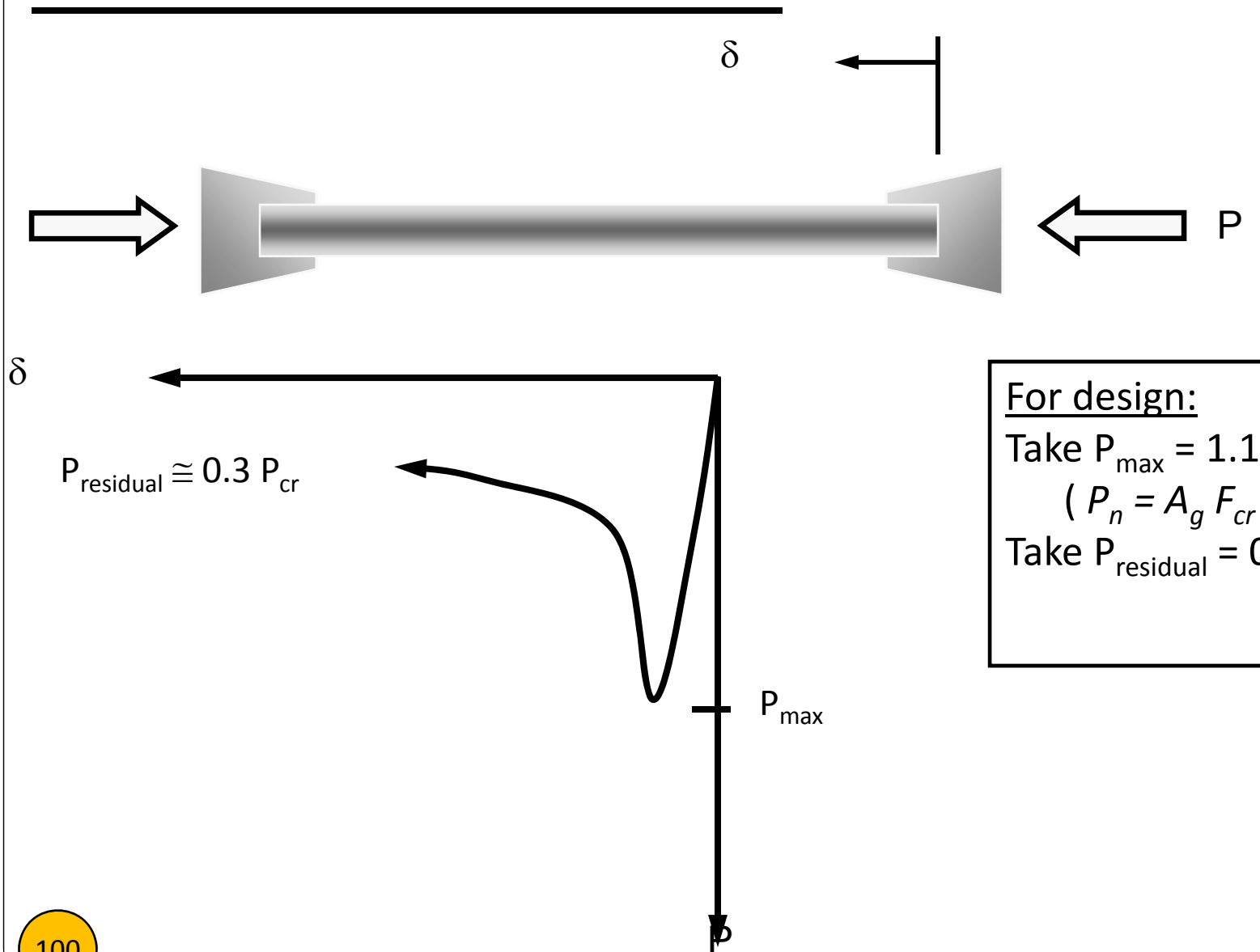
## Braces in Tension - Axial Force:



For design:  
Take  $P_{max} = R_y F_y A_g$

# Maximum Forces Developed by Braces

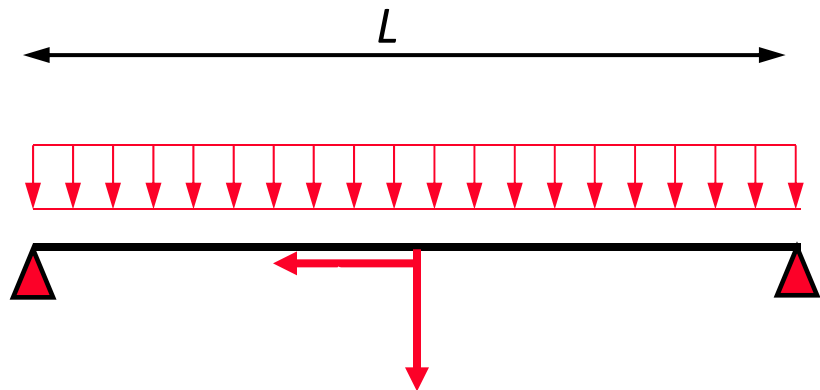
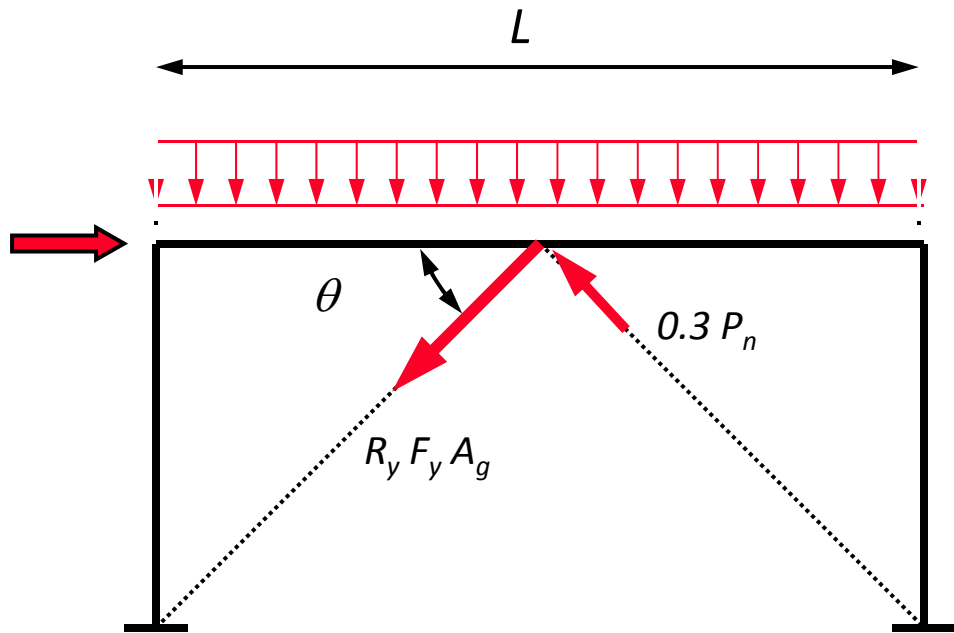
Braces in Compression - Axial Force

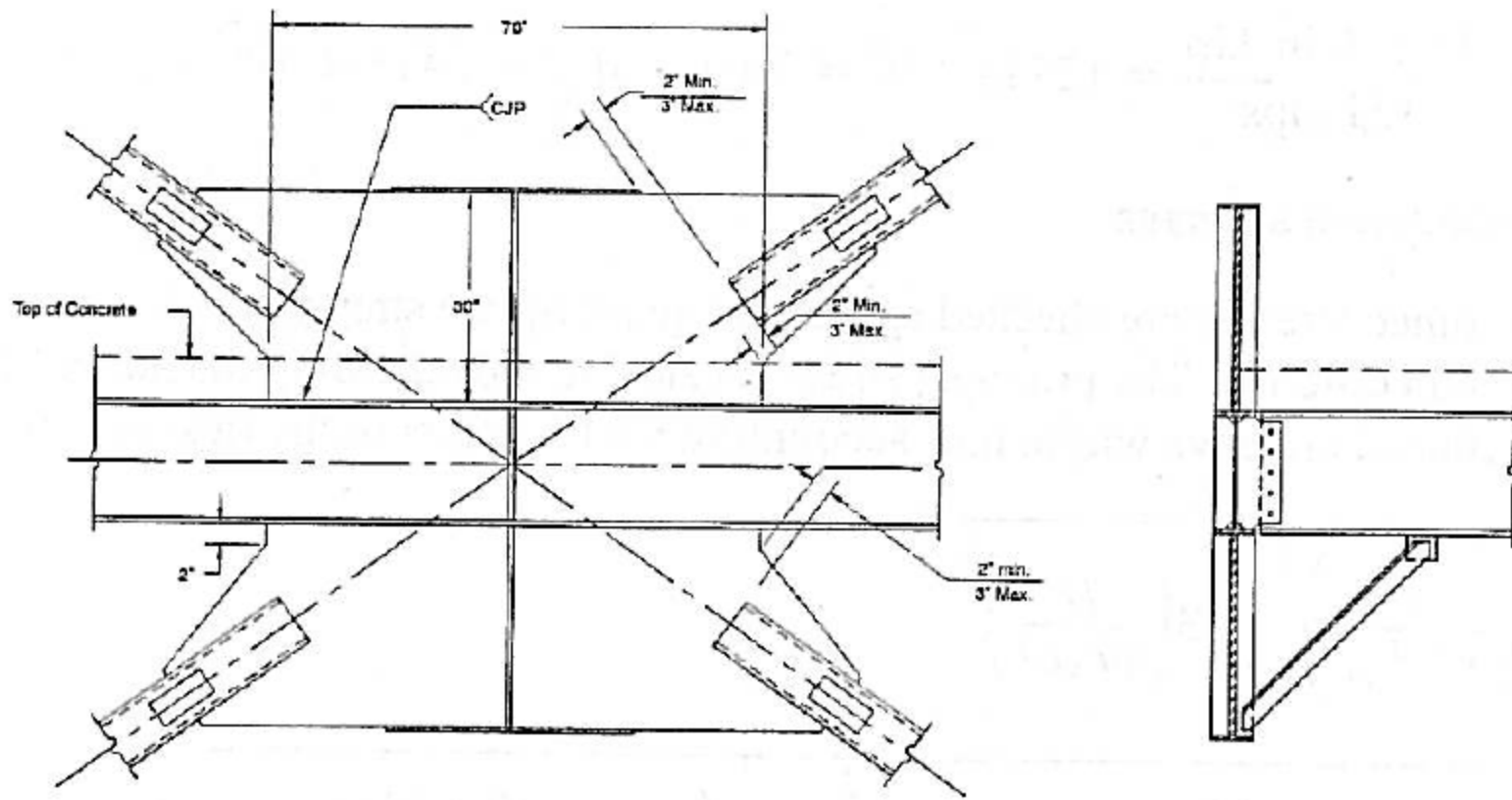


For design:

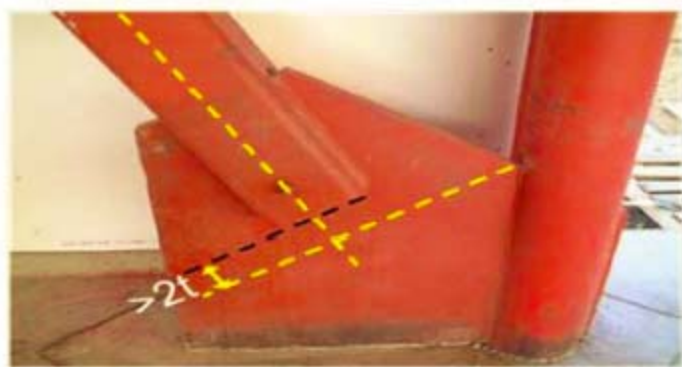
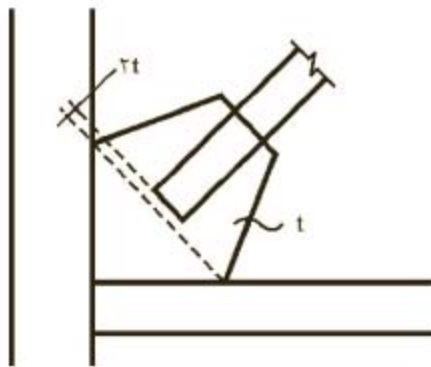
Take  $P_{\text{max}} = 1.1 R_y P_n$   
( $P_n = A_g F_{cr}$ )

Take  $P_{\text{residual}} = 0.3 P_n$

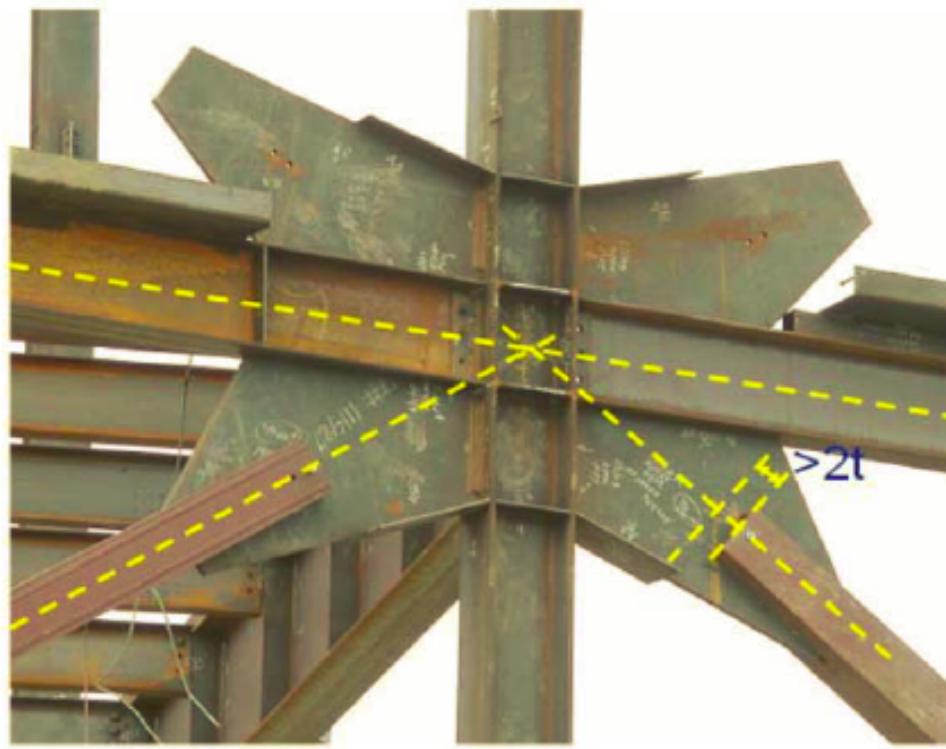


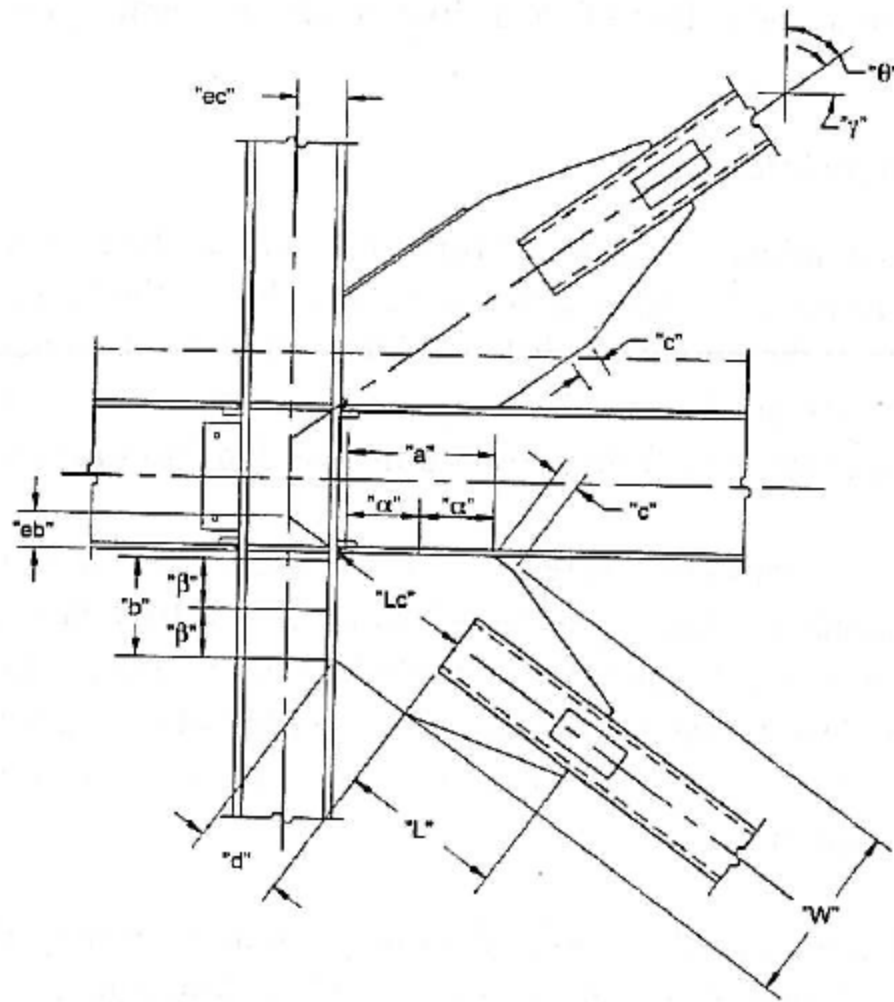


**Figure 1A-13. Brace-to-beam connection at midspan**



اتصالات مهاربندی





**Figure 1A-11. Diagram of dimensions used in the connection design**

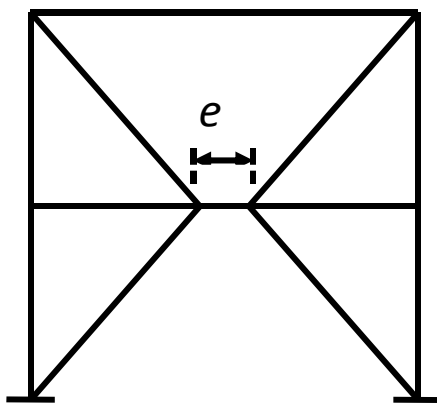
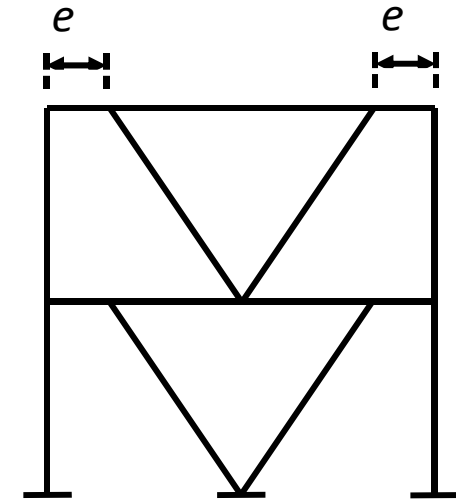
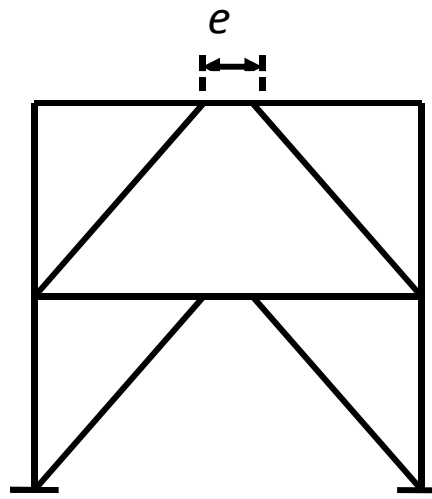
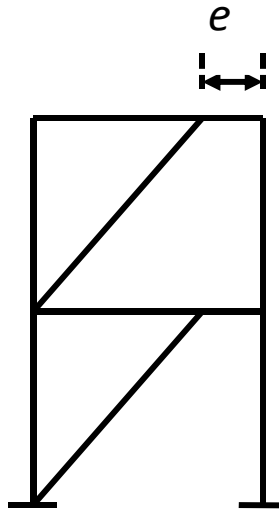
## اتصالات مهاربندی

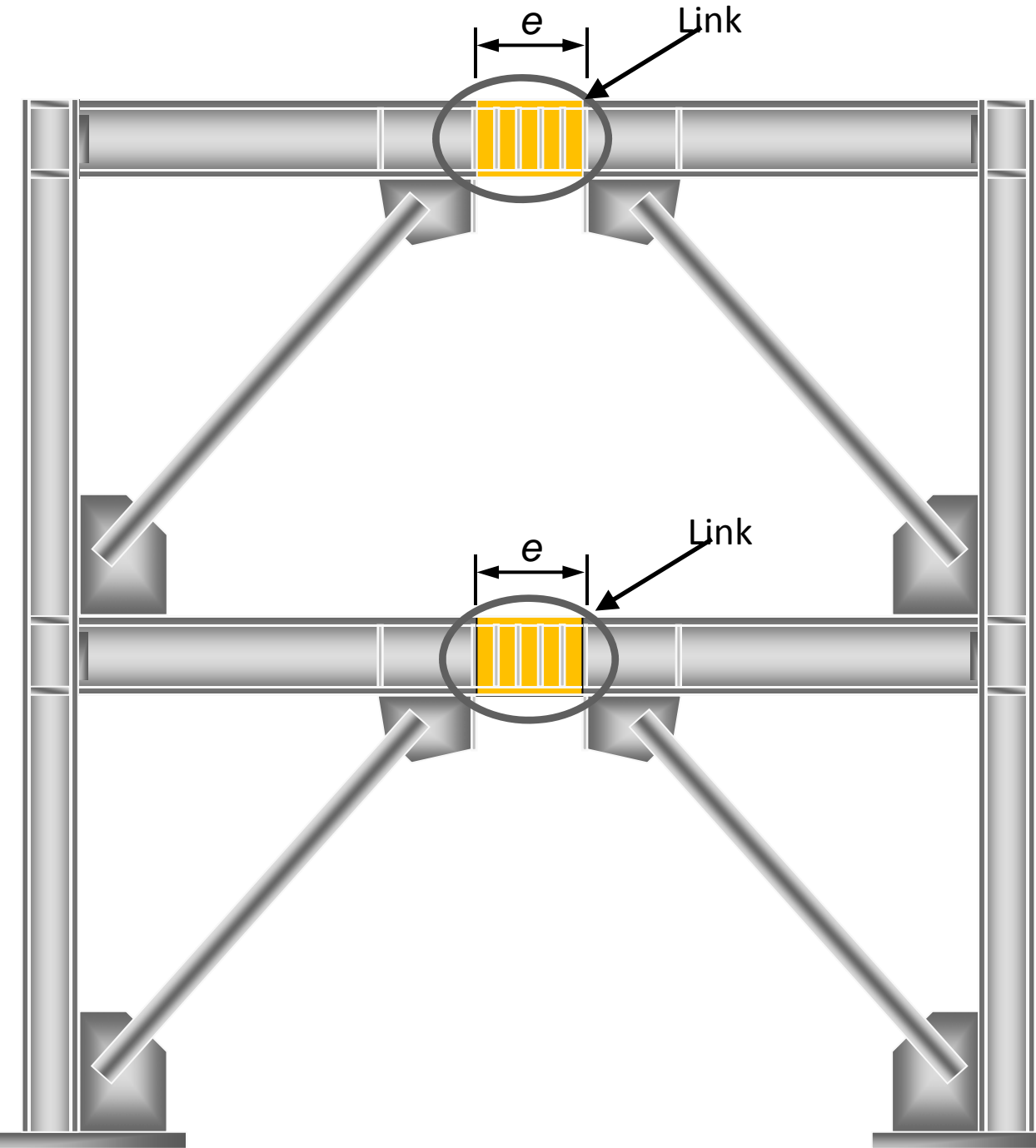


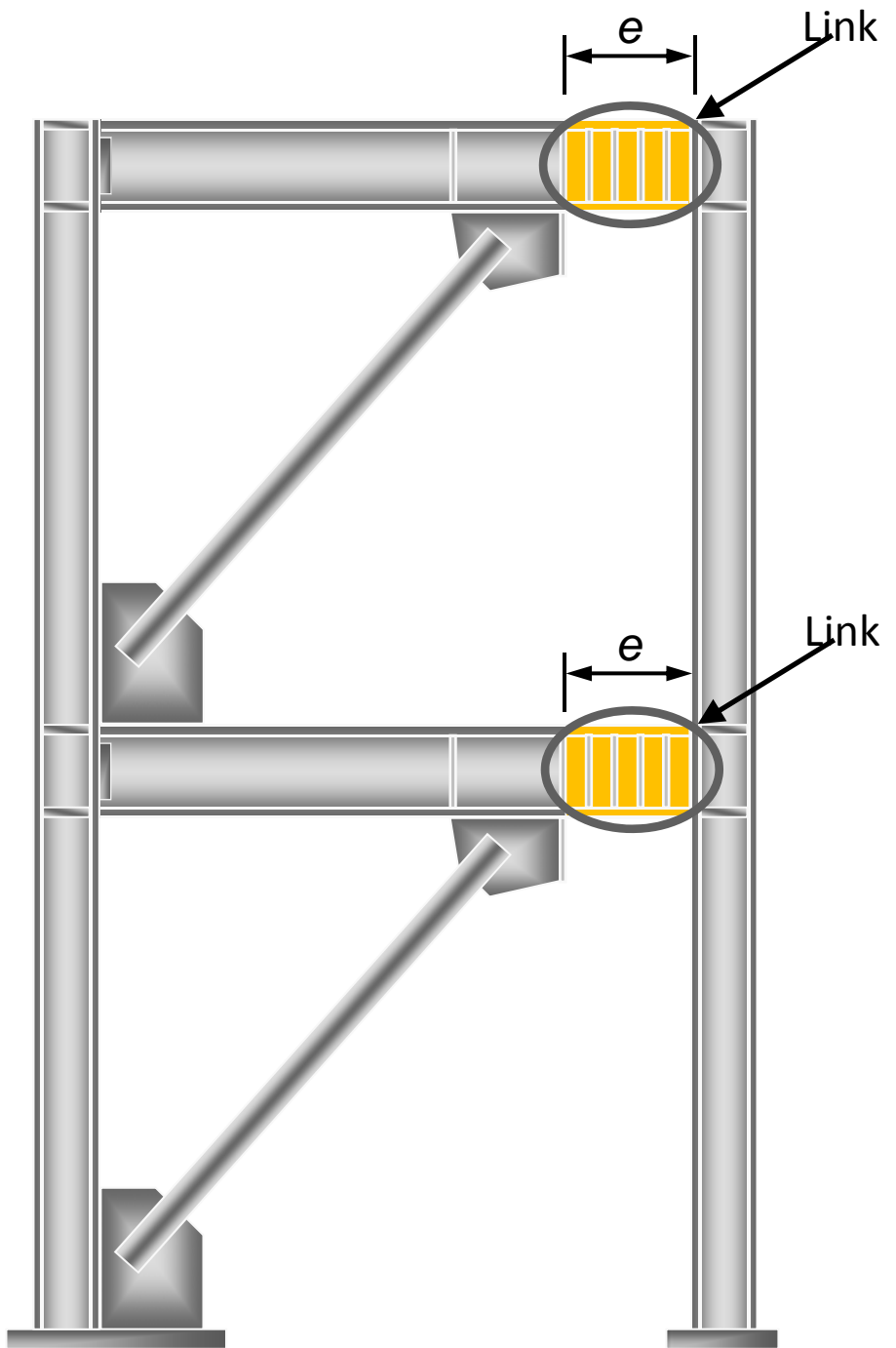
## سیستم مهاربندی برون محور:



## Some possible bracing arrangement for EBFS



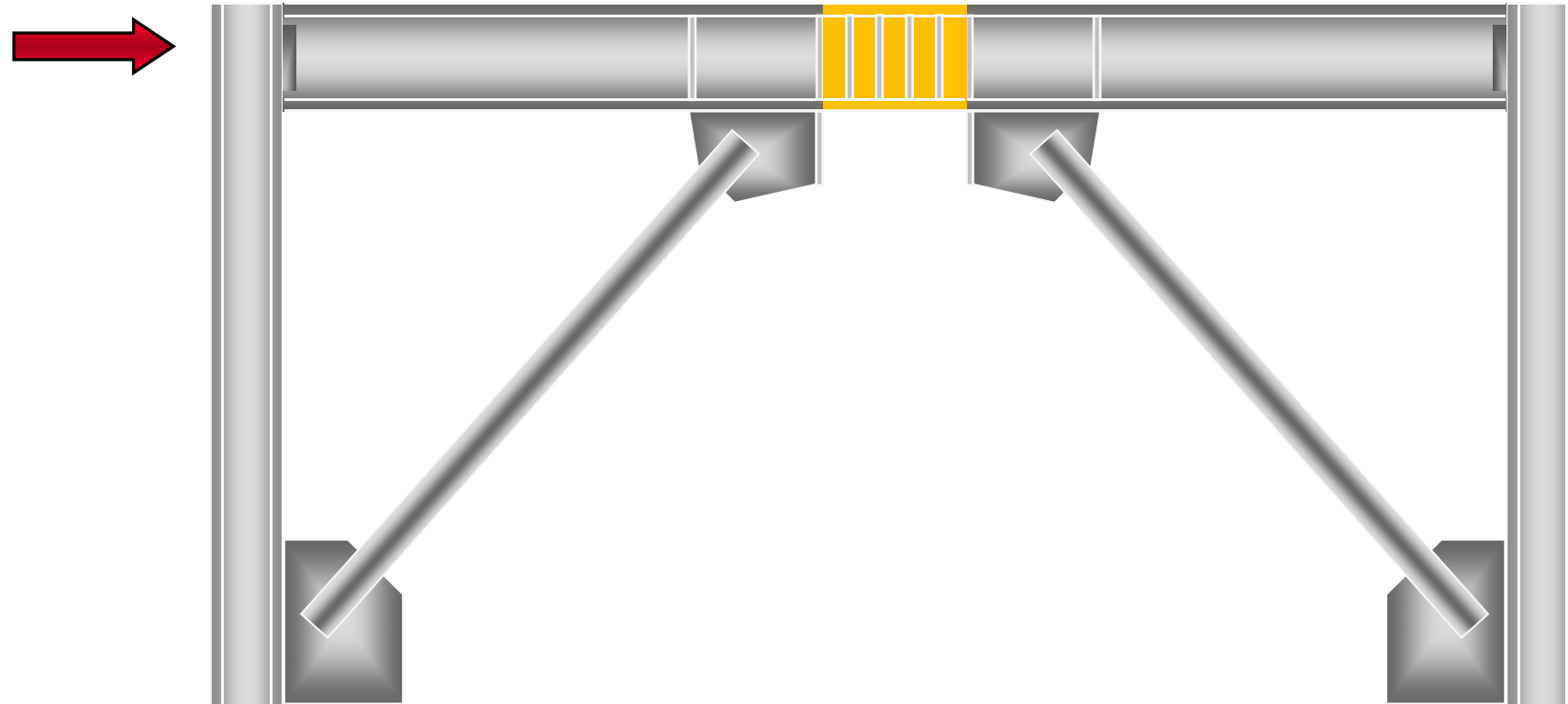


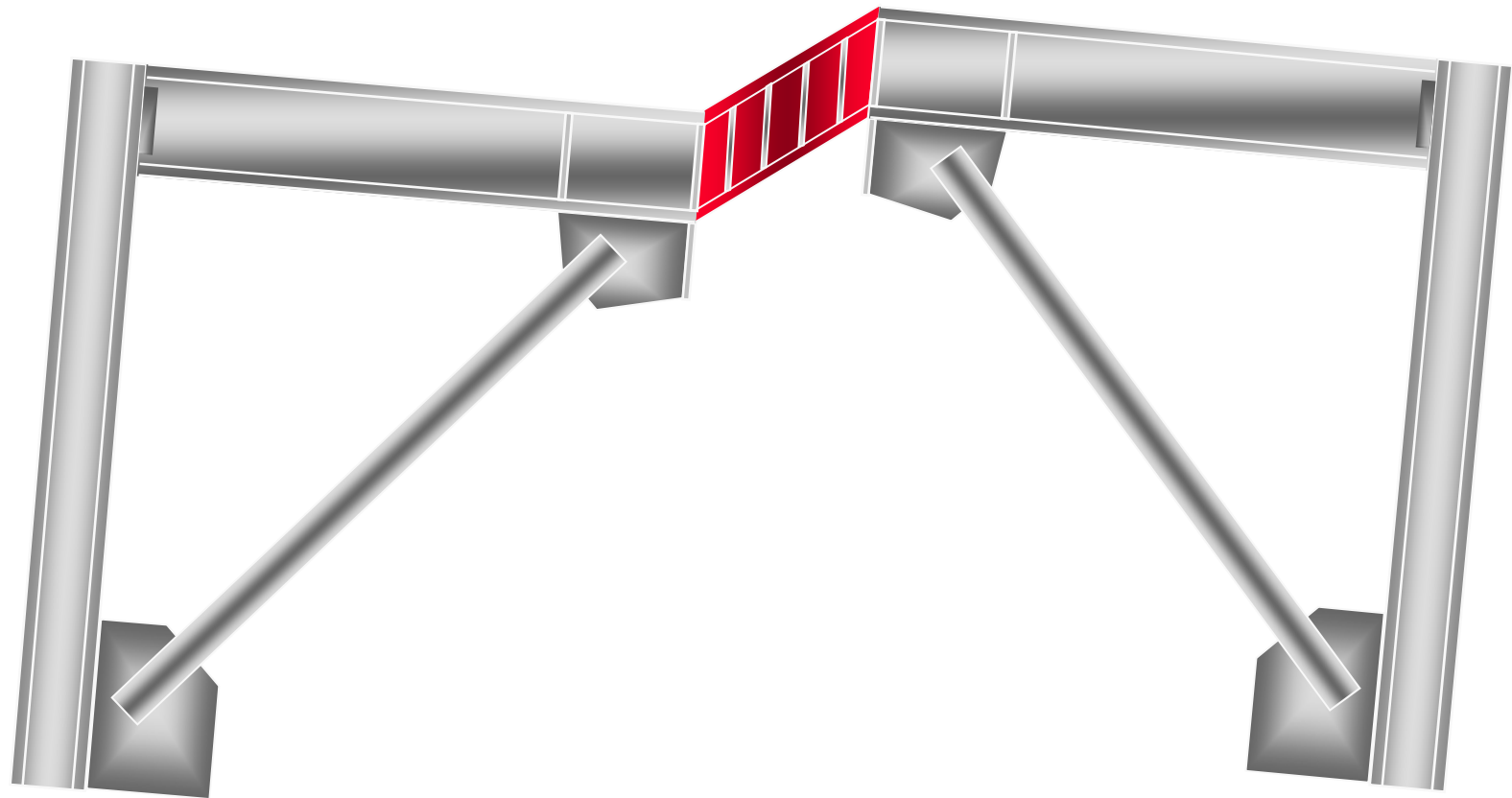


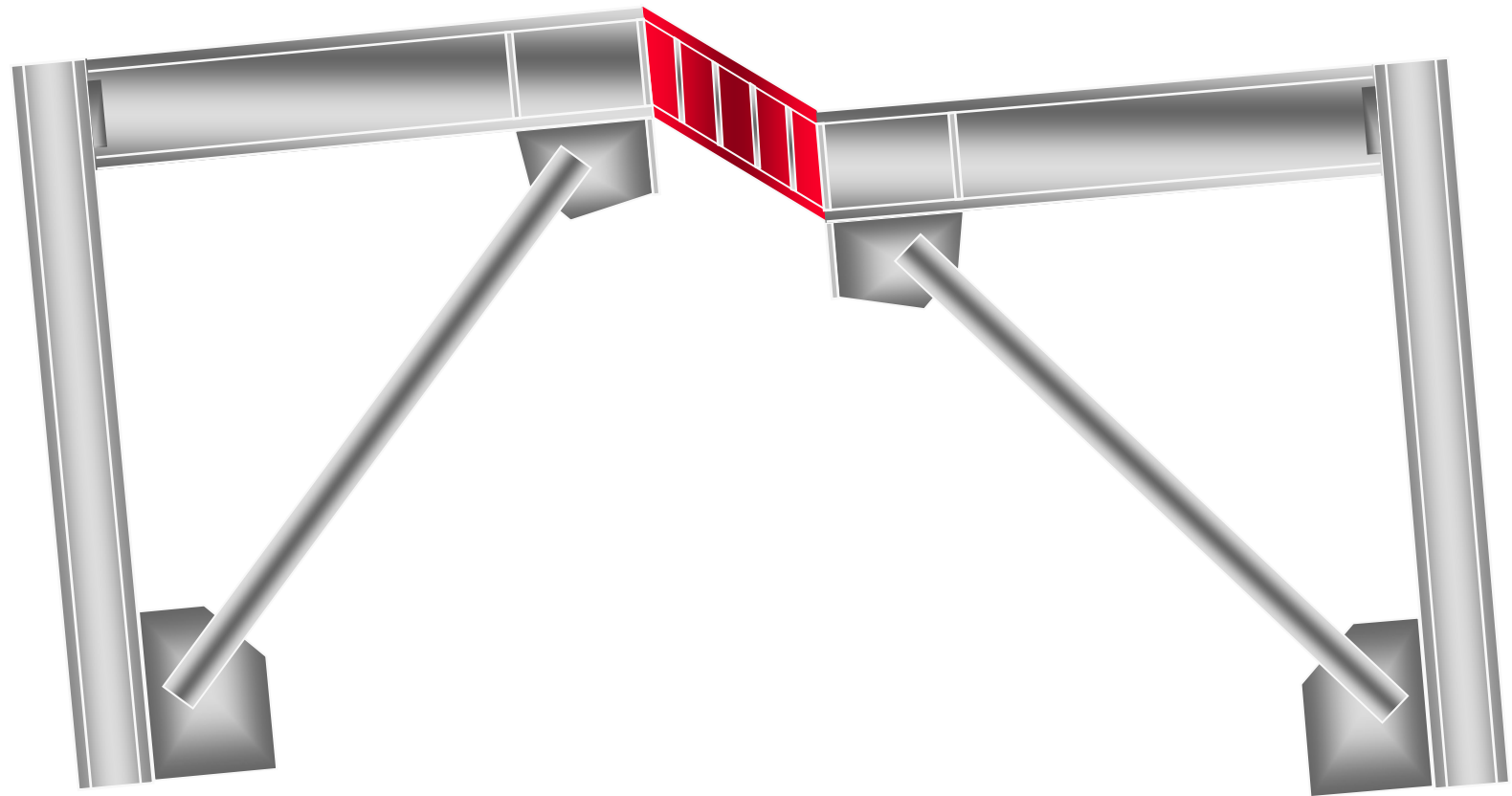


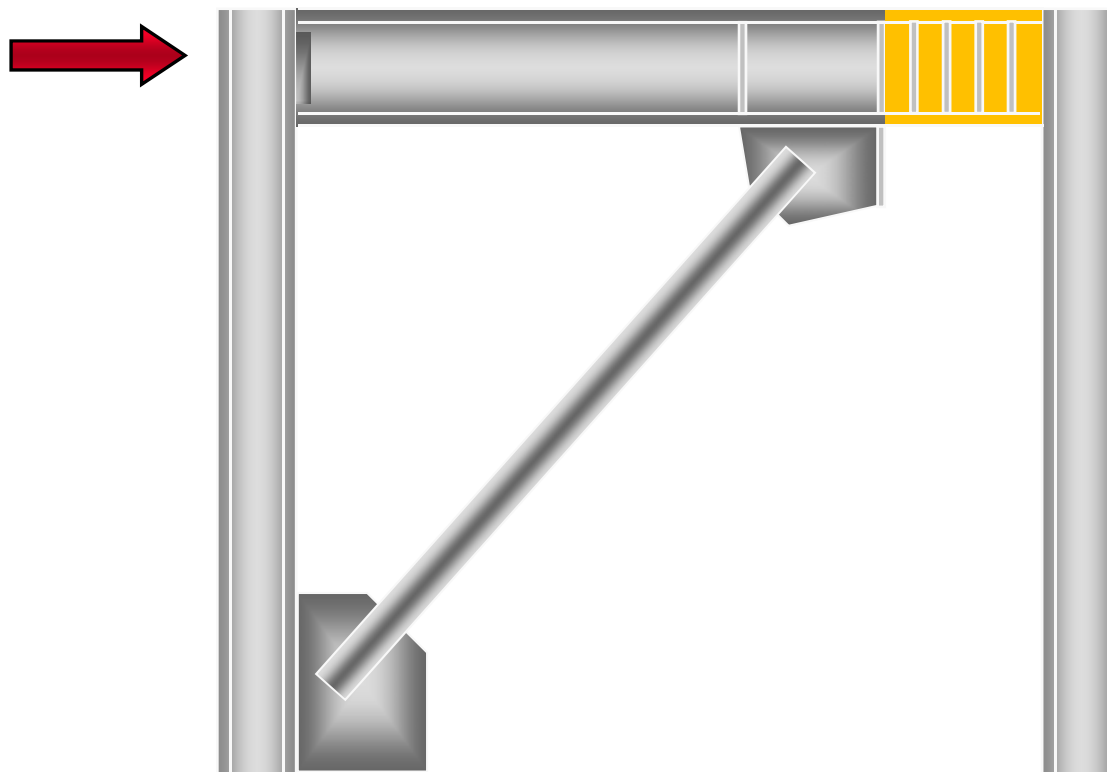


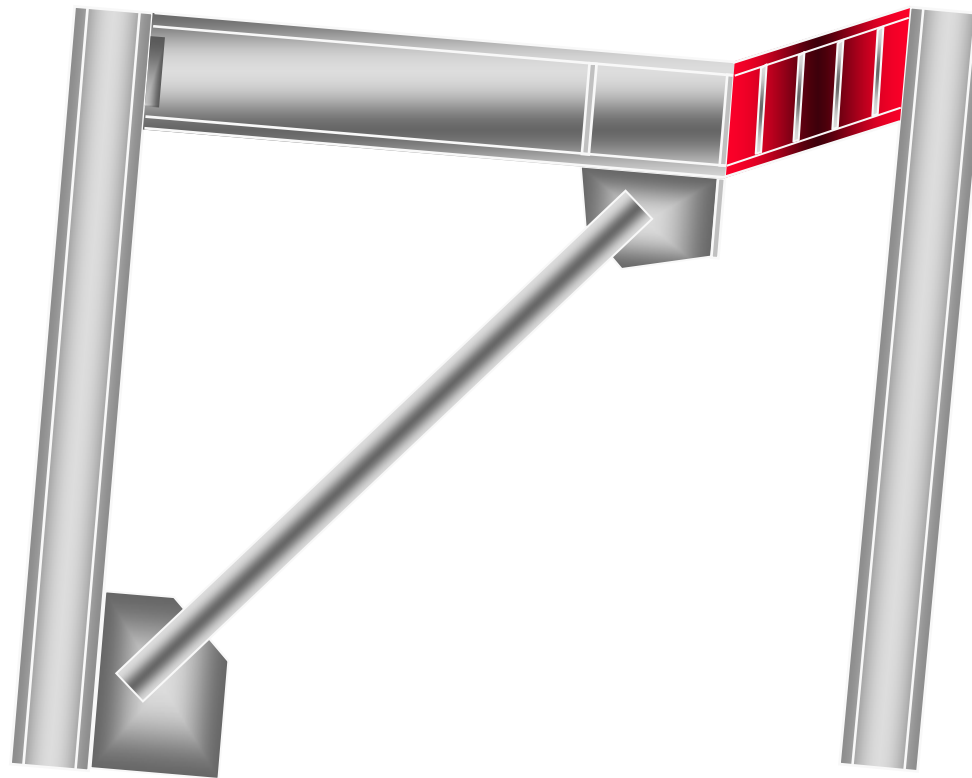
## Inelastic Response of EBFs

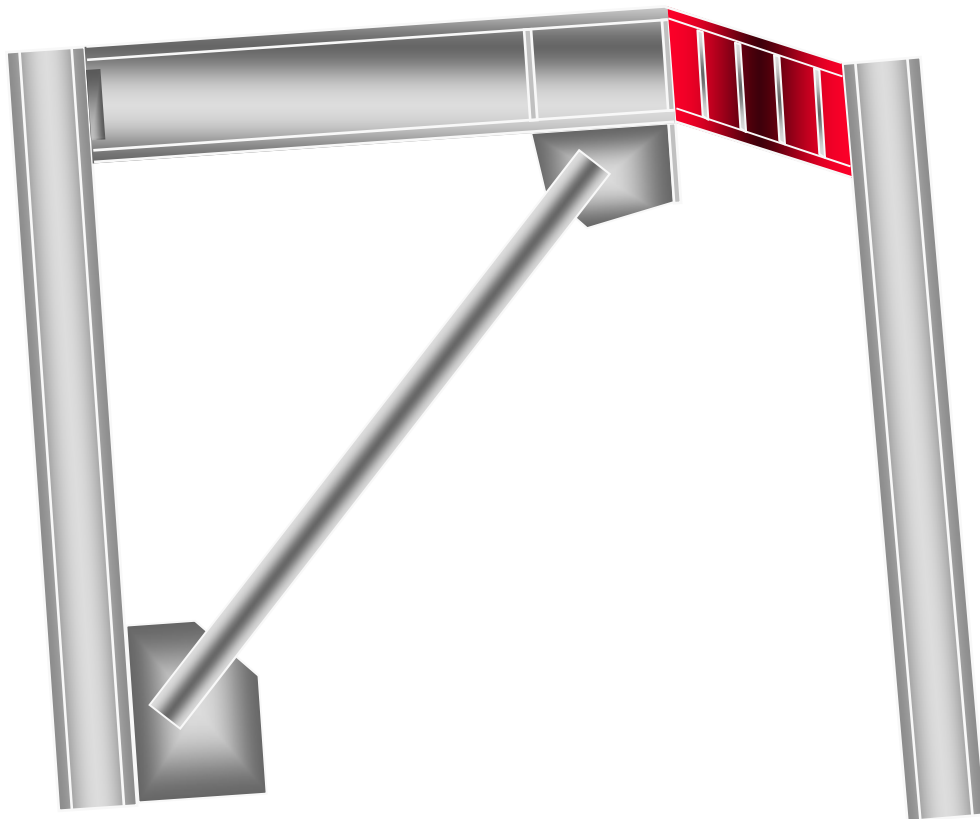




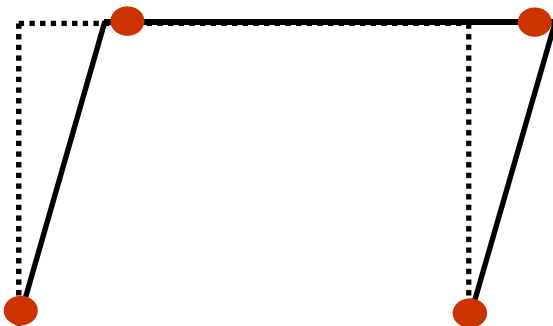




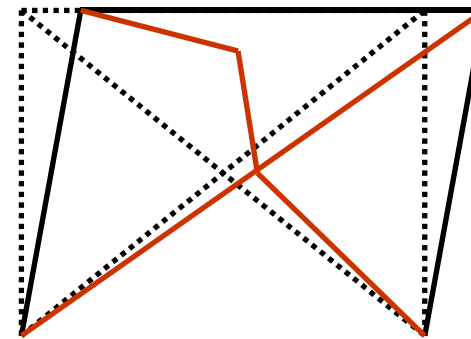




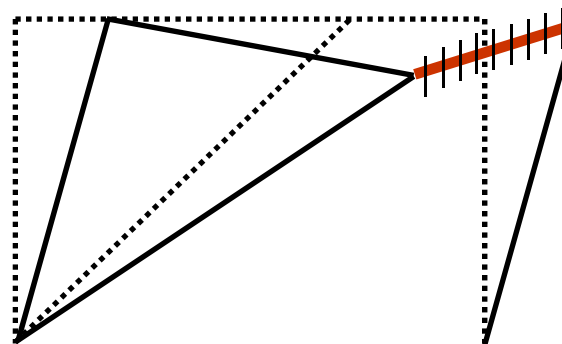




MRF



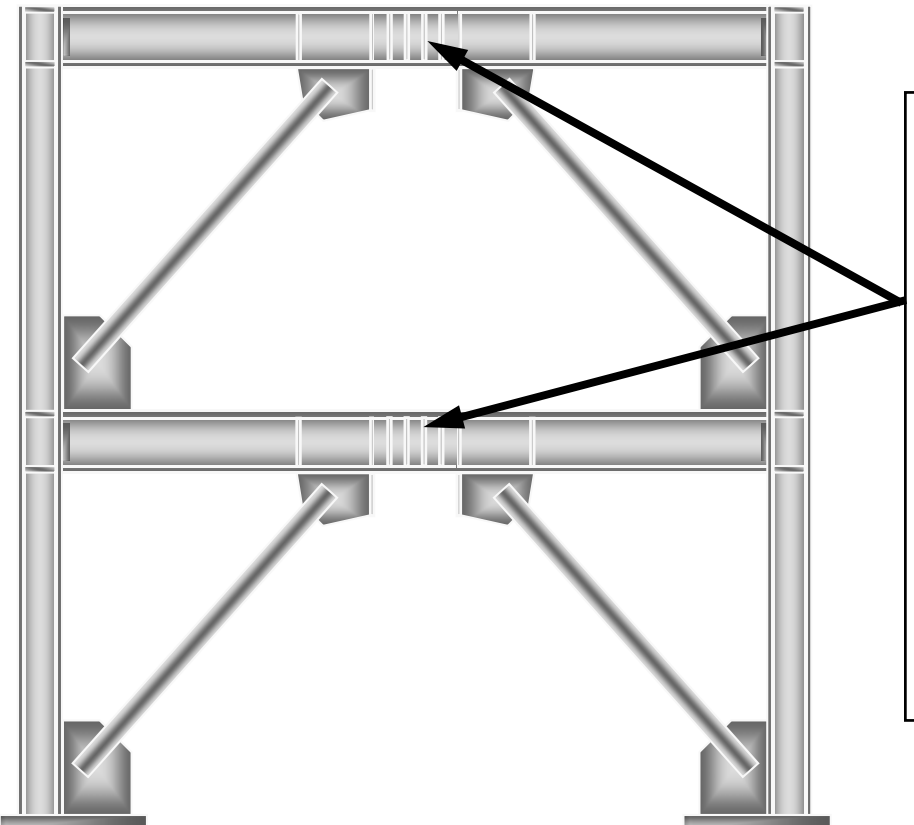
CBF



EBF

Energy Dissipation Mechanisms

# Design of EBFs - General Approach



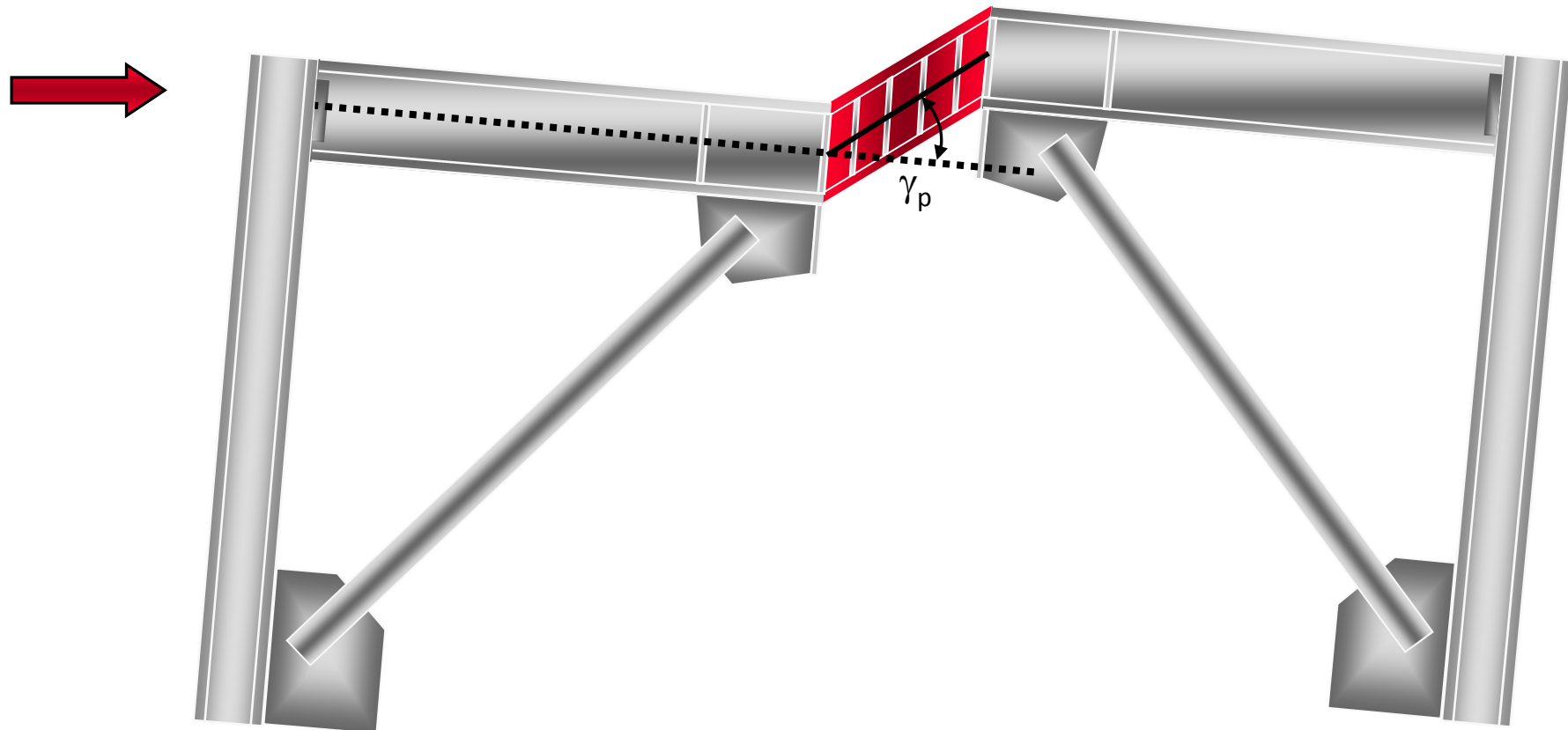
- Design frame so that inelastic behavior is restricted to links.
  - Links are "fuse" elements of frame.
  - Links are weakest element of frame. All other frame elements (braces, columns, beam segments outside of link, connections) are stronger than links.
- Detail links to provide high ductility (stiffeners, lateral bracing).

## EBFs - Link Behavior

- Link plastic rotation angle
- Forces in links
- Shear vs flexural yielding links
- Link nominal strength
- Post-yield behavior of links
- Examples of experimental performance of links



## Link Plastic Rotation Angle



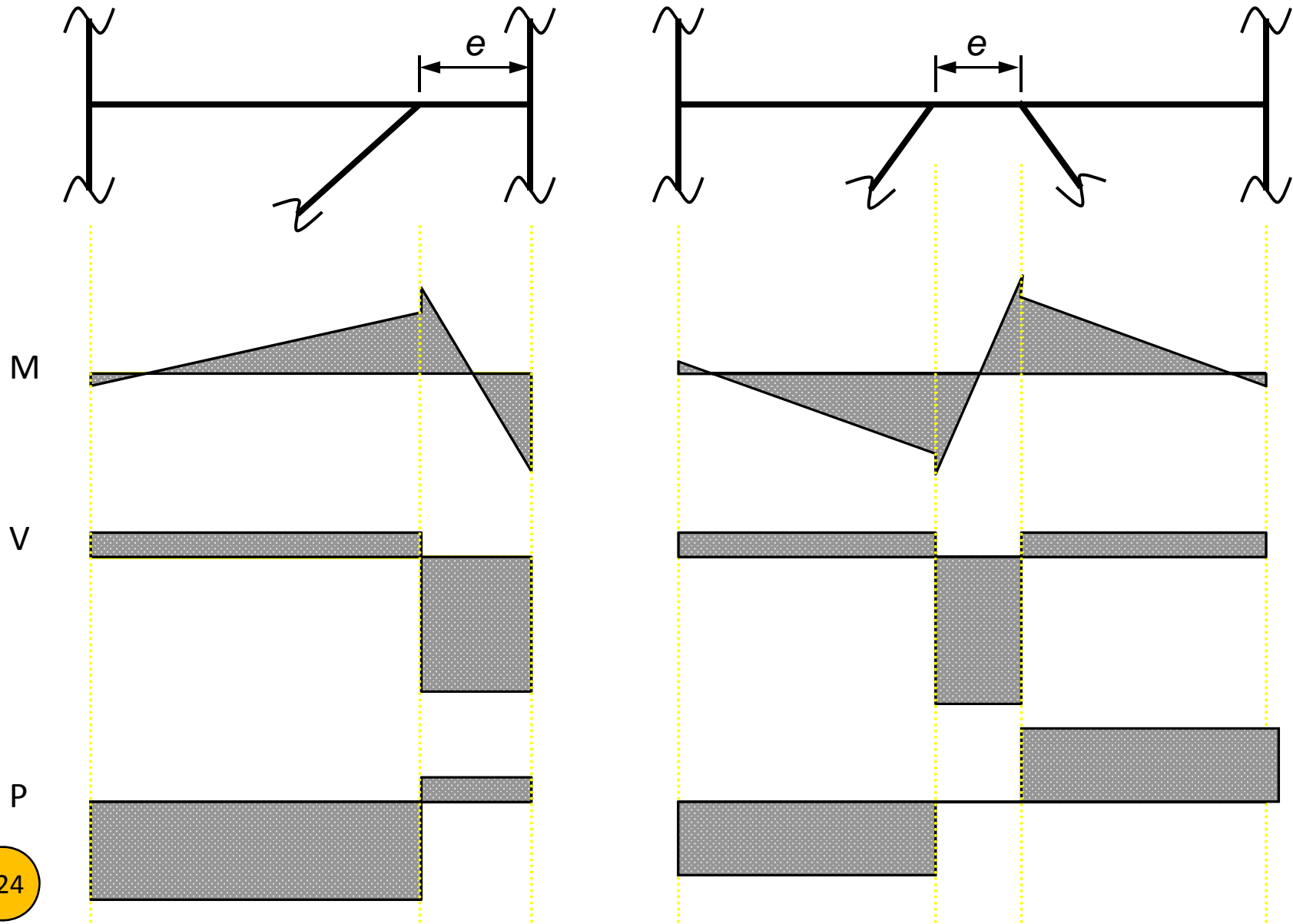
$$\gamma_p = \text{link plastic rotation angle (rad)}$$

## Link Plastic Rotation Angle



$$\gamma_p = \text{link plastic rotation angle (rad)}$$

## Link Behavior: Forces in Links



## Shear Vs. Flexural Yielding Links:

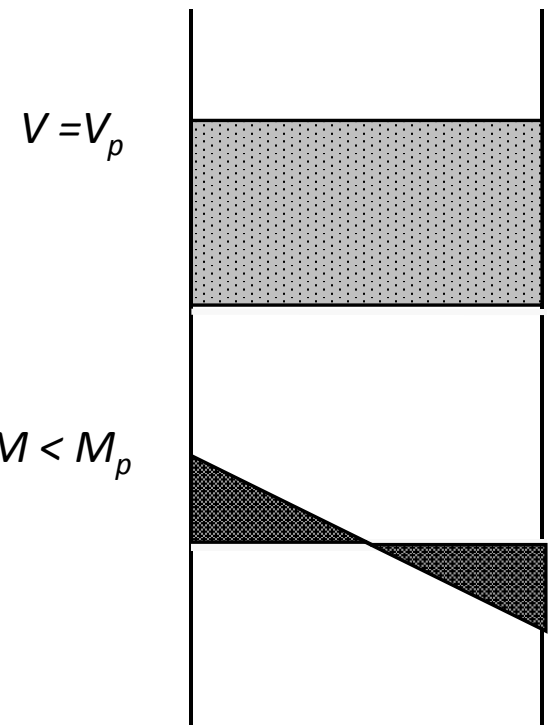
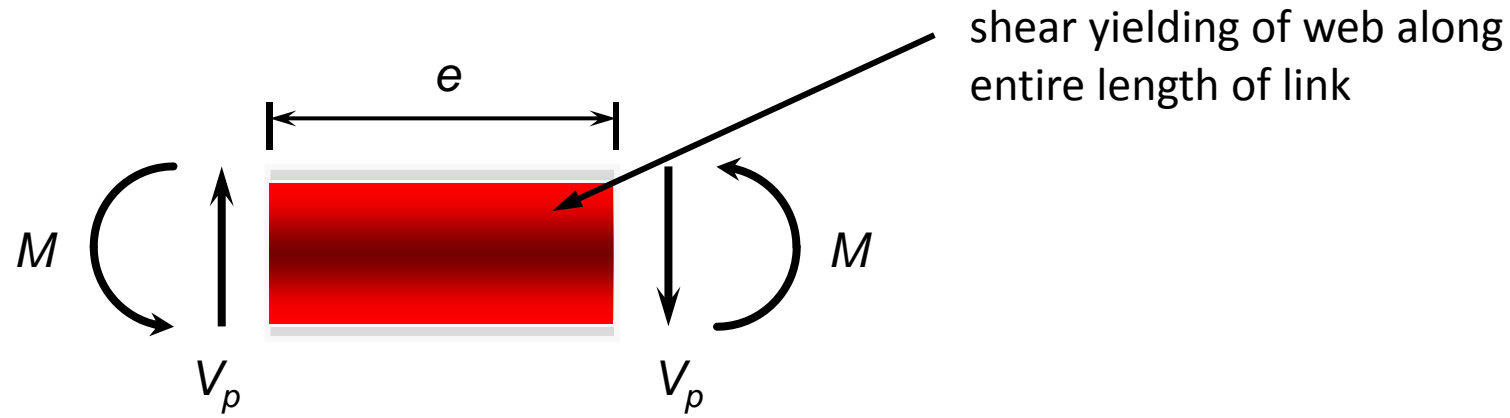
Simple Plastic Theory (assumes no strain hardening and no shear - flexure interaction)

SHEAR YIELDING LINK:

$$e \leq \frac{2M_p}{V_p}$$

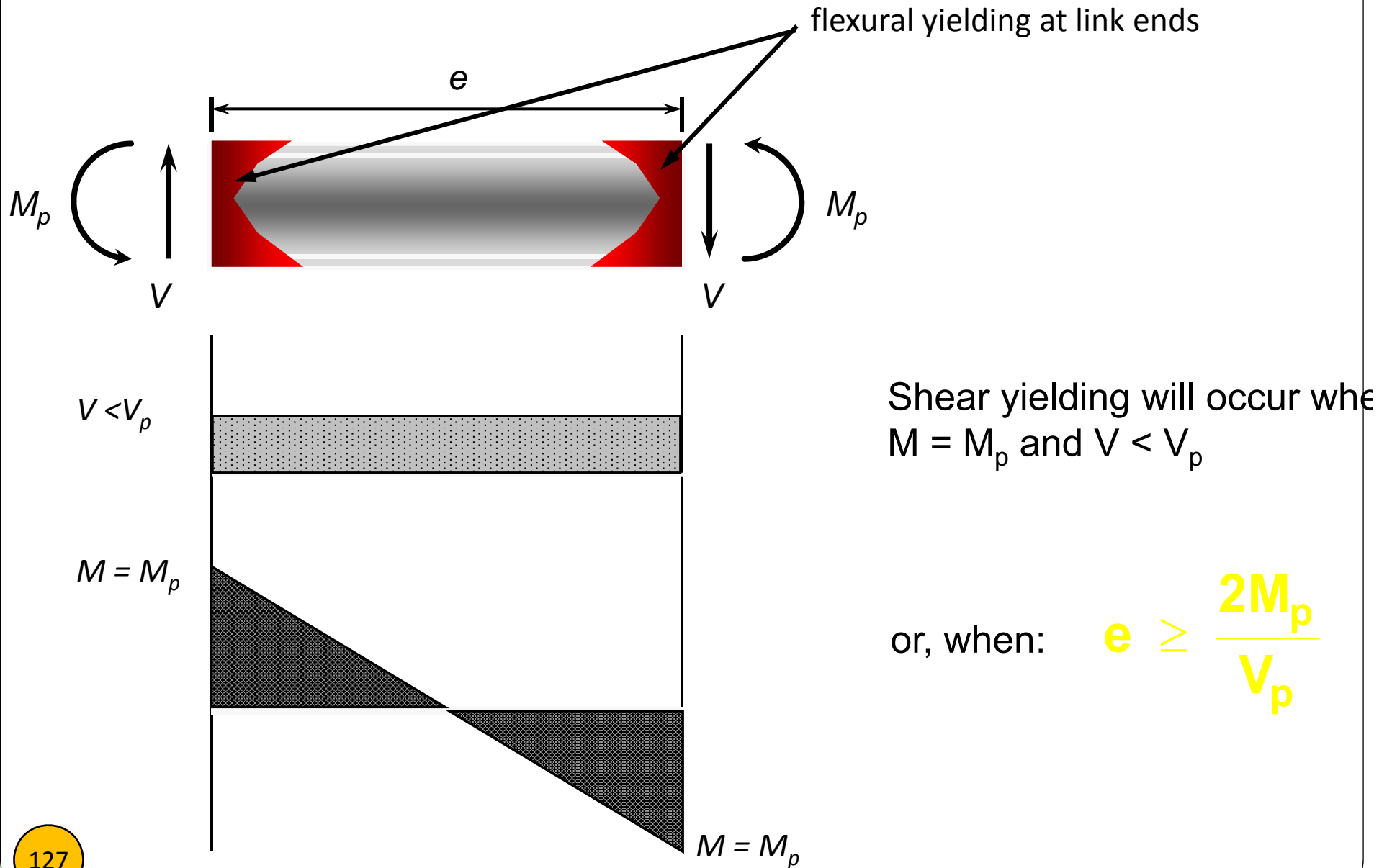
FLEXURAL YIELDING LINK:

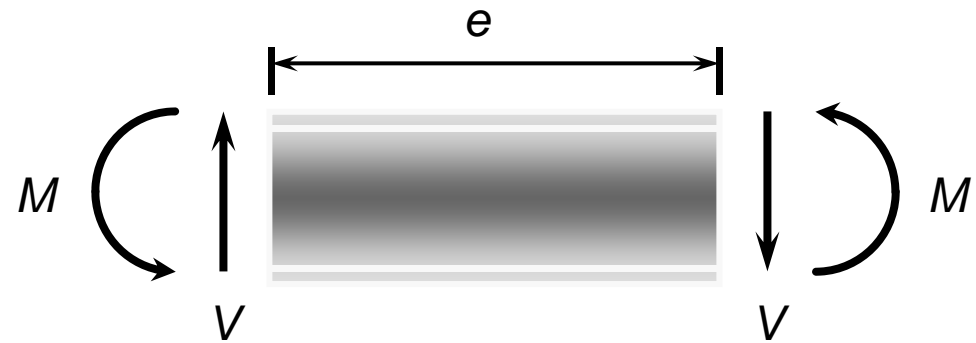
$$e \geq \frac{2M_p}{V_p}$$



Shear yielding will occur when  
 $V = V_p$  and  $M < M_p$

or, when:  $e \leq \frac{2M_p}{V_p}$

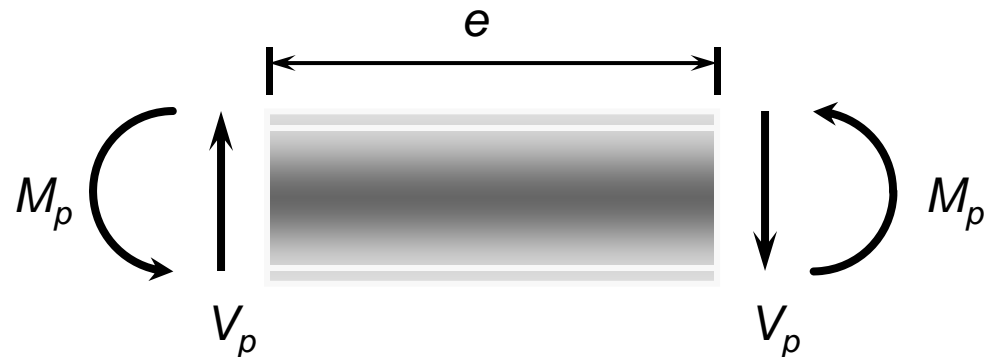




Static equilibrium of link:  $Ve = 2M$  or:

$$e = \frac{2M}{V}$$

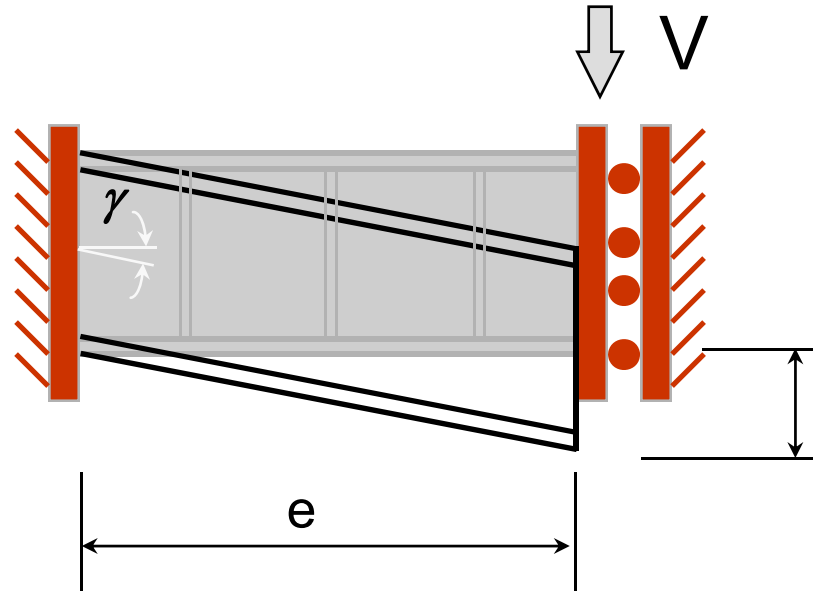
## Shear vs. Flexural Yielding Links:



Shear and flexural yielding occur simultaneously  
when  $V=V_p$  and  $M=M_p$

or, when: 
$$e = \frac{2 M_p}{V_p}$$

## Experimental Performance of Shear Links



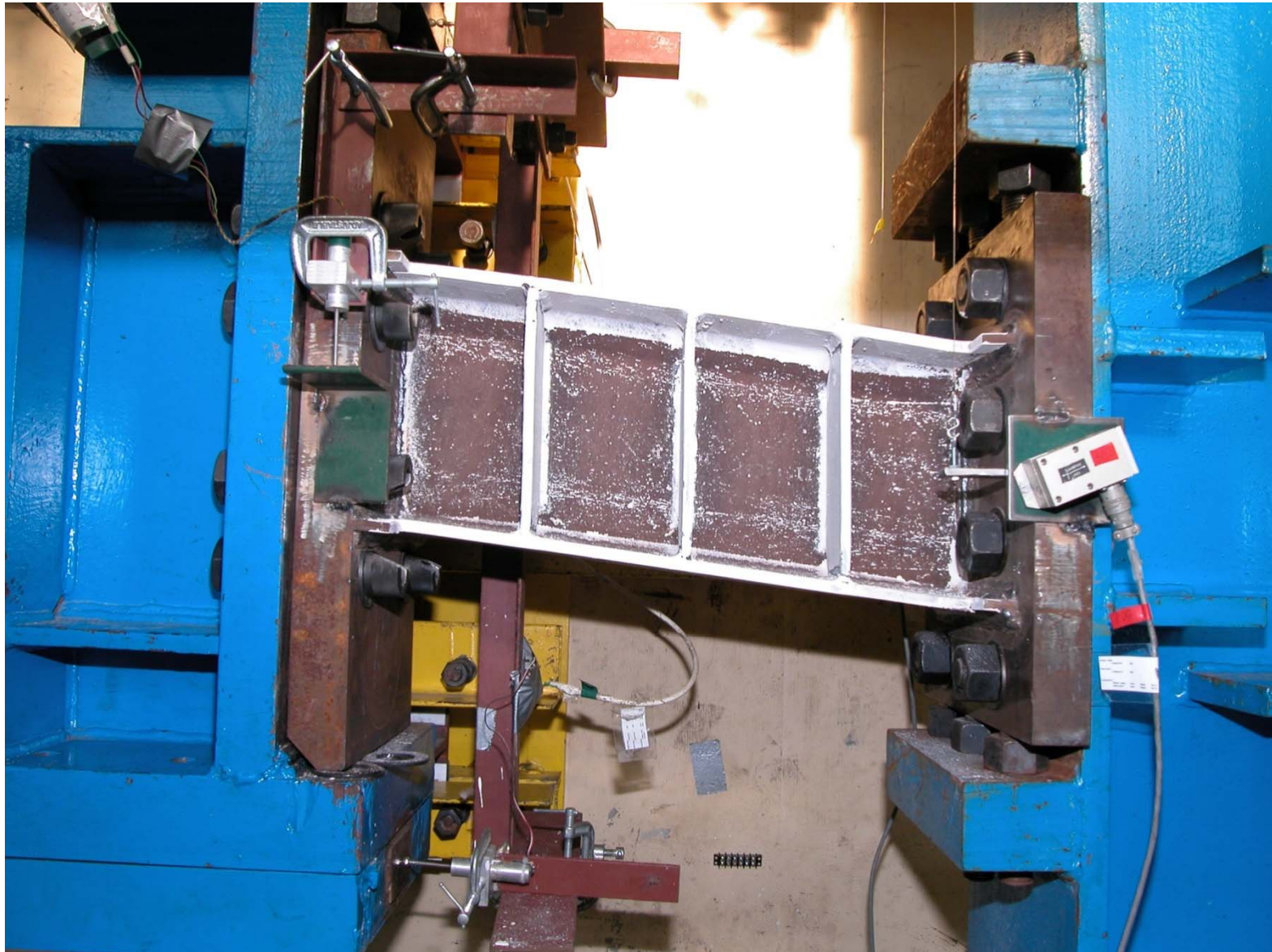
Link Deformation:

$$\gamma = \frac{\Delta}{e} \quad (\text{radian})$$

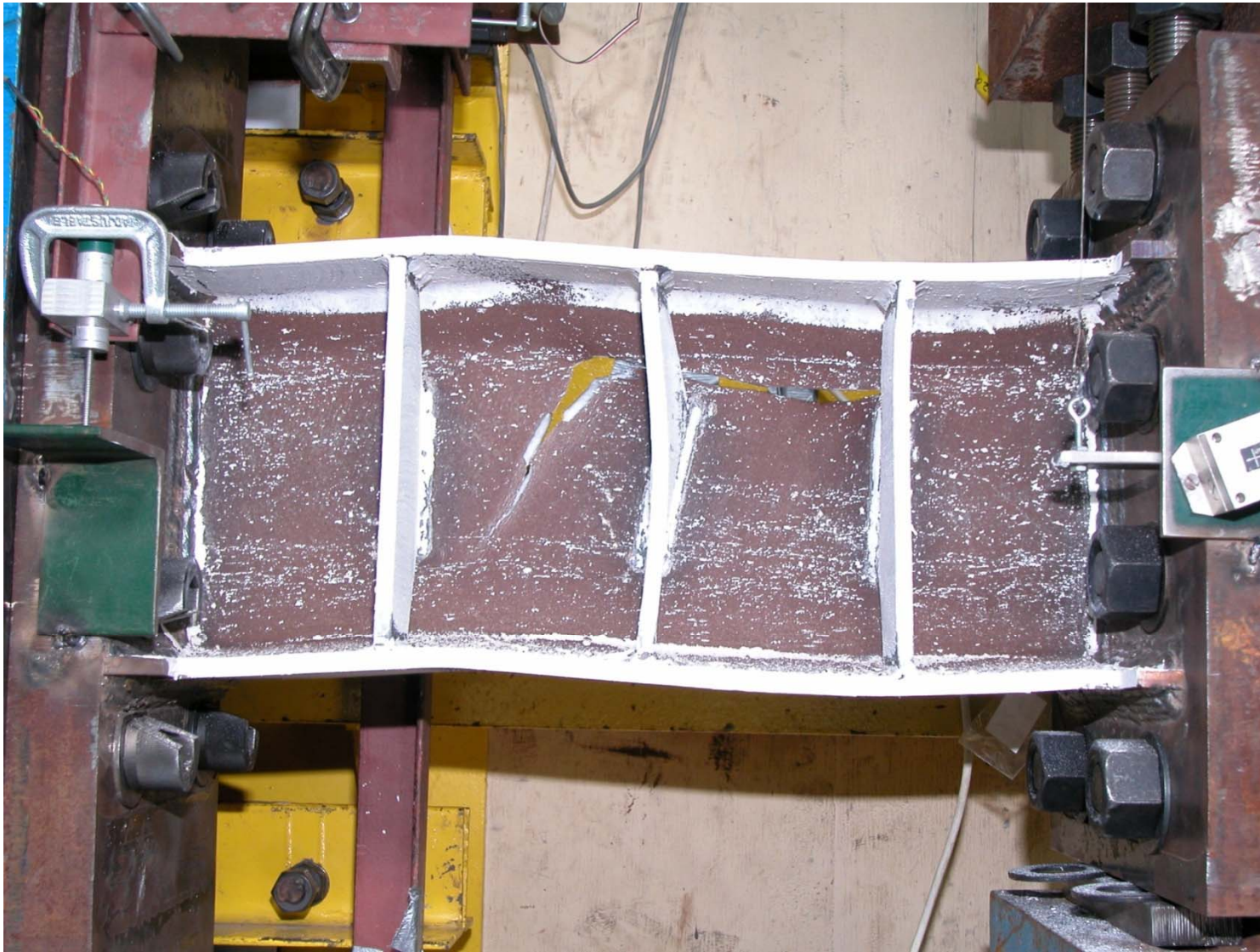
Experimental Performance of a Shear Link:  
W10x33 (A992)  $e = 23'' = 1.1 M_p/V_p$



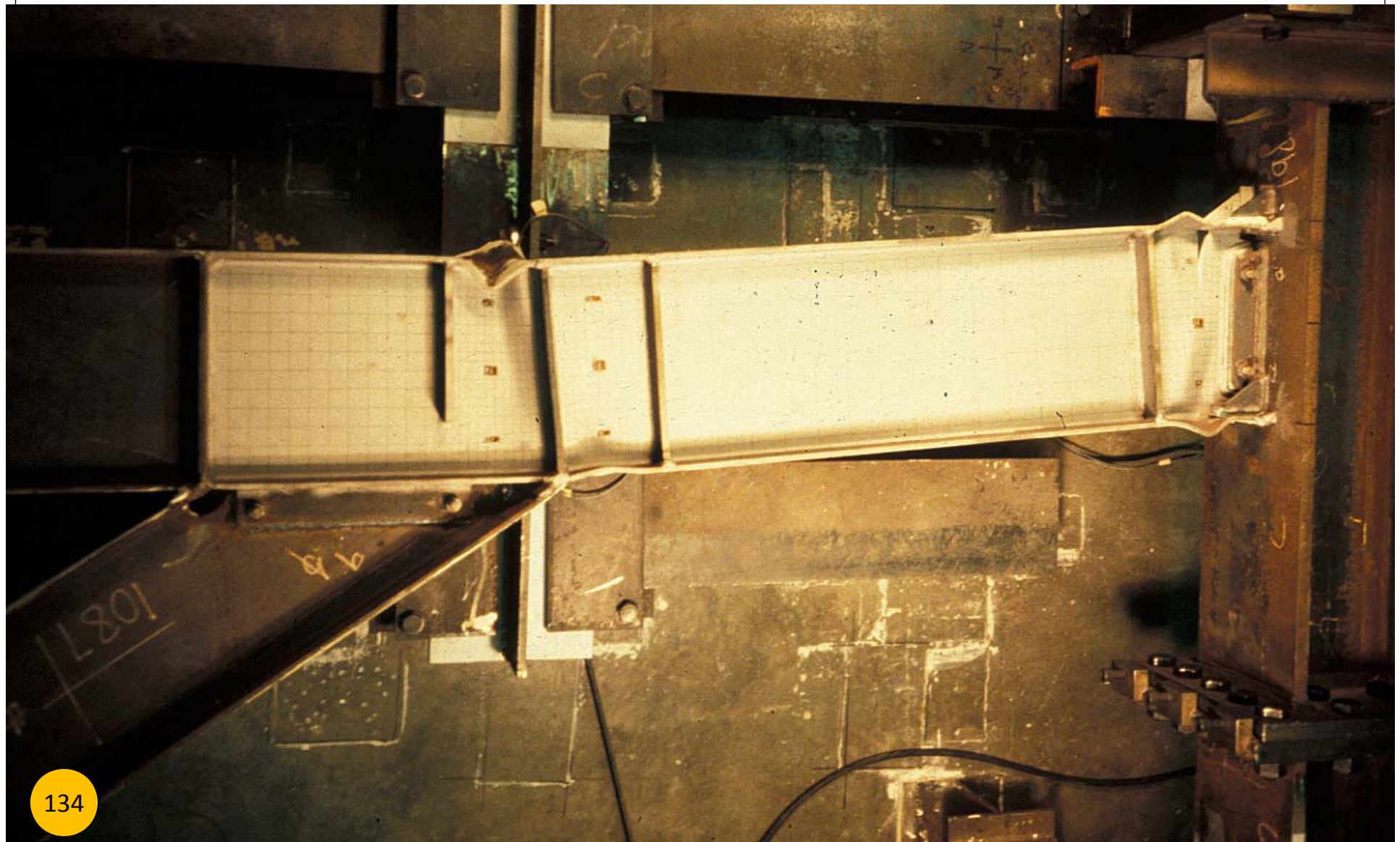
Experimental Performance of a Shear Link:  
W10x33 (A992)  $e = 23'' = 1.1 M_p/V_p$



Experimental Performance of a Shear Link:  
W10x33 (A992)  $e = 23'' = 1.1 M_p/V_p$

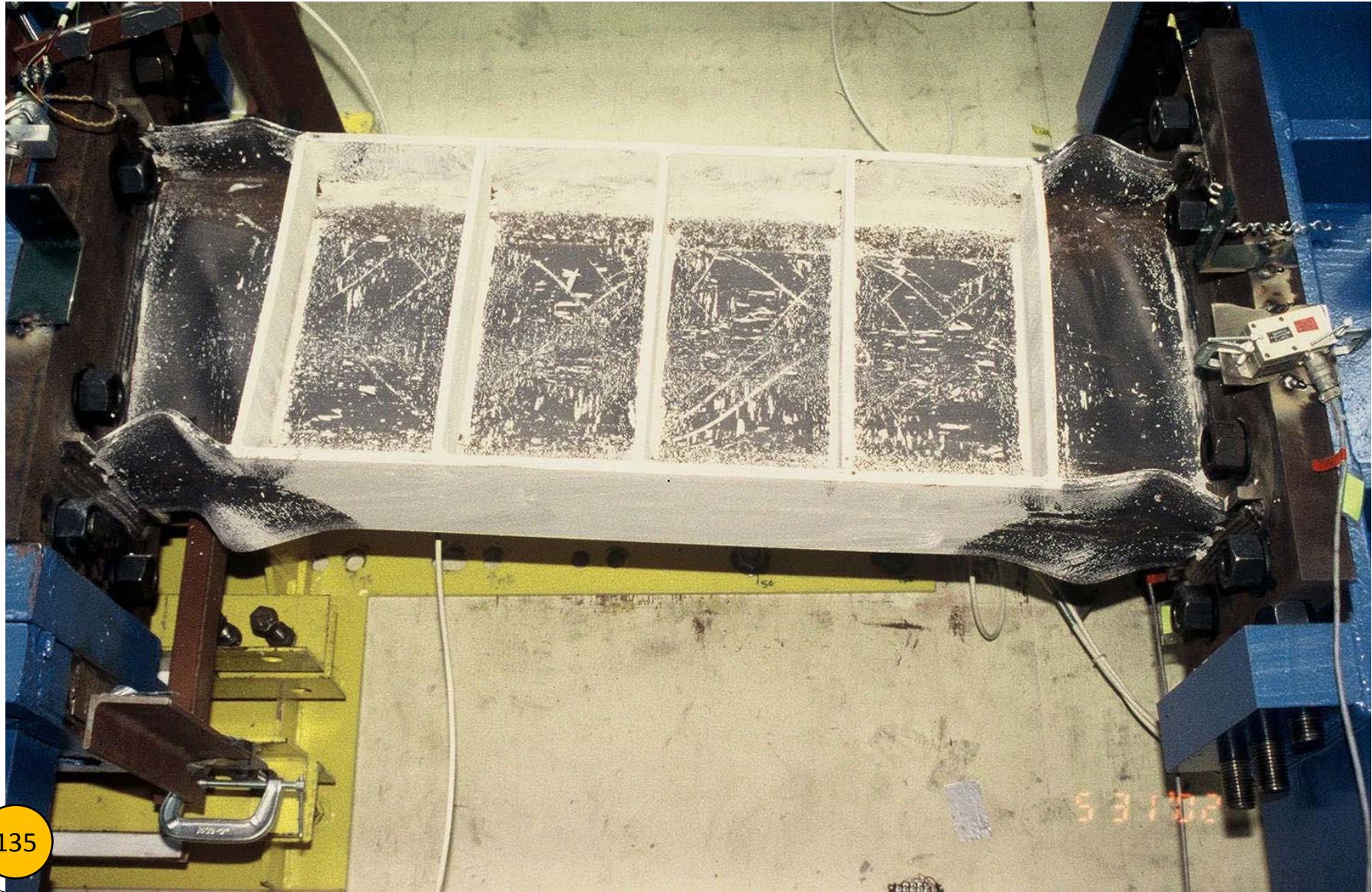


Experimental Performance of a Flexural Yielding Link:  
W12x16 (A36)  $e = 44'' = 3.4 M_p/V_p$

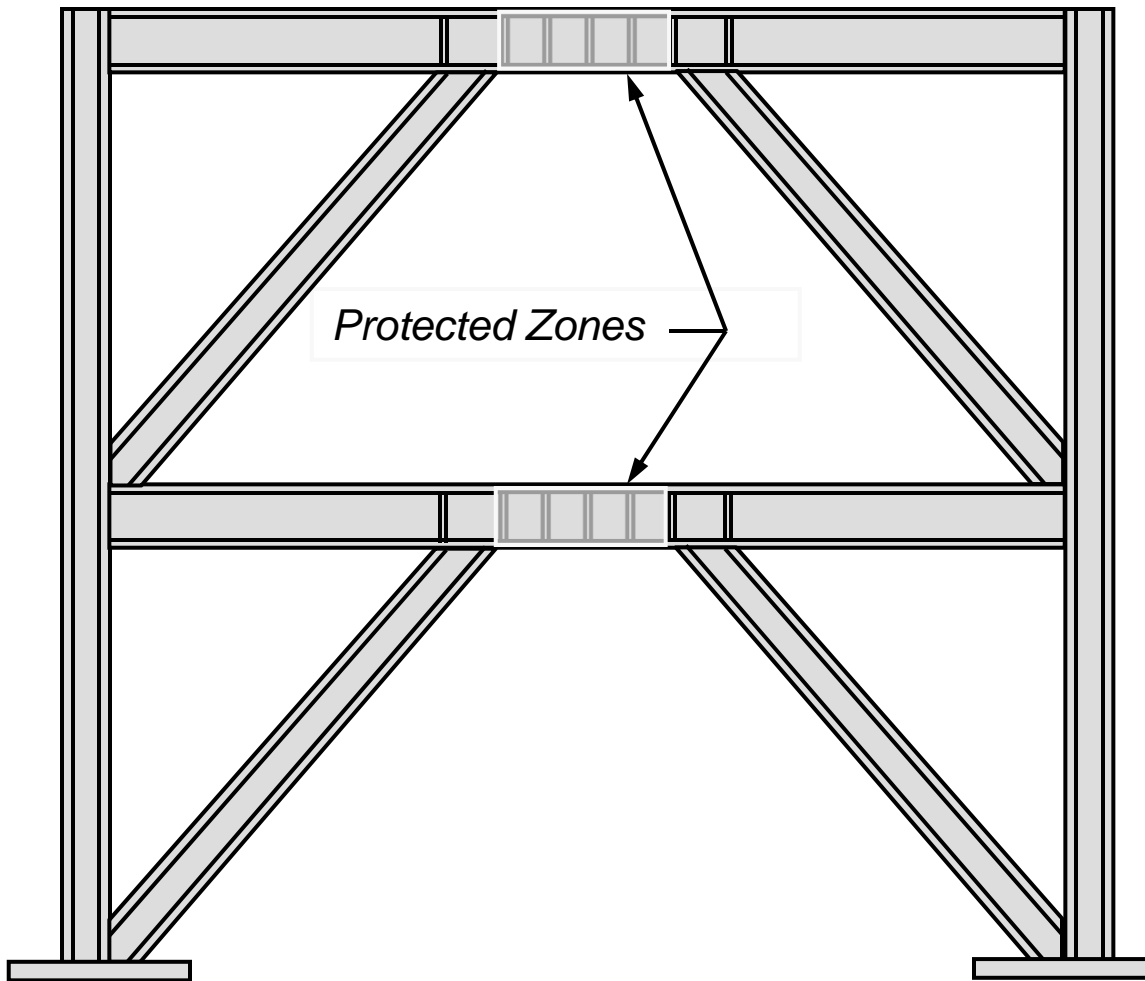


## Experimental Performance of an Intermediate (Shear and Flexural Yielding) Link:

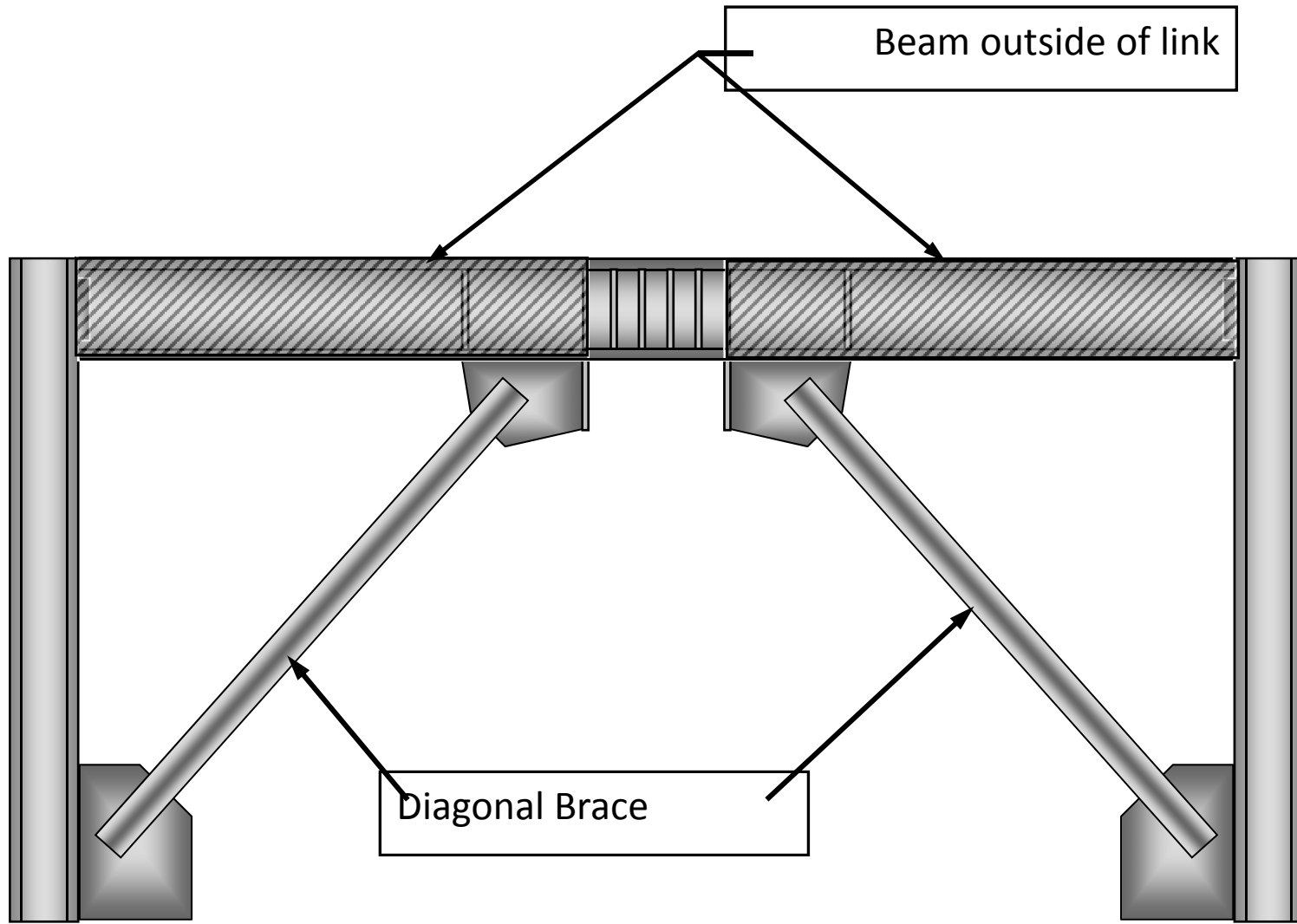
W16x36 (A992)  $e = 48'' = 2 M_p/V_p$



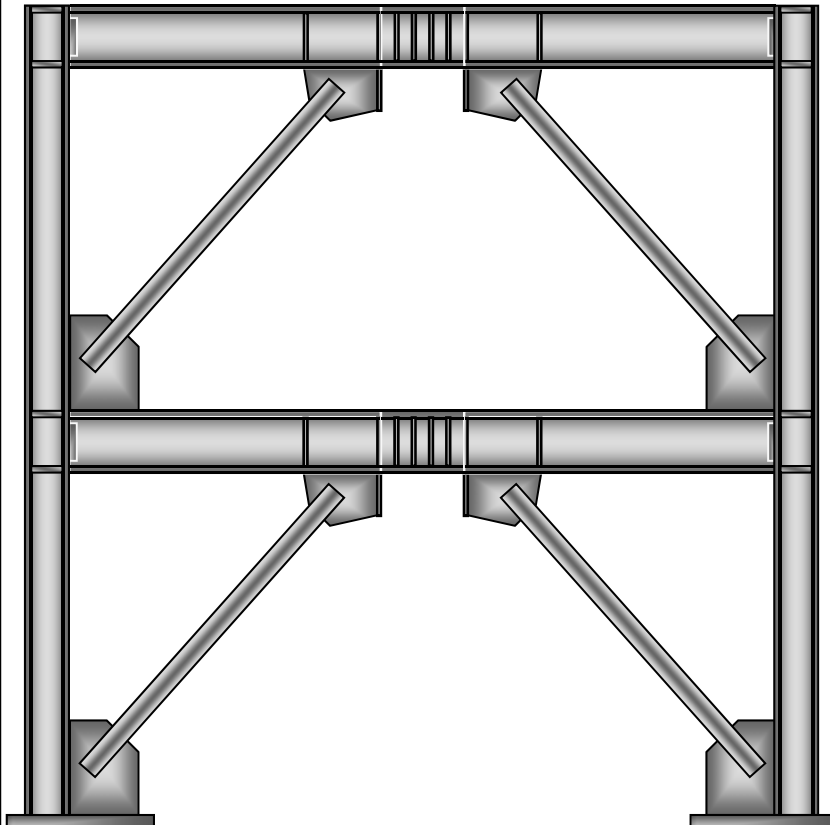
## 15.9 Protected Zone



## 15.6 Diagonal Brace and Beam Outside of Link



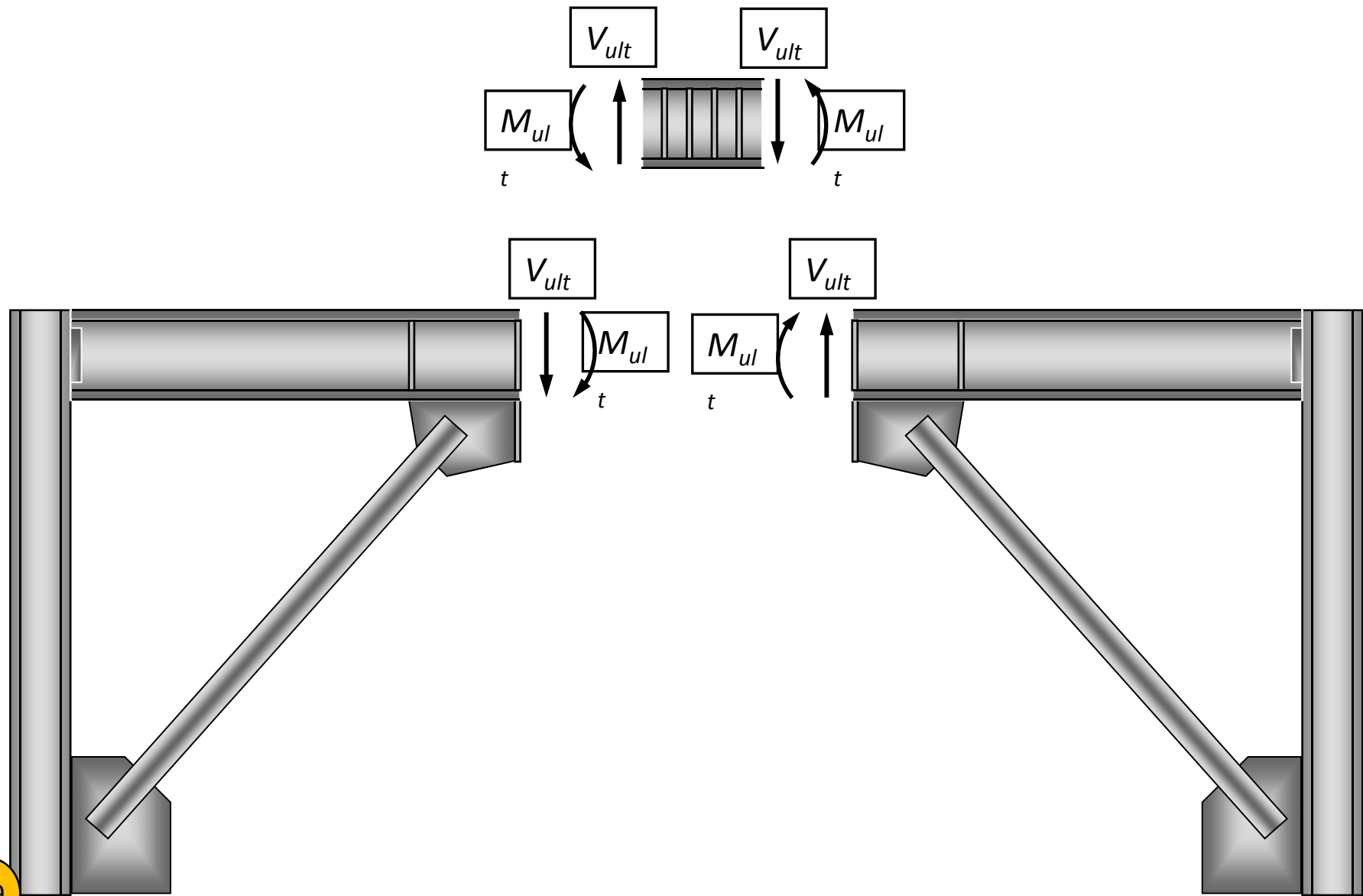
# Design of EBFs



## General Approach

1. Size links for code levels forces.
2. Size all other members and connections for maximum forces that can be generated by links.
3. Estimate ductility demand on links; check that links can supply the required ductility
4. Detail links to supply high ductility (stiffeners and lateral bracing)

## Diagonal Brace and Beam Outside of Link



جدول ۱۰-۳-۱ محدودیت نسبت پهنا به فضای اعضا در اجزای قشاری اعضا با شکل بذیری متوسط و زیاد

مثال‌های نمونه	حداکثر نسبت پهنا به فضای اعضا		نسبت پهنا به فضای اعضا	شرح اجرا	$\frac{b}{t}$
	$\lambda_{\text{yz}}$ اعضا با شکل بذیری زیاد	$\lambda_{\text{zd}}$ اعضا با شکل بذیری متوسط			
					
					
	$0.75 \sqrt{\frac{E}{F_y}}$	$0.75 \sqrt{\frac{E}{F_y}}$	$b/t$	بال‌های مقاطع [شکل نورده و ساخته شده از ورق، نساوچانه ها، سیری ها، سلق بُشی های تک و تبشی های دوبل با فاصله و ساق بر جسته بُشی های دوبل به هم چسبیده]	۱
					
	$0.75 \sqrt{\frac{E}{F_y}}$	کاربرد ندارد	$b/t$	بال‌های مقاطع شعاع های H شکل	۲
	$0.75 \sqrt{\frac{E}{F_y}}$	$D/t$	$b/t$	تغه (جان) مقاطع سیری	۳

### ۱۰-۳-۱۲-۱ محدودیت تیرها، ستون‌ها و مهاربندی‌ها

مقاطع تیرها، ستون‌ها و مهاربندی‌ها باید دارای شرایط زیر باشند.

الف) مقطع تیر پیوند باید از نوع I شکل (نورد شده یا ساخته شده از ورق) یا از نوع قوطی شکل ساخته شده از ورق باشد.

ب) جان (یا جان‌ها) باید از یک ورق تک بدون هر گونه ورق مضاعف در نظر گرفته شود و در آن هیچ گونه بازشویی نباید ایجاد شود.

پ) در تیرهای پیوند ساخته شده از ورق، اتصال جان (یا جان‌ها) به بال تیر باید از نوع جوش گوشة دو طرفه یا جوش شیاری با نفوذ کامل باشد.

ت) تیرهای قوطی شکل ساخته شده از ورق باید دارای شرایط  $I_y > I_x / 67$  باشد که در آن  $I_y$  ممان اینرسی مقطع تیر پیوند حول محور مرکزی در امتداد جان‌های مقطع و  $I_x$  ممان اینرسی مقطع تیر پیوند حول محور مرکزی عمود بر امتداد جان‌های مقطع می‌باشد.

ث) تیرهای پیوند باید دارای مقطع از نوع فشرده لرزه‌ای با محدودیت حداقل نسبت پهنا به ضخامت برابر  $\lambda_{hd}$  مطابق مقادیر جدول ۱۰-۳-۴ باشند.

ج) تیر (با تیرهای) خارج از ناحیه پیوند، اگر دارای مقطع متفاوت با مقطع تیر پیوند باشند، باید دارای مقطع از نوع فشرده لرزه‌ای با محدودیت حداکثر نسبت پهنا به ضخامت برابر  $\lambda_{md}$  مطابق مقادیر جدول ۴-۳-۱۰ باشند.

ج) مقاطع ستون‌های نظیر دهانه‌های مهاربندی باید از نوع فشرده لرزه‌ای با محدودیت حداکثر نسبت پهنا به ضخامت برابر  $\lambda_{md}$  مطابق مقادیر جدول ۴-۳-۱۰ و مقطع بقیه ستون‌ها باید از نوع فشرده باشند

ح) مقاطع مهاربندی‌ها باید از نوع فشرده لرزه‌ای با محدودیت حداکثر نسبت پهنا به ضخامت برابر  $\lambda_{md}$  مطابق مقادیر جدول ۴-۳-۱۰ باشند.

خ) در دو انتهای تیر پیوند در بالهای فوقانی و تحتانی باید مهارهای جانبی تعییه شود. این مهارهای جانبی باید برای نیروی  $P_{bu}$  مطابق رابطه ۱-۶-۳-۱۰ طراح شوند.

## ۹-۱۲-۳-۱۰ اتصالات مهاربندی‌ها

اتصالات مهاربندی‌ها باید دارای شرایط زیر باشند.

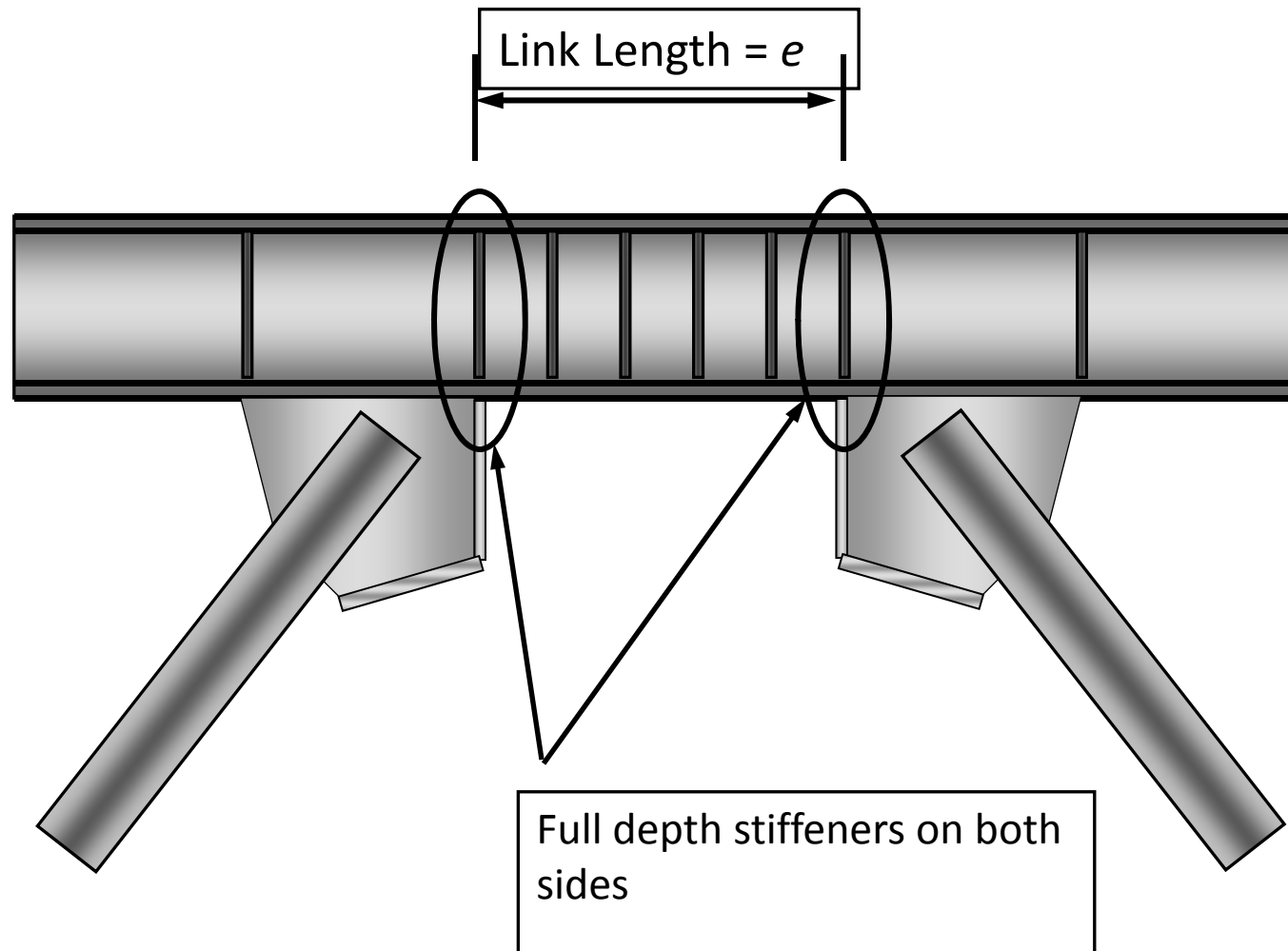
۱. اتصالات مهاربندی‌ها در قاب‌های مهاربندی‌شده واگرا می‌توانند به صورت مفصلی یا گیردار طراحی شوند.
۲. در مواردی که مهاربندی برای تحمل بخشی از لنگر انتهایی تیر پیوند طراحی می‌شود، اتصال مهاربندی به تیر پیوند باید به صورت صلب (گیردار کامل) طراحی شود.

### ۱۰-۱۲-۳-۱۰ سخت‌کننده‌های تیرهای پیوند I شکل

#### الف) سخت‌کننده‌های انتهایی

سخت‌کننده‌های انتهایی در محل اتصال دو انتهای مهاربندی به تیر پیوند باید به صورت یک جفت در دو طرف جان و در تمام ارتفاع آن تعابیه گردند. پهنای هریک از این سخت‌کننده‌ها باید از  $(b_f - t_w)$  و ضخامت آنها باید از  $75t_w$  یا ۱۰ میلی‌متر، کمتر اختیار شود. که در آن،  $b_f$  پهنای بال تیر پیوند و  $t_w$  ضخامت جان مقطع تیر پیوند است.

## 15.3 Link Stiffeners



ب) سخت‌کننده‌های میانی

سخت‌کننده‌های میانی باید دارای شرایط زیر باشند.

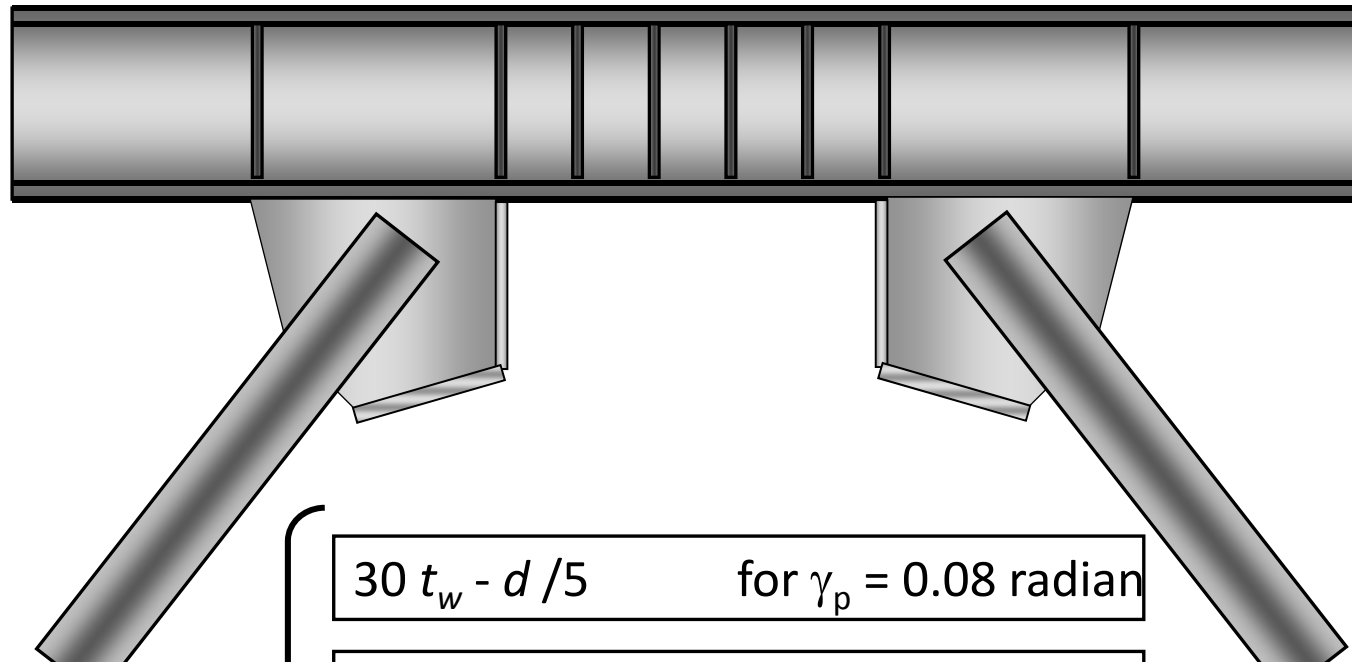
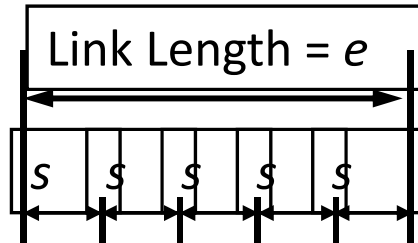
(۱) در مواردی که طول تیر پیوند از  $V_p / M_p = 1/6$  کوچکتر باشد، فاصله سخت‌کننده‌های میانی نباید بیشتر از  $(30t_w - d)/5$  برای تیرهای پیوند با زاویه دوران  $80^\circ$  رادیان و  $(52t_w - d)/5$  برای تیرهای پیوند با زاویه دوران  $20^\circ$  رادیان در نظر گرفته شود. برای تیرهای پیوند با زاویه دوران بین دو مقدار  $20^\circ$  و  $80^\circ$  رادیان می‌توان از درون‌بابی خطی بین دو مقدار مذکور استفاده نمود.

(۲) در مواردی که طول تیر پیوند در محدوده  $2/6 M_p / V_p \leq e \leq 5 M_p / V_p$  باشد، تعبیه یک سخت‌کننده به فاصله  $1/5 b_f$  در هریک از دو انتهای تیر پیوند الزامی است.

(۳) در مواردی که طول تیر پیوند در محدوده  $1/6 M_p / V_p \leq e \leq 2/6 M_p / V_p$  باشد، سخت‌کننده‌های میانی باید الزامات هر دو شرط (۱) و (۲) در فوق را تأمین نمایند.

## 15.3 Link Stiffeners

$e \leq 1.6 M_p / V_p$   
(Shear Yielding Links)



$s \leq$

$$30 t_w - d / 5 \quad \text{for } \gamma_p = 0.08 \text{ radian}$$

$$52 t_w - d / 5 \quad \text{for } \gamma_p = 0.02 \text{ radian}$$

interpolate  $\quad \text{for } 0.02 < \gamma_p < 0.08 \text{ radian}$

(۴) در مواردی که طول تیر پیوند بزرگتر از  $V_p / 5M_p$  باشد، تعییه سختکننده‌های میانی در طول تیر پیوند الزامی نیست.

(۵) سختکننده‌های مورد نیاز در شرایط (۱) تا (۳) در فوق، باید در تمام ارتفاع تیر پیوند تعییه شوند. این سختکننده‌ها در تیرهای با ارتفاع ۶۰۰ میلی‌متر و بیشتر باید به صورت جفت و در دو سمت جان تعییه شوند. در تیرهای با ارتفاع کمتر از ۶۰۰ میلی‌متر می‌توان این سختکننده‌ها را به صورت تکی و در یک سمت جان تیر پیوند تعییه نمود.

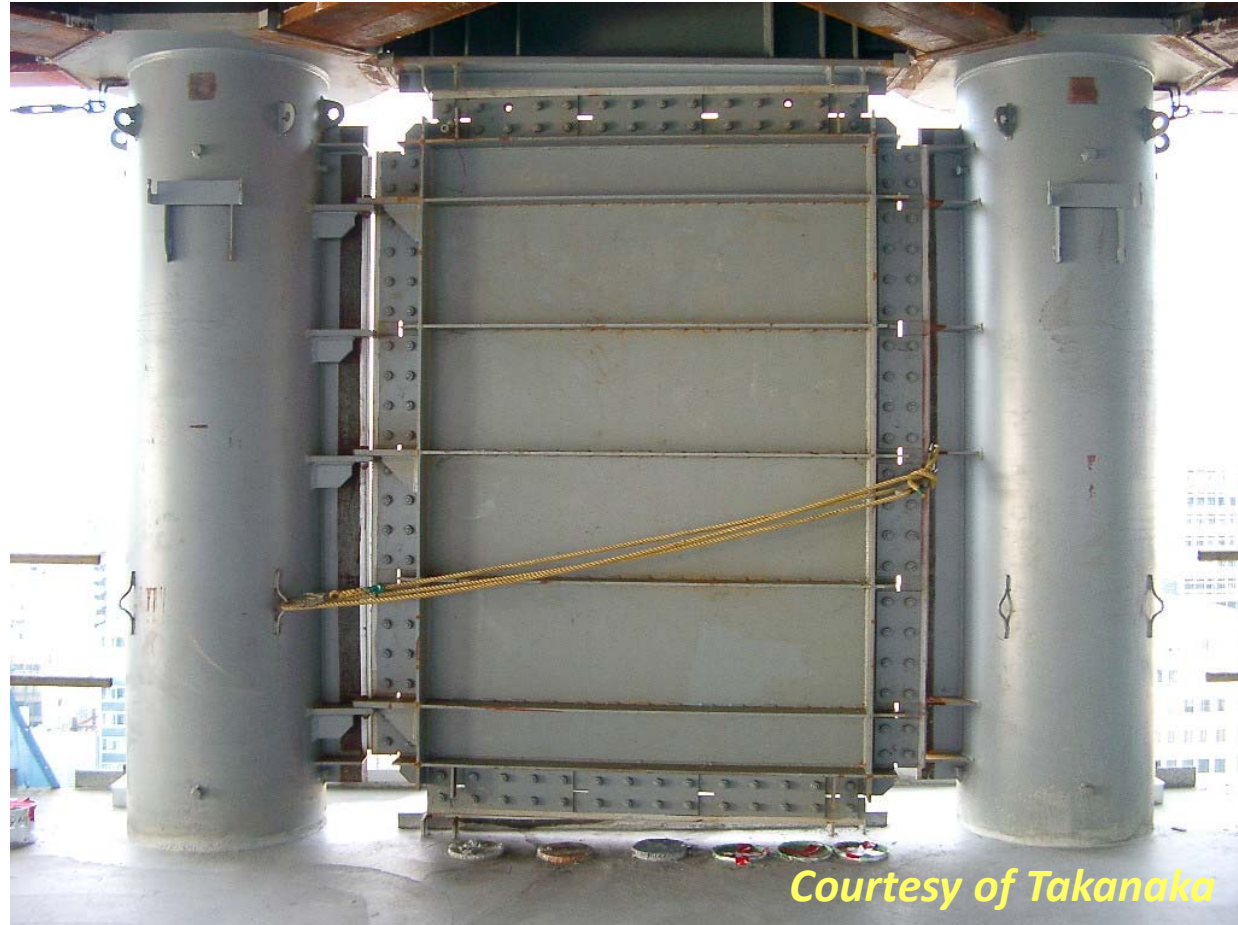
(۶) پهنه‌ای هریک از سختکننده‌ها نباید از  $t_w - \frac{1}{2}b_f$  و ضخامت آنها نباید از  $t_w$  یا ۱۰ میلی‌متر کمتر اختیار شود.

# Design of Seismic-Resistant Steel Building Structures

*Special Plate Shear Walls*



# *Steel plate shear wall panel in Japan: Wall with horizontal panel stiffeners*



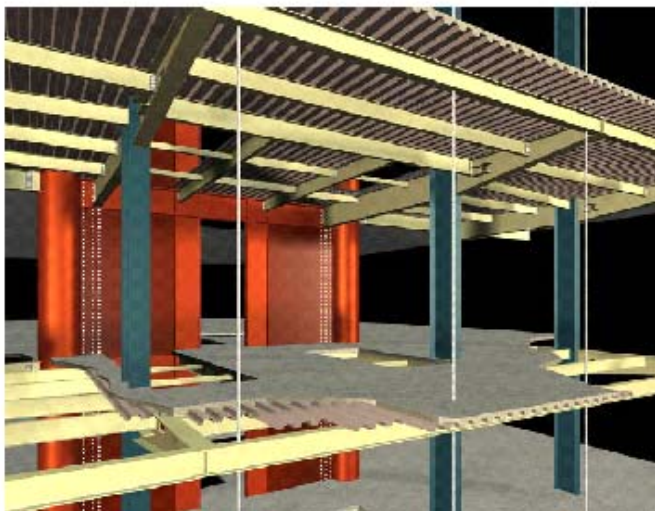
*Courtesy of Takanaka*

# *Steel plate shear wall panel in Japan: Wall with horizontal and vertical stiffeners*



*Courtesy of Nippon Steel*

# *U.S. Federal Courthouse, Seattle*



*Courtesy of John Hooper, MKA Seattle*

□ در طی سه دهه اخیر یک سیستم مقاوم سازه ای جدید مورد توجه قرار گرفته و تحقیقات و مطالعاتی در مورد آن انجام شده است. نام این سیستم، دیوار برشی فولادی است که به اختصار SSW یا spsw نامیده می شود.

□ عملکرد مطلوب ساختمان های مسلح به این سیستم در خلال زلزله های گذشته، انعطاف پذیری بسیار مناسب و قدرت جذب انرژی بالا باعث شد تا از آن در ساختمان های مهمی از جمله بیمارستانها، هتلها، ... بکار گرفته شود.

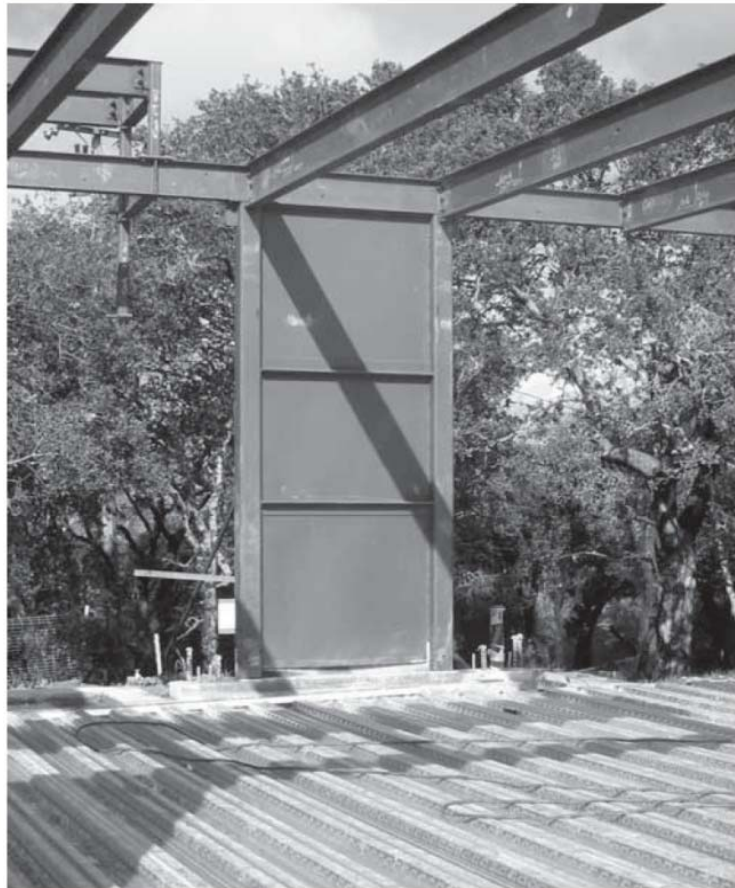
□ اولین کار جدی برای بررسی مقاومت پانلهای برشی پس از کمانش جان آنها ، توسط واگنر در سال 1931 انجام گرفت.

□ بکارگیری دیوارهای برشی فولادی از سال 1970 به بعد در مناطق زلزله خیزی چون کالیفرنیا و ژاپن توسط مهندسین سازه آغاز شد.

- در سالهای 1973 و 1977 تاکاناشی و می مورا و آکیاما تعدادی از اولین آزمایشات را بر روی دیوارهای برشی فولادی به انجام رساندند. و به این نتیجه رسیدند که تئوری تیر قراردادی می تواند جهت محاسبه سختی و مقاومت دیوارهای برشی همراه سخت کننده بکار رود. می مورا و آکیاما علاوه بر انجام یک برنامه آزمایشی، مدلی را برای توصیف رفتار هیسترزیس پانل های دیوار برشی فولادی ارائه نمودند.
- طرح استفاده از دیوارهای برشی فولادی با ورق نازک بر اساس نتایج مطالعات انجام شده بر روی تیر ورق ها اولین بار در دهه 80 میلادی در دانشگاه آلبرتا کانادا توسط کولاك و همکارانش مطرح گردید.
- در سال 1992 رفتار دینامیکی دیوار برشی فولادی و همچنین اثر بازشو در رفتار دیوار برشی فولادی توسط صبوری و رابرتسز بررسی شد. غالی نیز در سال 1993 مطالعاتی در زمینه اثر بازشو در رفتار دیوار برشی فولادی بدون سخت کننده انجام داده است.

## دیوار برشی فولادی (STEEL SHEAR WALL)

- ✓ دیوار برشی فولادی (SSW) یک سیستم ابتکاری است مشابه یک صفحه قائم طرہ ای که برای مقاومت در برابر بارهای جانبی باد و زلزله بکار می‌رود و در دهه های اخیر نوع جدار نازک آن مورد توجه محققین قرار گرفته است.
- ✓ وظیفه اصلی دیوارهای برشی فولادی تحمل برش افقی طبقه و ممان واژگونی حاصل از بارهای جانبی می‌باشد.
- ✓ اساس ایده دیوار برشی فولادی بهره گیری از میدان کشش قطری است که پس از کمانش ورق فولادی در آن ایجاد می‌گردد.
- ✓ بنابراین مقاومت پانل با عمل میدان کششی کنترل می‌گردد بطوریکه وقتی که دیوار برشی در معرض بارهای جانبی قرار می‌گیرد، برش موجود توسط تشکیل میدان کششی قطری که در هر یک از پانل‌ها ایجاد می‌شود تحمل می‌گردد.



دیوار برشی فولادی با سخت کننده

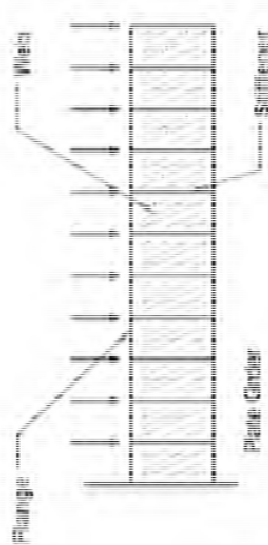
## اجزای اصلی دیوار برشی فولادی □

دیوارهای برشی فولادی از سه جزء اصلی تشکیل شدند :

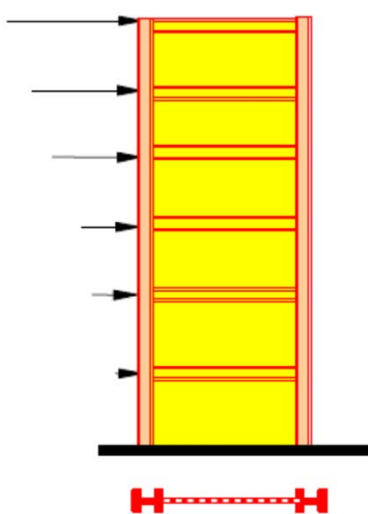
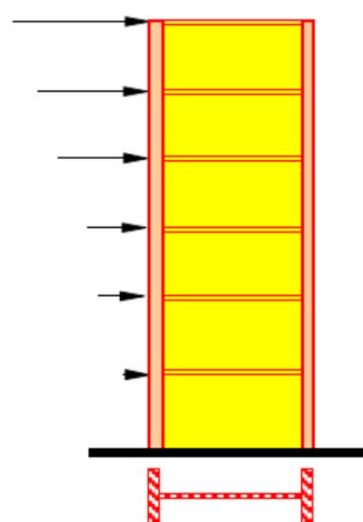
- 1- ورق فولادی
- 2- دو ستون مرزی که به صورت عمودی در اطراف ورق فولادی قرار می گیرند.
- 3- دو تیر افقی که مرزهای بالا و پایین ورق فولادی را تشکیل می دهند.

## عملکرد دیوار برشی فولادی

دیوار برشی فولادی همراه ستونهای مرزی اطراف خود عملکردی مشابه یک تیر ورق دارد : در دیوار برشی فولادی تیرها به عنوان سخت کننده، ستونهای مرزی به عنوان بال و ورق فولادی به عنوان جان تیر ورق عمل می کنند.



ب) تیر ورق



الف) دیوار برشی فولاد

## □ انواع دیوارهای برشی فولادی

دیواربرشی به دو شکل تقویت شده و تقویت نشده اجرا میگردد.

1- تقویت شده (با سخت کننده): در این نوع هدف جلوگیری از کمانش قبل از تسلیم برشی است.

2- تقویت نشده (بدون سخت کننده): در این سیستم اجازه داده میشود که ورق کمانه کند تا از ناحیه کشش قطری جهت حمل برش طبقه استفاده شود.

انواع دیگر آن شامل دیوارهای با ورق فولادی نازک و دیوارهای مرکب با پا بدون بازشو است.

## کمانش صفحه دیوار برشی

از نقاط ضعف دیوار برشی فولادی سخت نشده کمانش صفحه فولادی است.

اثرات عمدۀ کمانش:

- 1- کاهش باربری و سختی
- 2- با ایجاد تغییر شکل زیاد باعث بروز مشکلات معماری نیز می‌گردد.

برای حل این مشکل دو راه حل وجود دارد:

1- استفاده از سخت کننده‌ها :

با وجود اینکه باعث افزایش مقاومت می‌شود ، اما دارای هزینه‌های اجرایی قابل توجه و صرف زمان زیادی می‌باشد.

2- دیوار برشی مرکب :

ترکیب دیوار برشی فولادی همراه با پوشش بتن آرمه در یک یا دو طرف آن است.

## ۱- سخت کننده ها در دیوارهای برشی فولادی

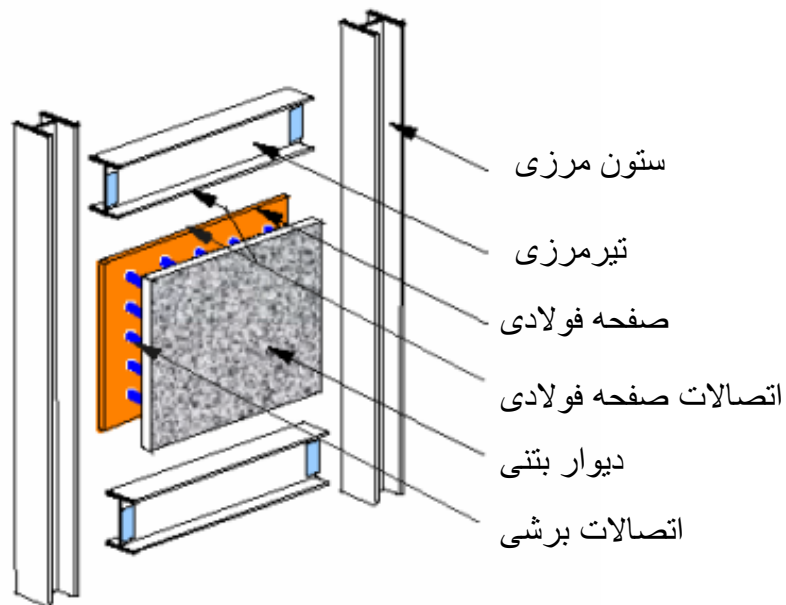
- ❑ محققین زیادی درباره پارامترهای مختلف این سیستم تحقیقاتی انجام داده اند که از آن جمله می‌توان به بررسی تاثیر جنس و خواص ورق، زاویه تشکیل میدان کششی، ضخامت ورق، نسبت عرض به ارتفاع پانل برشی، نحوه اتصال تیر به ستون و وجود سخت کننده و بازشو در ورق اشاره کرد.
- ❑ در آمریکا دیوارهای برشی فولادی هم با سخت کننده و هم بدون سخت کننده ساخته شده اند. در ژاپن تقریباً همه دیوارهای برشی دارای سخت کننده می‌باشند.
- ❑ جوش دادن این سخت کننده ها به صفحات فولادی سبب افزایش مقاومت تسلیم برشی دیوار می‌شود در نتیجه جابجایی جانبی سیستم تقویت شده نسبت به سیستم با صفحات نازک، بدلیل عدم امکان کمانش آن، کمتر است.

## 2- دیوار برشی مرکب ( کامپوزیت )

این نوع دیوار برشی به اختصار (C-SPW) نام گذاری شده است.

با توجه به اینکه دیوار برشی بعد کمانش هم میتواند نیروی قابل توجهی را تحمل کند. رفتار بعد از کمانش ورق که با ایجاد عمل ناحیه کشش در ورق صورت می گردد ، محققین را واداشت که با استفاده از دیوار برشی فولادی بدون سخت کننده، از تمامی ظرفیت دیوار تا رسیدن به گسیختگی هندسی استفاده کنند.

همچنین با ترکیب پوشش بتی به وسیله برشگیر ها به صفحه فولادی از کمانش صفحه جلوگیری می شود.

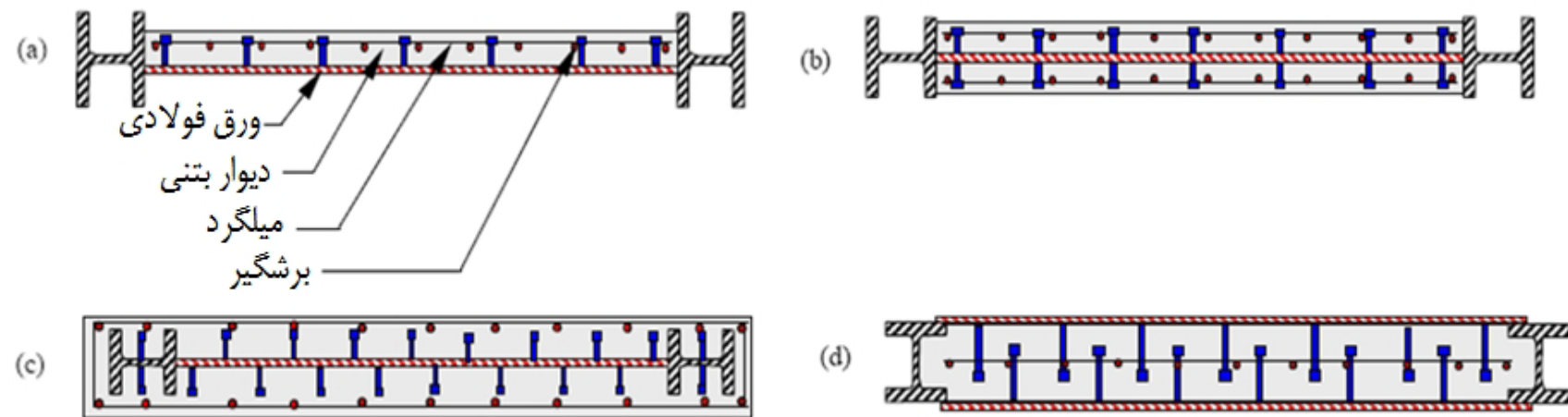


اجزای دیوار برشی مرکب :

در شکل مقابل اجزای دیوار برشی مرکب نشان داده شده است.

## اجرای کامپوزیت دیوار برشی فولادی

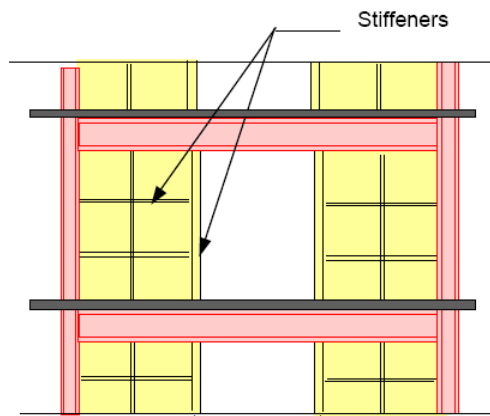
خصوصیات دیوار برشی فولادی را می‌توان با اجرای کامپوزیت آن با دیوارهای بتی بهبود بخشید. در این حالت علاوه بر مشارکت دیوار بتی در سختی و مقاومت سیستم، با تأمین برشگیرها در فواصل مناسب، از کمانش موضعی ورق جلوگیری به عمل آمده و رفتار بهتری برای ورق فولادی حاصل می‌شود. بنابراین این گونه دیوار برشی‌ها می‌توانند در جا و یا پیش ساخته باشد.



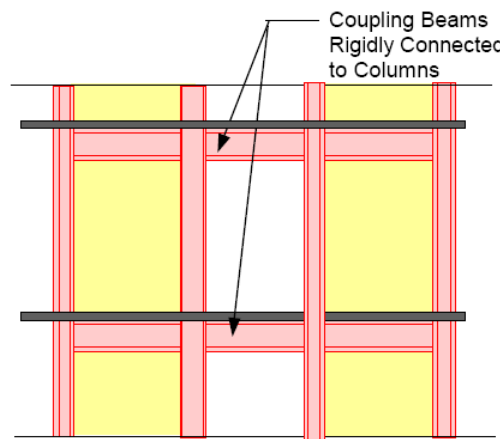
اشکال متداول در اجرای دیوارهای برشی کامپوزیت

## ایجاد بازشو در دیوارهای برشی فولادی

وجود بازشو باعث کاهش ظرفیت نهایی و نامطلوب شدن عملکرد این سیستم‌ها می‌گردد. بنابراین بایستی اطراف بازشو بمانند شکل زیر با سخت کننده‌ها تقویت شوند. باید توجه داشت که در دیوارهای فولادی بدون سخت کننده جهت حفظ پیوستگی اثر میدان کششی، محل بازشو بایستی در قسمت میانی ارتفاع ستونها و در وسط دهانه انتخاب گردد و یا از دو دیوار برشی متصل به یکدیگر بوسیله تیرهای کوپل استفاده شود که این سیستم بسیار انعطاف‌پذیر بوده و رفتار بسیار مطلوبی دارد.



(با سخت کننده)



(با تیرهای کوپل)

## انواع دیوار برشی فولادی با بازشو

در سال 1991 دکتر صبوری و رابرتس در انگلستان آزمایش‌های رفت و برگشتی شبه استاتیکی را روی 16 پانل نازک تقویت نشده در مقیاس کوچک جهت بررسی مشخصات بار- تغییر مکان انجام دادند. اتصالات قاب به صورت مفصلی و اتصال ورق به دیگر اعضاء با استفاده از پیچ انجام شده بود. بعضی از پانلها دارای بازشو بودند. بارگذاری رفت و برگشتی در امتداد قطر جهت ایجاد برش خالص اعمال شد. تمام پانلها شکل پذیری کافی از خود نشان دادند.

حقیقین نتیجه گرفتند که مقاومت و سختی به طور خطی با افزایش در  $(D/d - 1)$  کاهش می‌یابد، که D قطر بازشو و d ارتفاع پانل می‌باشد.

## □ مزایای استفاده از دیوارهای برشی فولادی

(1) این سیستم به دلیل انعطاف پذیری زیاد مستهلك کننده خوبی برای انرژی محسوب می شود و رفتار هیسترزیس پایدار در بارگذاری رفت و برگشتی از خصوصیات این سیستم می باشد.

(2) دیوارهای برشی فولادی دارای سختی داخلی نسبتا بالایی بوده که این باعث محدود کردن حرکت جانبی به شکل بسیار موثری می شود.

(3) در مقایسه با دیوارهای برشی بتی این سیستم بسیار سبکتر بوده که این خود نه تنها باعث تحمیل بارکمتری به ستونها و فونداسیونها می گردد بلکه نیروهای جانبی لرزه ای را نیز کاهش می دهد.

(4) بکارگیری این سیستم سرعت اجرا بالا رفته و در نتیجه هزینه های ساخت کاهش می یابد. همچنین بازرسیهای میدانی و کنترل کیفیت ساخت در این سیستم راحت‌تر صورت می گیرد.

(5) بدلیل ضخامت کم صفحات از نقطه نظر معماری این دیوارها جای خیلی کمتری نسبت به دیوارهای برشی بتی معادل اشغال می کنند.

## □ مقایسه با دیگر سیستم های مقاوم جانبی

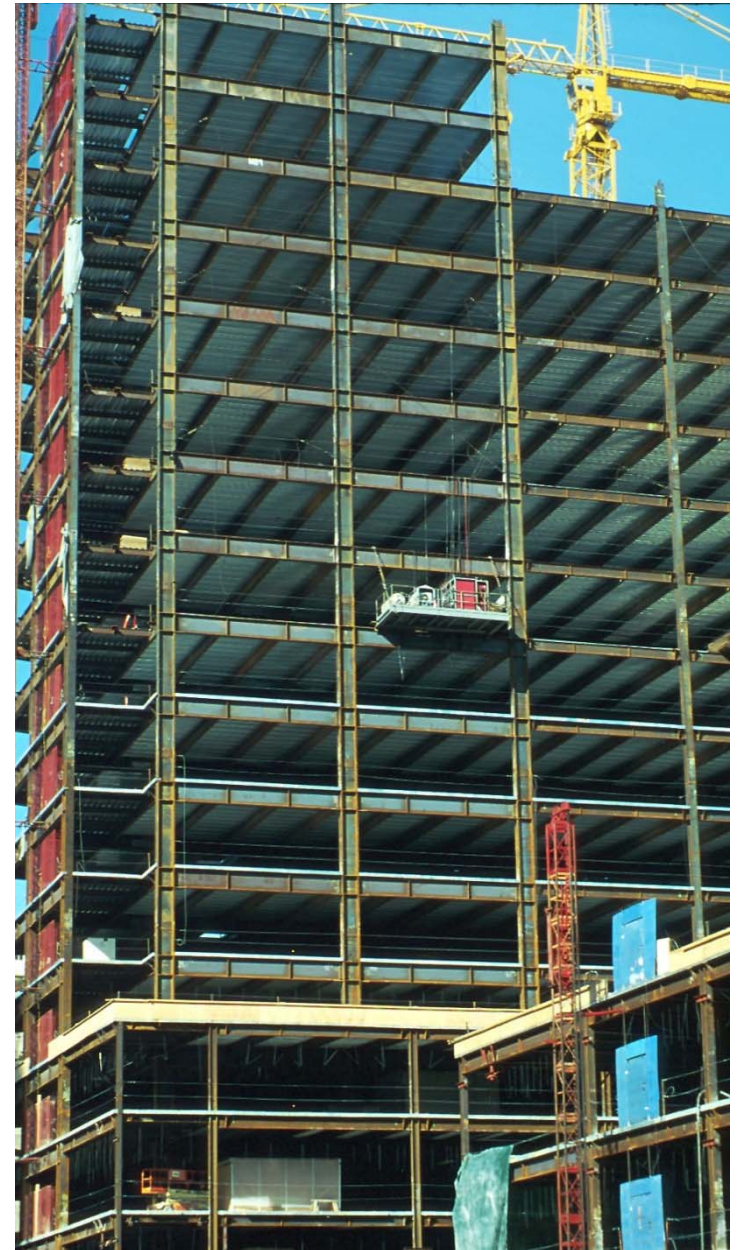
- استفاده از این سیستم در ساختمان های بلند در مقایسه با قابهای فولادی خمثی تا حدود 50% صرفه جویی در مصرف فولاد را دارد.
- سیستم از نظر سختی برشی از سخت ترین سیستم های مهاربندی که X شکل می باشد، سخت تر بوده و با توجه به امکان ایجاد بازشو در هر نقطه از آن، کارائی همه سیستم های مهاربندی را از این نظر دارا می باشد.
- این سیستم در مقایسه با سیستم مهاربندی به دلیل تعديل و توزیع تنش ها از مزایایی همچون عدم شکست اتصالات، در مقایسه با تمرکز تنش ها در محل اتصال مهاربند ها با تیر و ستون و امکان تعویض صفحه پس از وقوع زلزله برخوردار است.
- استفاده از این سیستم نسبت به مشابه بتی، می توان به مواردی همچون کاهش وزن مرده ساختمان و در نتیجه کاهش نیروهای زلزله وارد برآن، افزایش سختی جانبی و در نتیجه کاهش جابجایی بالای آن، کاهش ابعاد تیر و ستون ها و در نتیجه افزایش فضای مفید طبقات و همچنین اجرای سریع و آسان آن اشاره نمود.

## نکات اجرایی دیوار برشی فولادی

- 1- دیوارهای برشی فولادی توسط جوش یا بولت های با مقاومت بالا به قاب متصل می شوند.
- 2- از موارد مهم به کارگیری این روش، طرز قرار دادن دیوارها در ساختمان است. به خاطر عدم پیدایش پیچش باید حتی المقدور دیوارها چه در ارتفاع و چه در پلان بصورت منظم و متقاض قرار گیرند.
- 3- به دلیل وارد کردن وزن به سازه اولیه باید دقیق شود که تنها در قابهای با ظرفیت برشی ضعیف بکار روند و از استفاده بیش از اندازه جلوگیری شود.
- 4- اجرای سیستم بوسیله جوش و یا پیچ سبب می شود که این سیستم نسبت به سیستم دیوارهای برشی بتتی موثر تر بوده و در مناطق سردسیر که استفاده از بتن غیر اقتصادی است می تواند بسیار مفید واقع شود.
- 5- در اجرای این دیوار ها با جوش بدليل نداشتن مشکل تمرکز تنش، نیازی به کنترل دقیق جوش نیست.

# Design of Seismic-Resistant Steel Building Structures

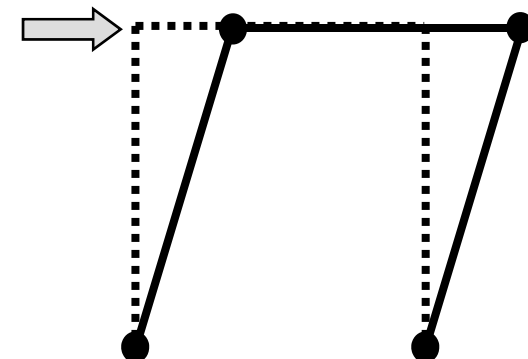
## 2. Moment Resisting Frames



# Achieving Ductile Behavior:

## Understand and Control Inelastic Behavior:

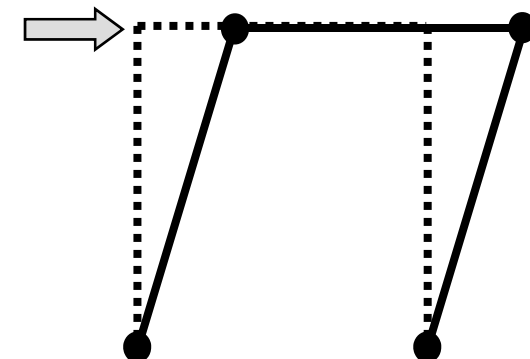
- Choose frame elements ("fuses") that will yield in an earthquake, i.e., choose plastic hinge locations.
- Detail plastic hinge regions to sustain large inelastic rotations prior to the onset of fracture or instability.
- Design all other frame elements to be stronger than the plastic hinge regions.

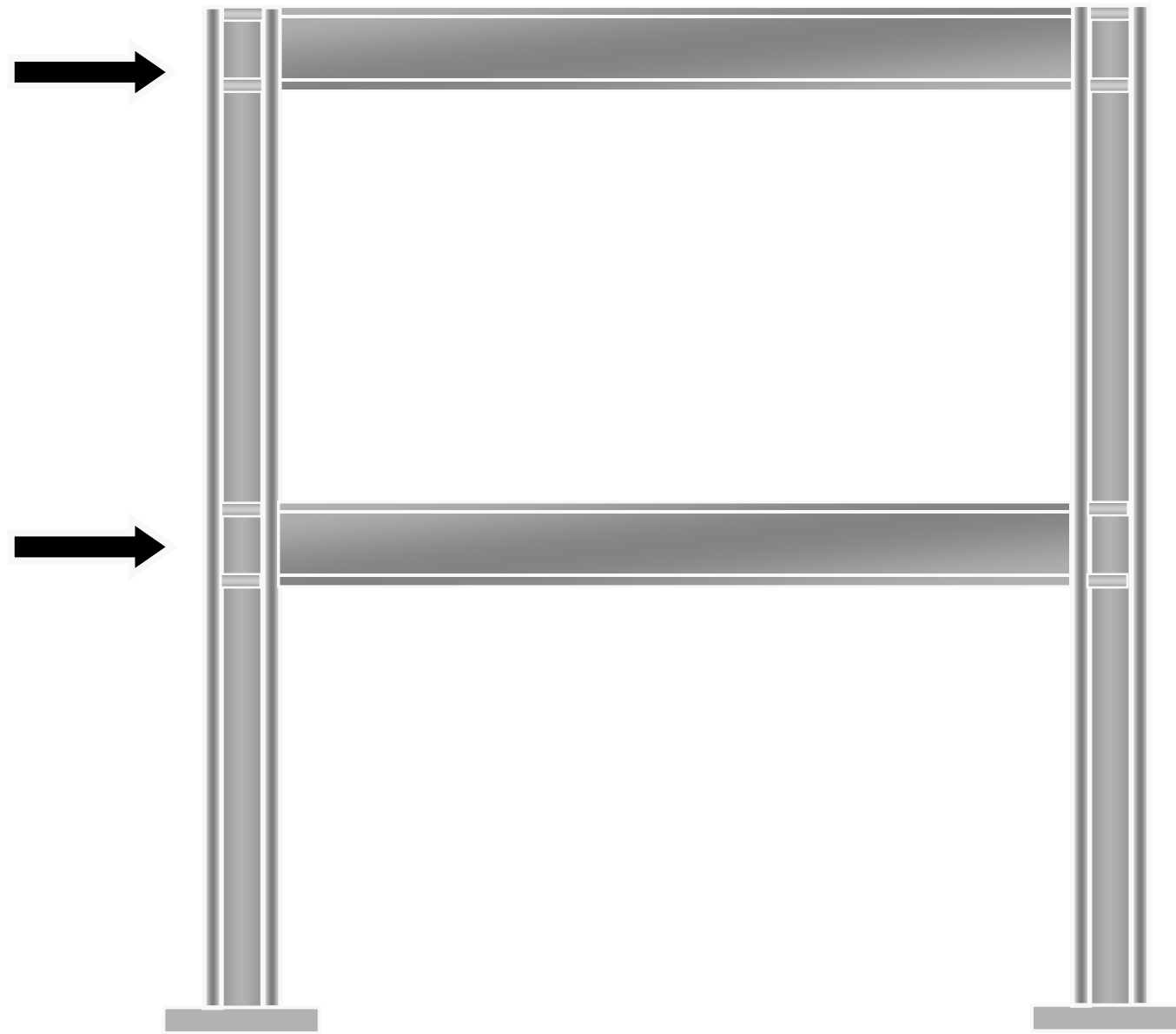


# Achieving Ductile Behavior:

## Understand and Control Inelastic Behavior:

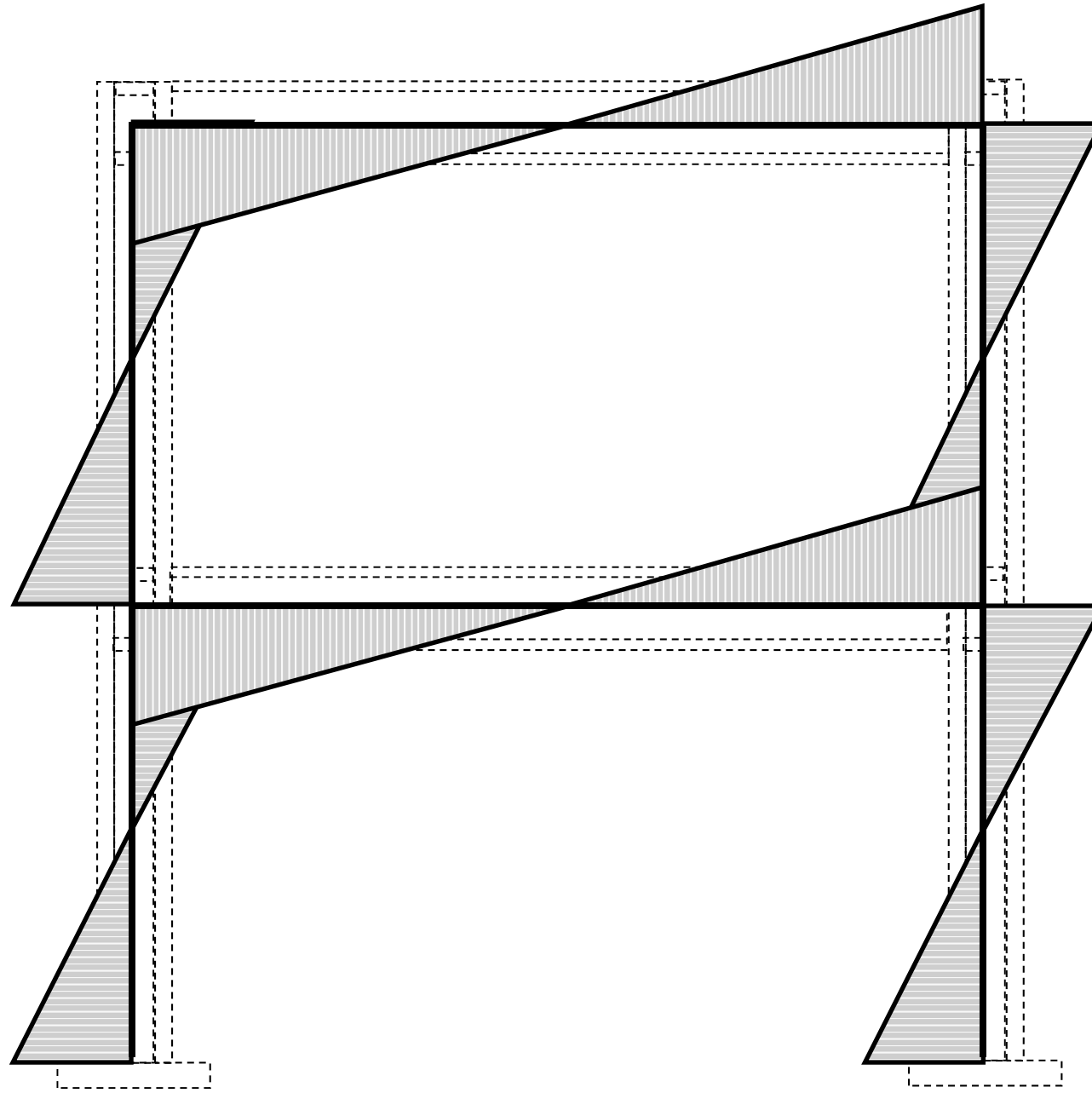
- Choose frame elements ("fuses") that will yield in an earthquake, i.e., choose plastic hinge locations.
- Detail plastic hinge regions to sustain large inelastic rotations prior to the onset of fracture or instability.
- Design all other frame elements to be stronger than the plastic hinge regions.

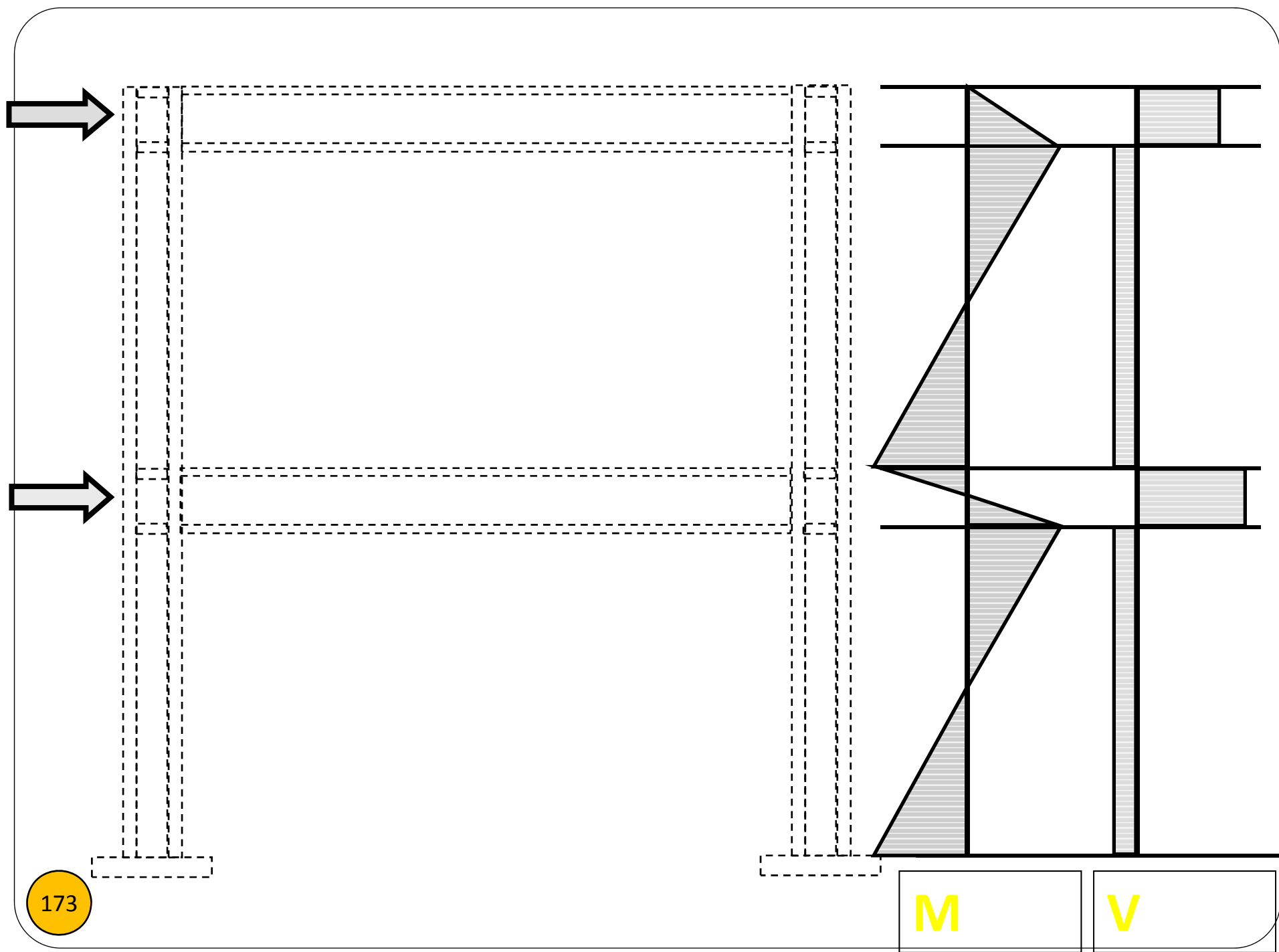




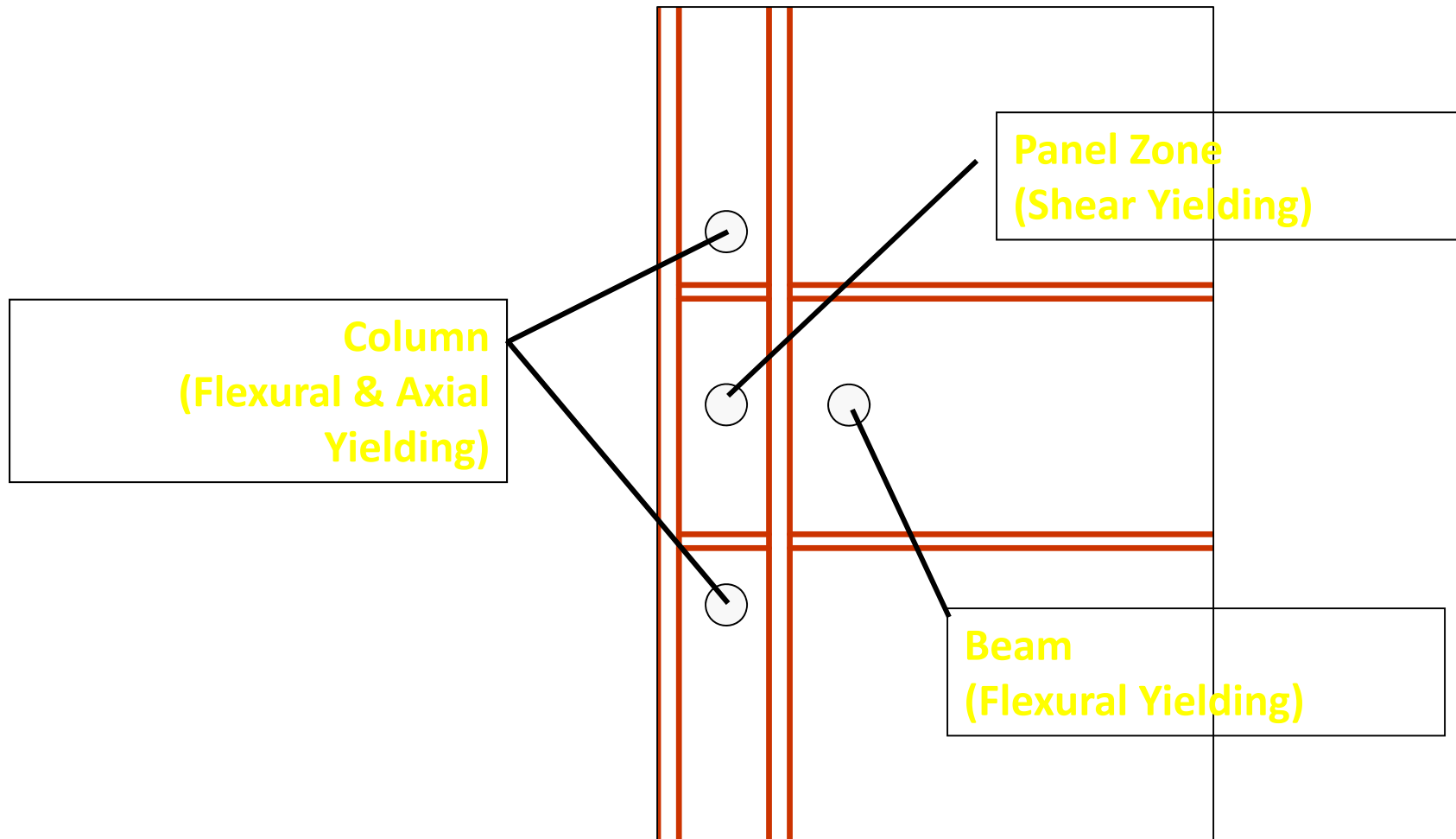
171

Behavior of an MRF Under Lateral Load:  
Internal Forces and Possible Plastic Hinge Locations



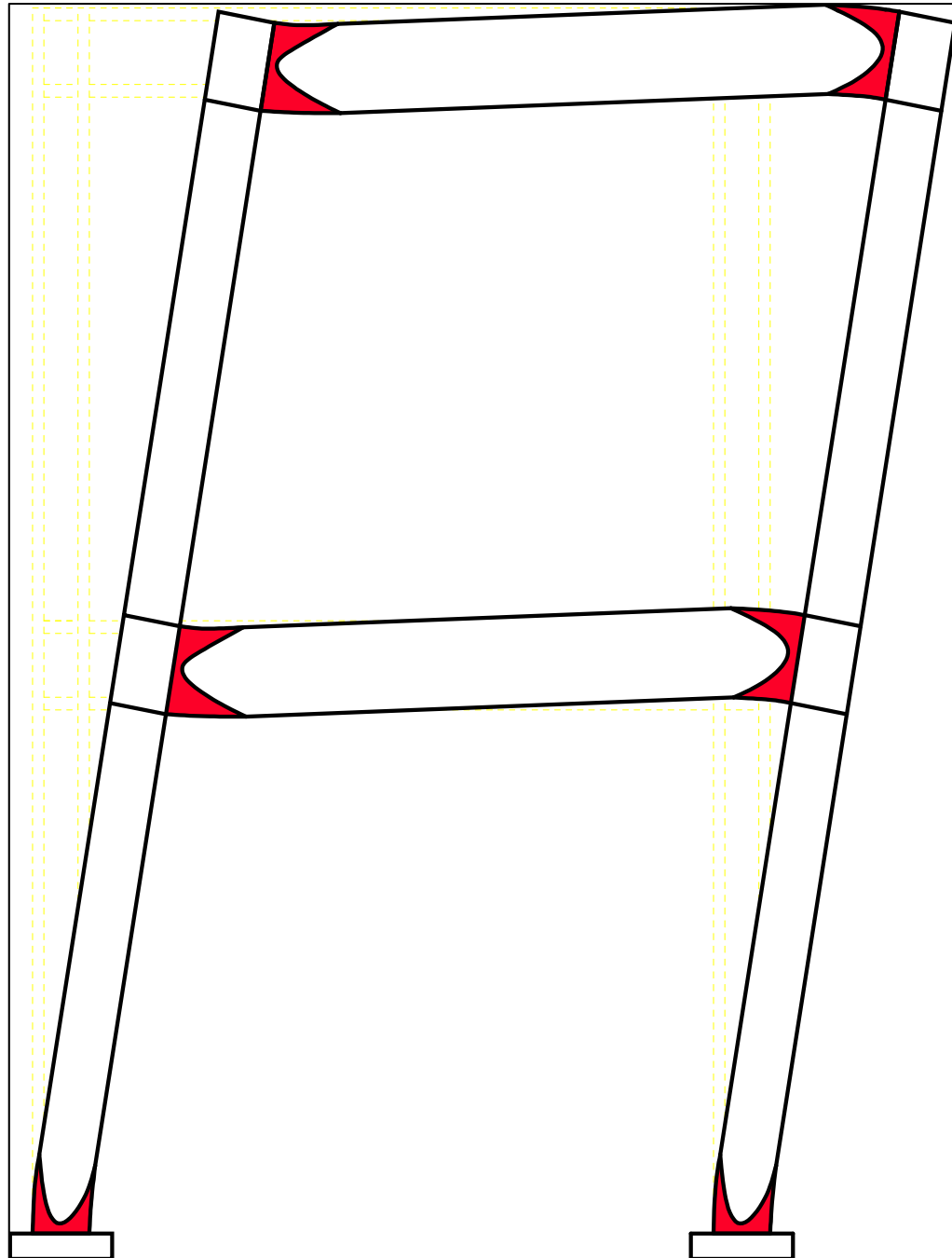


## Possible Plastic Hinge Locations

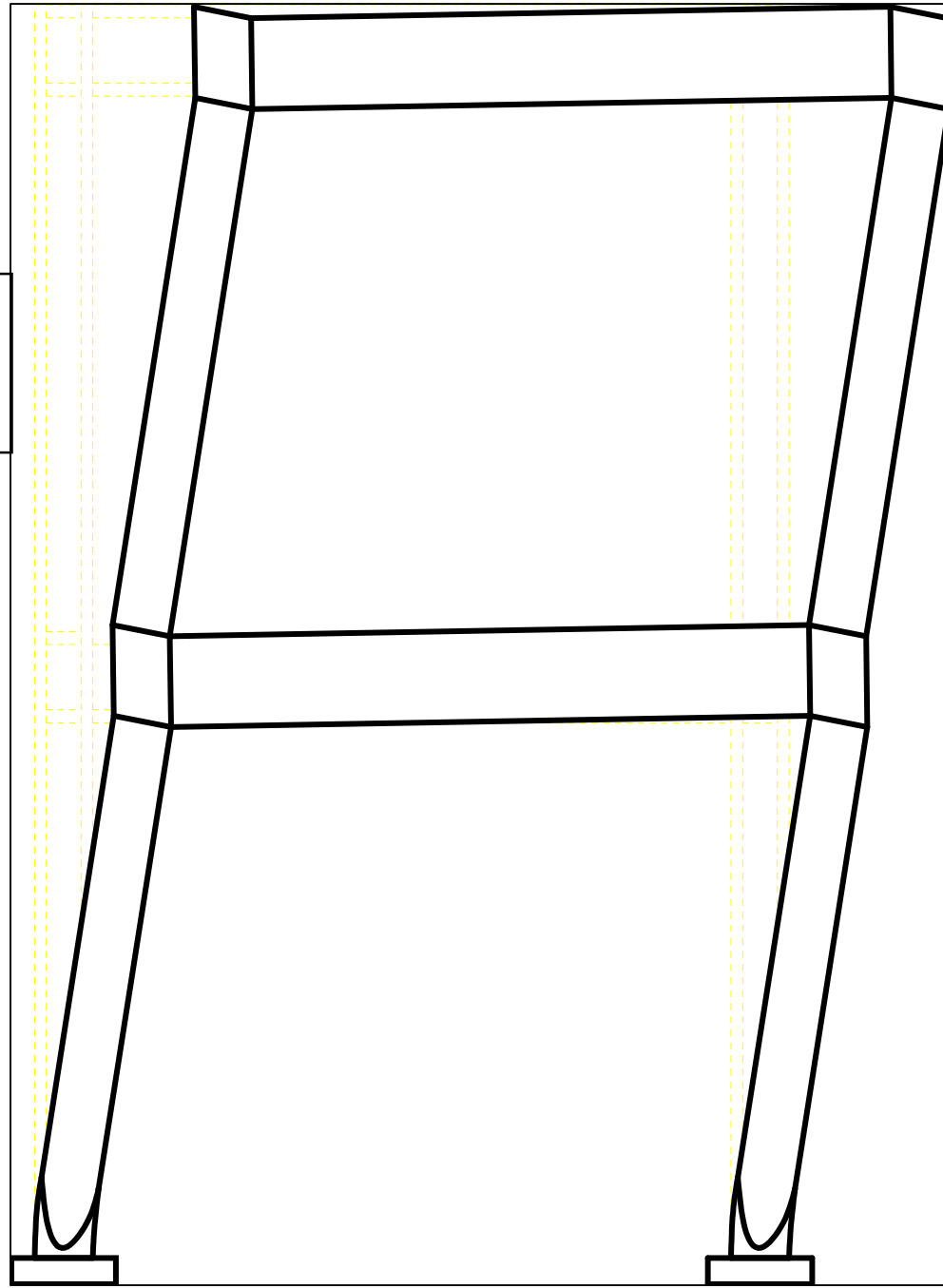


## Plastic Hinges In Beams

175

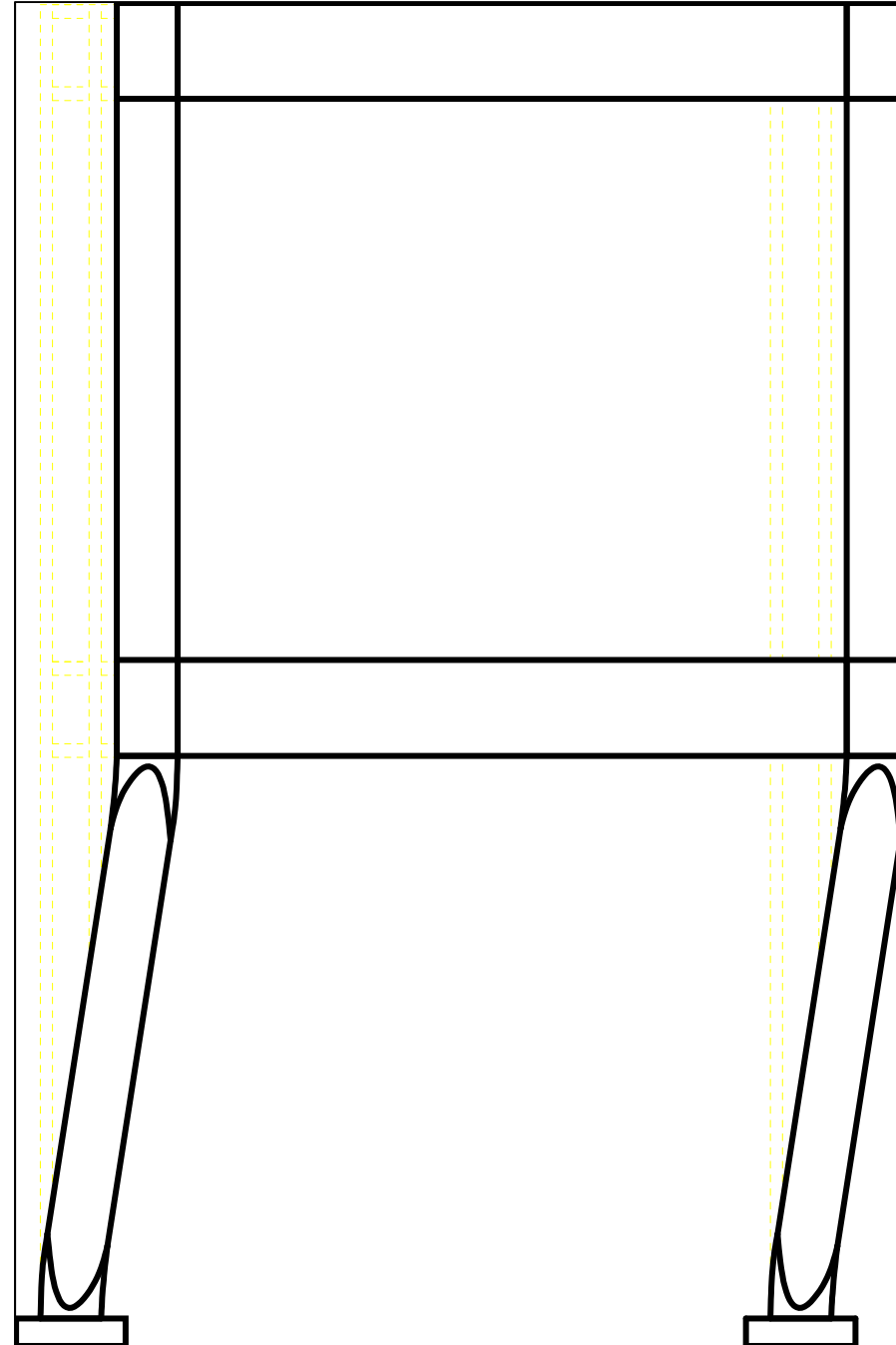


## Plastic Hinges In Column Panel Zones



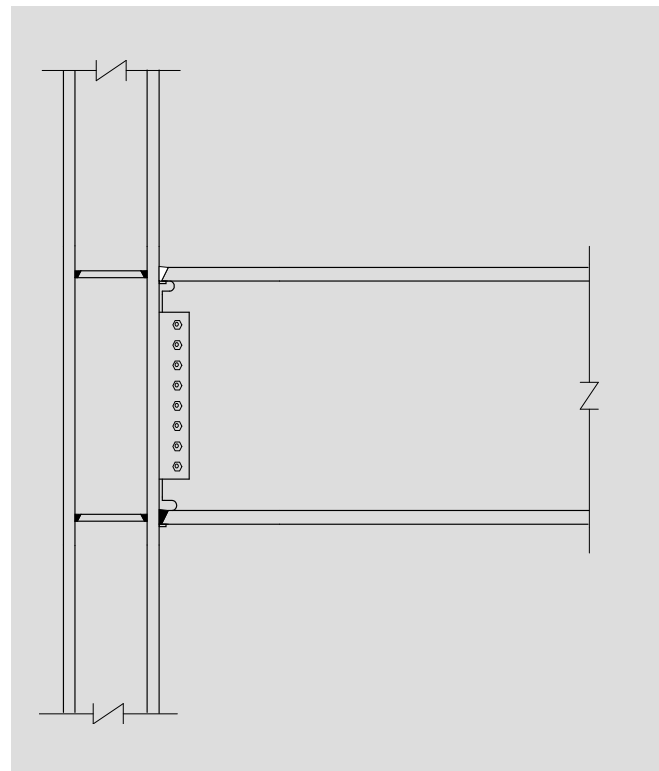
**Plastic Hinges  
In Columns:**

**Potential for Soft Story Collapse**



**Critical Detailing Area for Moment Resisting Frames:**  
**Beam-to-Column Connections**

**Design Requirement:**  
Frame must develop large ductility  
without failure of beam-to-column  
connection.





179



180



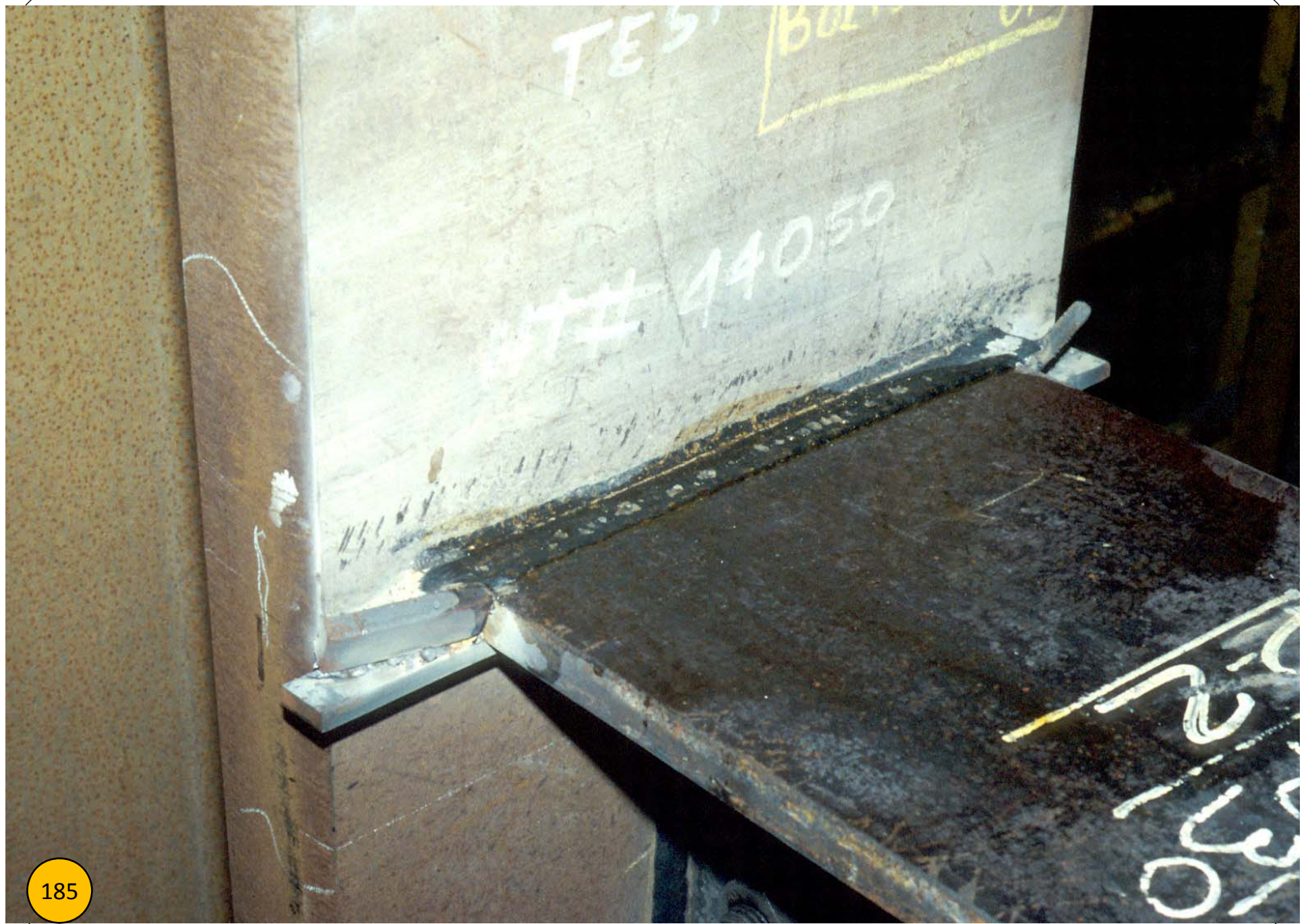
181



182

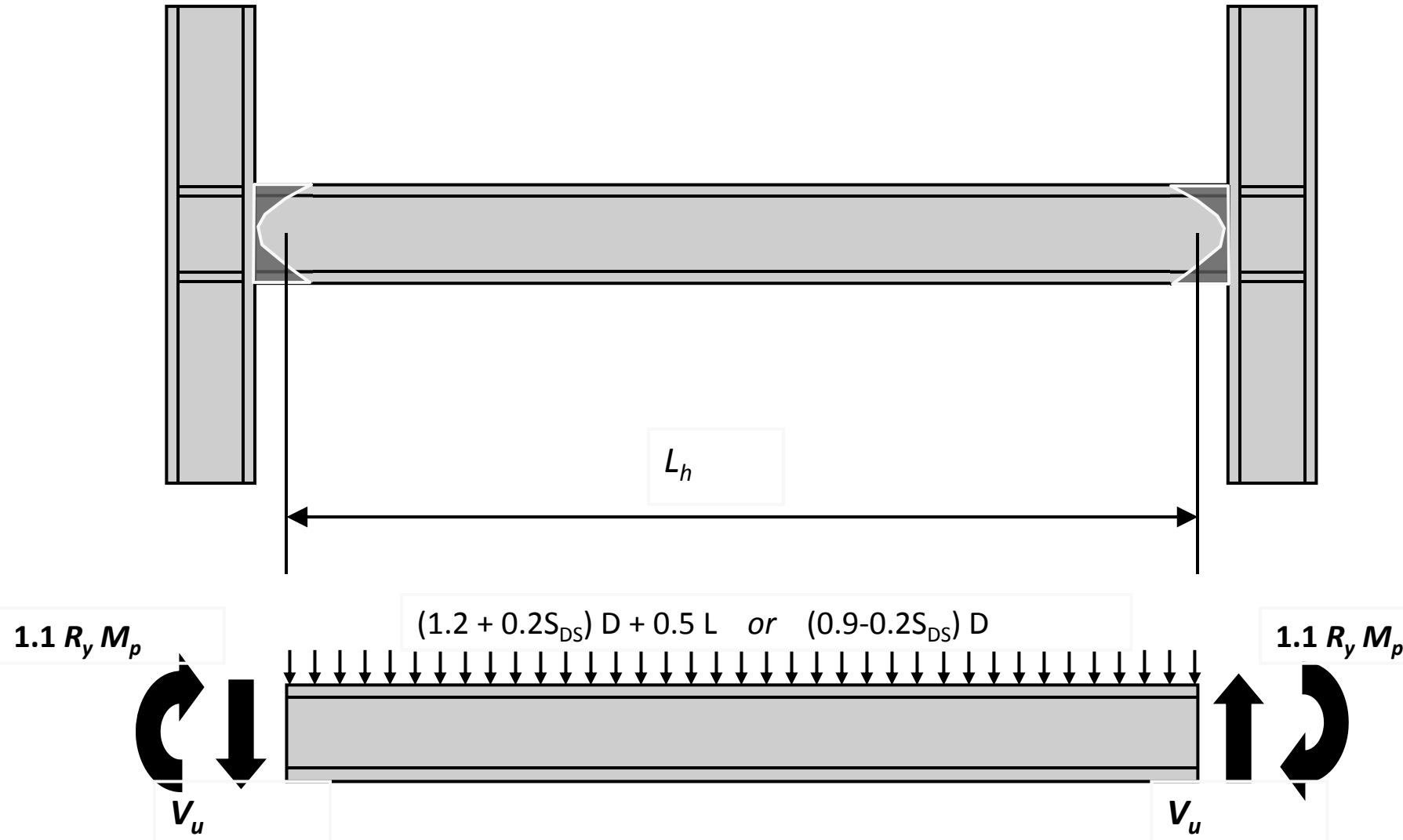




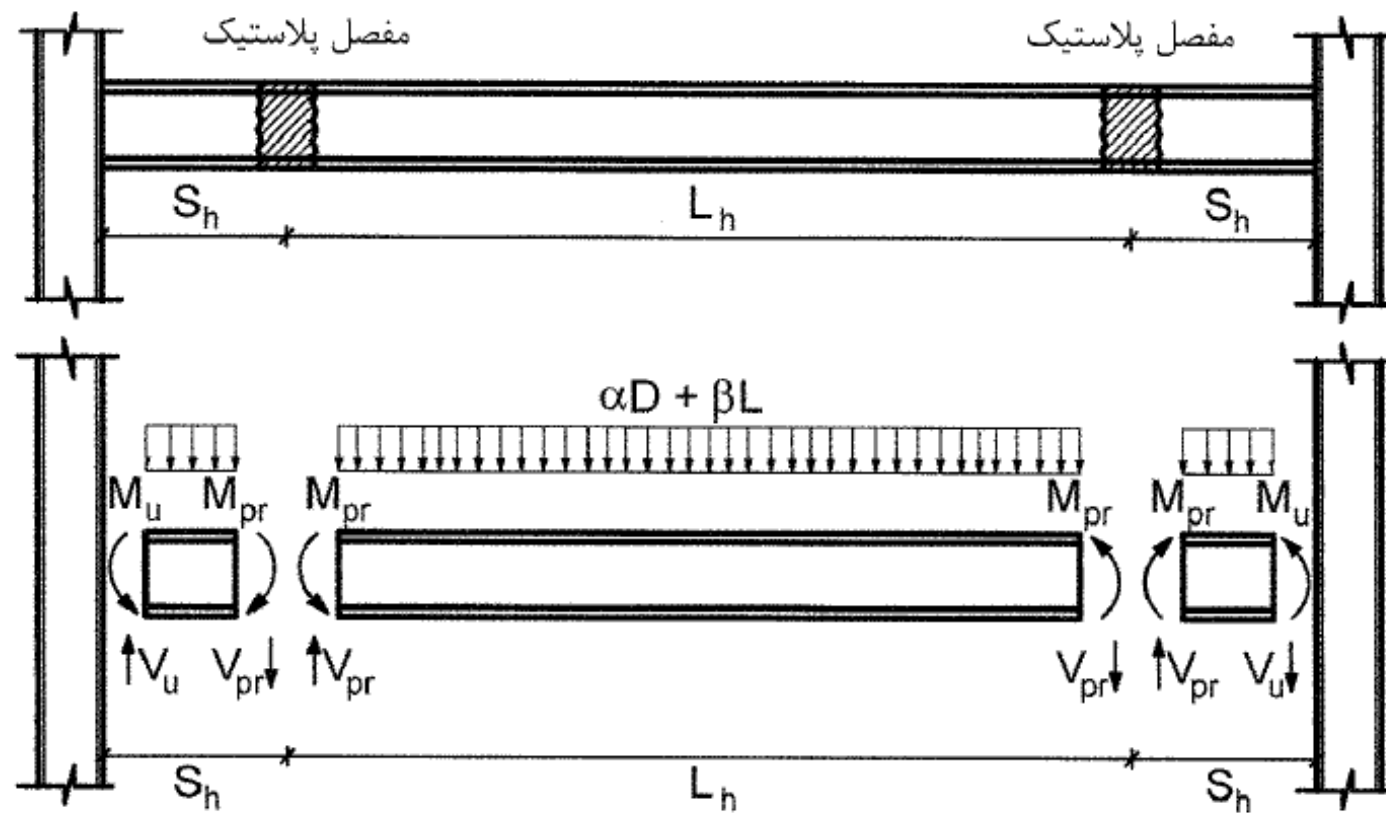




## Required Shear Strength of Beam-to-Column Connection



$$V_u = 2 [ 1.1 R_y M_p ] / L_h + V_{gravity}$$



شکل ۱۰-۳-۱۸ نمودار پیکره آزاد تیرهای برابر جانبی



### ۸-۳-۱۰ الزامات تکمیلی طراحی لرزه‌ای قاب‌های خمشی متوسط

قاب خمشی متوسط به قابی اطلاق می‌شود که در برابر نیروی جانبی زلزله بتواند تغییرشکل‌های فرا ارجاعی محدودی را تحمل کند. در طراحی اعضا و اتصالات این نوع قاب‌ها باید سعی شود که در نزدیکی دو انتهای تیر مفصل‌های پلاستیک تشکیل شوند و ظرفیت دورانی آنها به حدی باشد که دوران نظیر تغییرمکان جانبی نسبی طبقه حداقل به  $2/0^{\circ}$  رادیان برسد که حدود  $1/0^{\circ}$  رادیان آن در ناحیه فرا ارجاعی باشد.

### ۱۰-۳-۸-۱ محدودیت تیرها و ستون‌ها

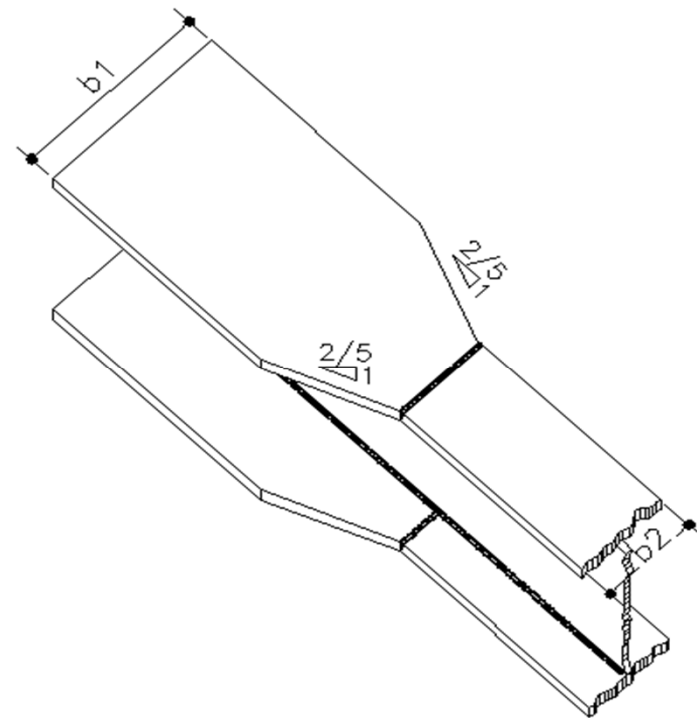
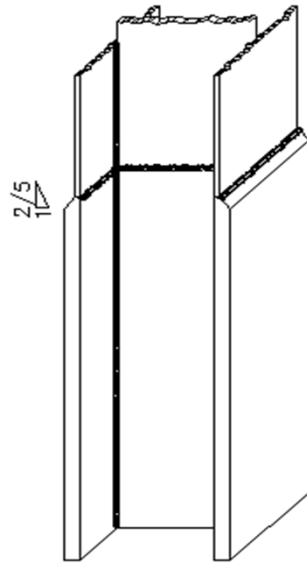
تیرها و ستون‌ها در قاب‌های خمشی متوسط باید دارای شرایط زیر باشند.

الف) مقاطع تیرها و ستون‌ها باید از نوع فشرده لرزه‌ای با محدودیت حداکثر نسبت پهنا به ضخامت برابر  $\lambda_{md}$  مطابق مقادیر جدول ۱۰-۳-۴-۱ باشند.

ب) استفاده از ستون‌های با مقاطع متشكل از چند نیم‌رخ بست‌دار مجاز است، مشروط بر آنکه خمش در ستون حول محور با مصالح باشد.

پ) استفاده از تیرهای با جان سوراخ‌دار متوالی (لانه زنبوری) به عنوان اعضای برابر جانبی مجاز نیست. در صورت لزوم ایجاد سوراخ دسترسی در جان تیر، این سوراخ باید خارج از ناحیه حفاظت‌شده دو انتهای تیر و در نیمه میانی طولی دهانه تیر قرار گیرد. اطراف سوراخ باید به نحوی تقویت شود که مقاومت برشی و خمشی تیر به طور کامل فراهم گردد.

ت) در ناحیه حفاظت‌شده دو انتهای تیر، ایجاد هر گونه تغییر ناگهانی در پهناهی بال یا ضخامت بال مجاز نمی‌باشد. تغییر تدریجی در پهنا یا ضخامت از ورق بزرگتر به ورق کوچکتر، باید با شیب حداکثر ۱ به ۲/۵ صورت گیرد.



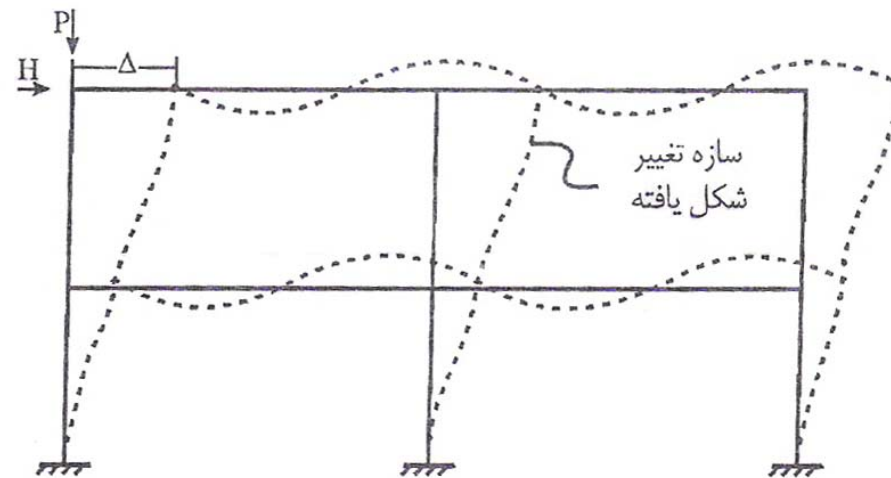
تغییر تدریجی ابعاد مقطع در وصله، با شیب 2/5 : 1



## ( Moment Frame System)

## سیستم قاب خمشی

- وظیفه اصلی تیرها و سروزها تمدنل بارهای ثقلی و بارهای جانبی بطور تواه می باشد.
- سختی خمشی تیرها در پایداری سیستم شرکت خواهد کرد.



شکل ۱-۱: تغییر شکل قاب صلب خمشی

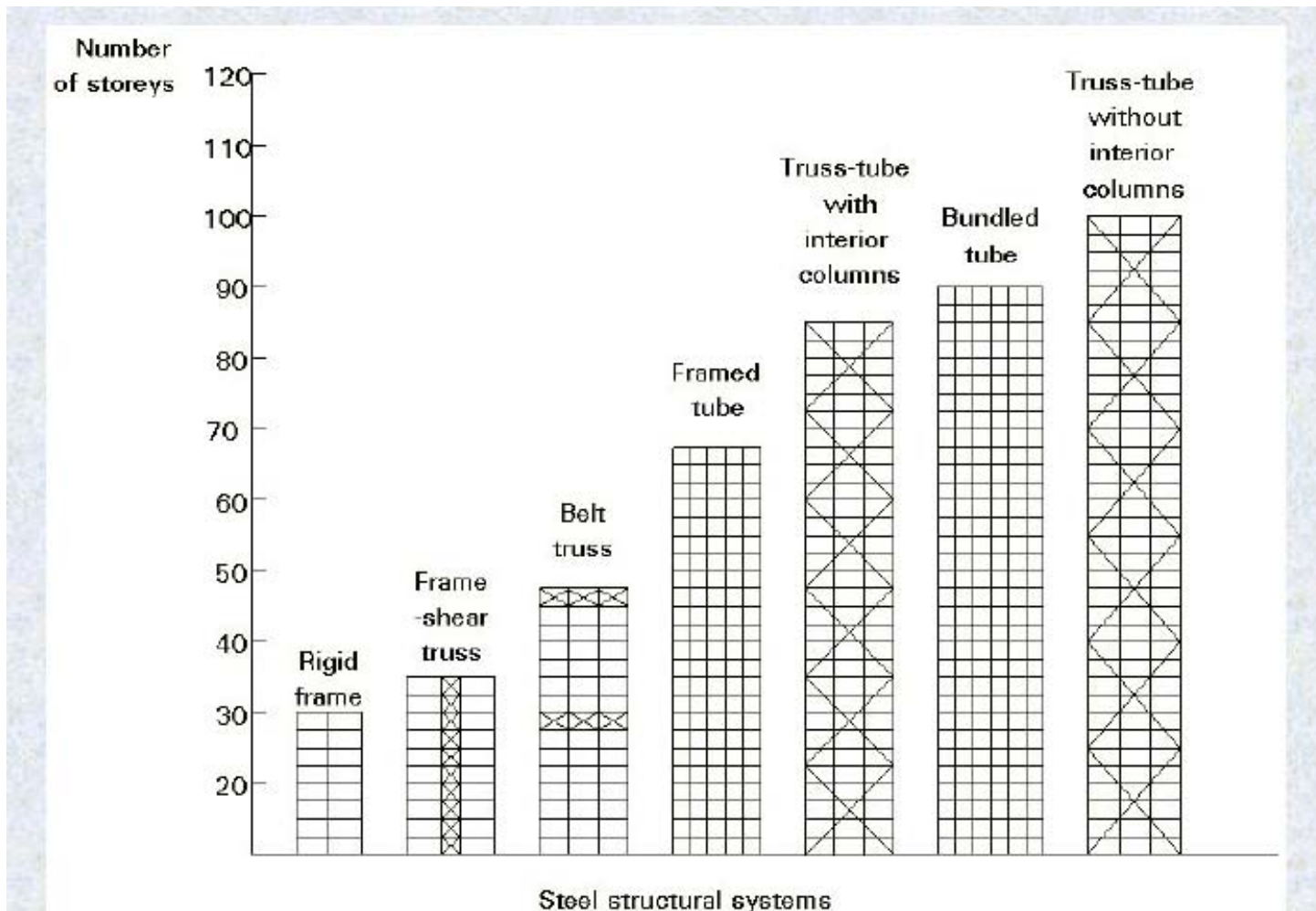


Figure 7 Steel structural systems and the number of storeys

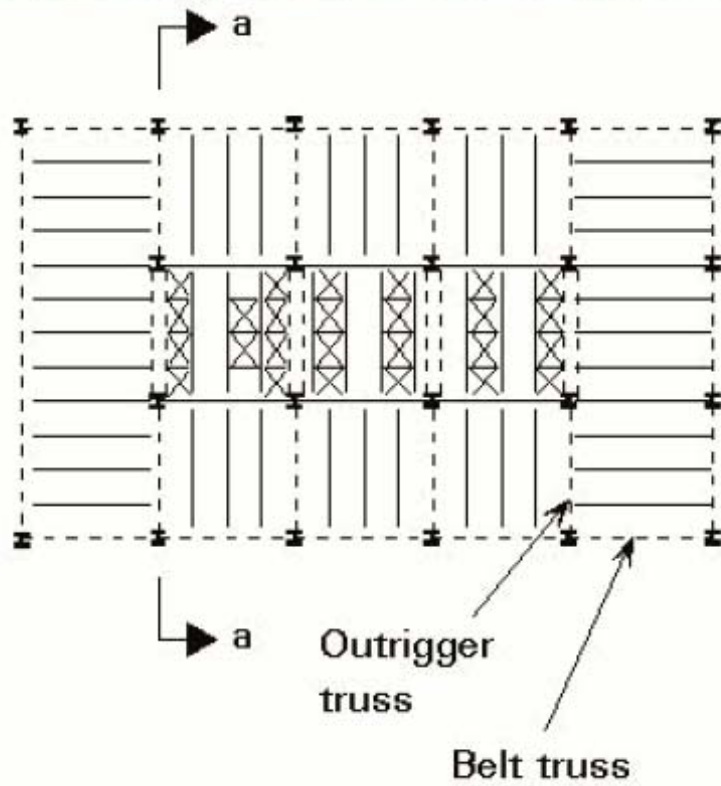
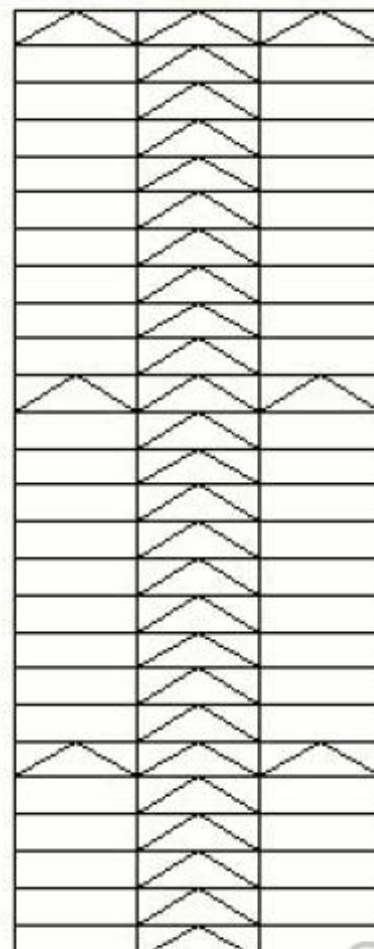
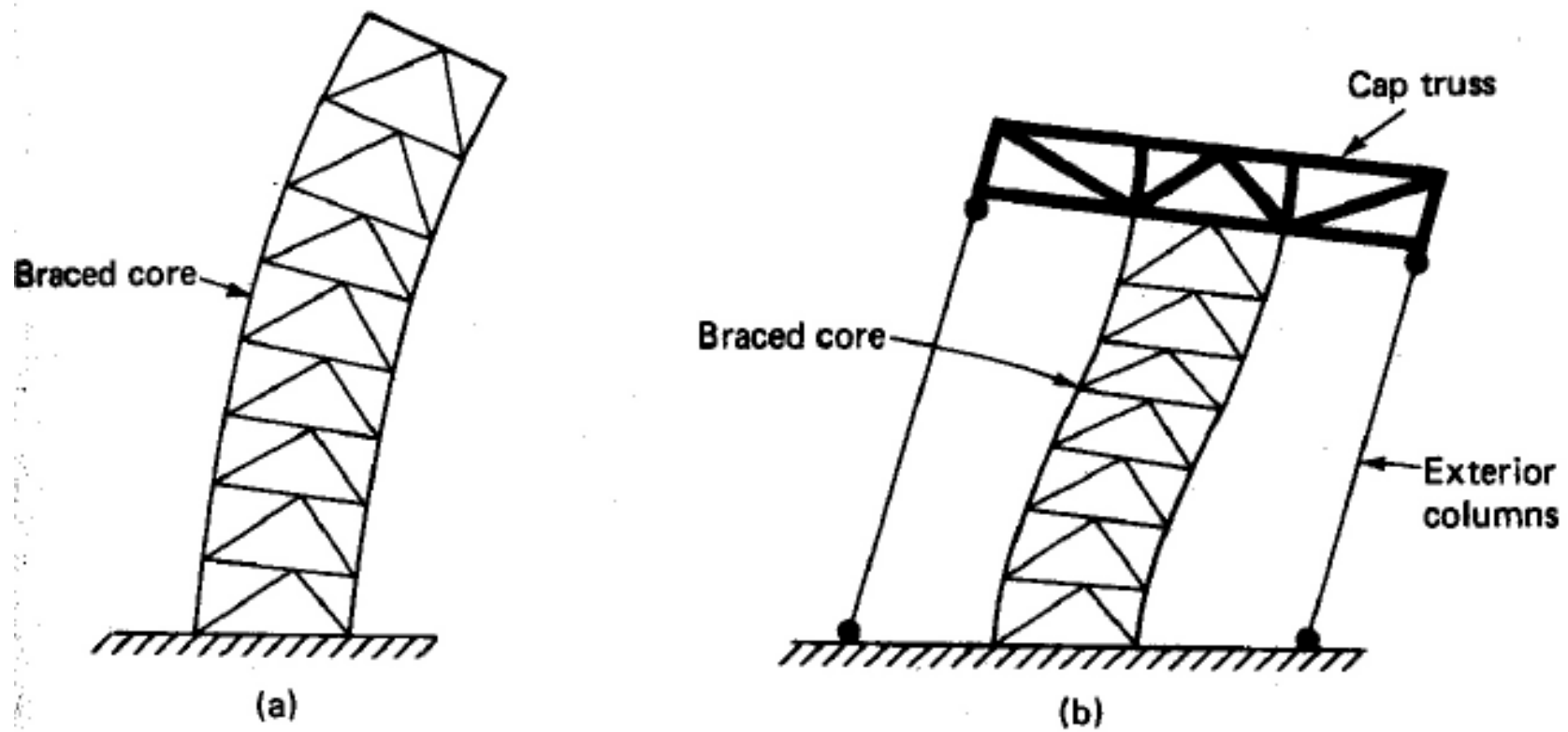


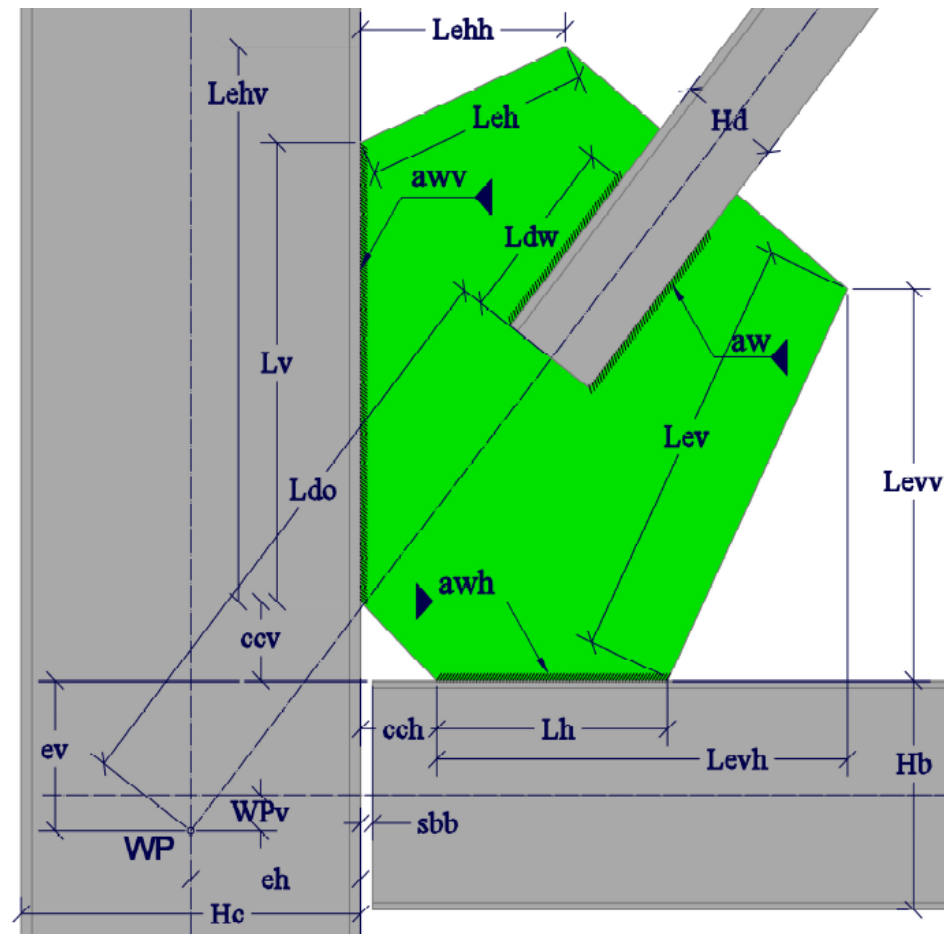
Figure 4 Belt-outrigger truss system



Section a-a



**Figure 4.27** (a) Cantilever deflection of core; (b) reversed curvature induced by cap and belt trusses.



### ۳-۱۰ الزامات طراحی لرزه‌ای

#### ۳-۲-۳-۱۰ ضریب $R_y$ تولیدات فولاد

طبق تعریف، ضریب  $R_y$  عبارت است از نسبت تنش تسلیم مورد انتظار به حداقل تنش تسلیم تعیین شده، که به منظور در نظر گرفتن افزایش مقاومت مورد نیاز باید در محاسبات مدنظر قرار گیرد. کاربرد ضریب  $R_y$  در محاسبات لرزه‌ای سازه‌های با شکل پذیری مختلف در بخش‌های مربوطه ارائه شده است. مقدار ضریب  $R_y$  از رابطه زیر تعیین می‌شود.

$$R_y = \frac{F_{ye}}{F_y} \quad (1-2-3-10)$$

که در آن:

$F_y$  = تنش تسلیم تعیین شده فولاد

$F_{ye}$  = تنش تسلیم مورد انتظار فولاد

ضریب  $R_y$  اساساً برای انواع تولیدات فولاد متفاوت بوده و به عوامل متعددی نظیر شکل مقاطع، افزودنی‌های به کار رفته در طی روند تولید فولاد در کارخانجات بستگی دارد. مطابق مقررات این مبحث ضریب  $R_y$  باید به شرح جدول ۱-۲-۳-۱۰ در نظر گرفته شود.

جدول ۱-۲-۳-۱۰ مقدار  $R_y$  برای انواع تولیدات فولاد

$R_y$	نوع محصول
۱/۲۵	مقاطع لوله‌ای و قوطی‌شکل نورده شده
۱/۲۰	سایر مقاطع نورده شده شامل مقاطع I شکل، H شکل، ناودانی، نیشی و سپری
۱/۱۵	مقاطع ساخته شده از ورق، ورق‌ها و تسممه‌ها



محاسبه نیروهای اتصال تیر به ستون برای قاب خمشی متوسط و ویژه	
اطلاعات اولیه	
$V_D$	برش ناشی از بار مرده در محل اتصال تیر به ستون
$V_L$	برش ناشی از بار زنده در محل اتصال تیر به ستون
$V_S$	برش ناشی از بار برف در محل اتصال تیر به ستون
$M_D$	لنگر ناشی از بار مرده در محل اتصال تیر به ستون
$M_L$	لنگر ناشی از بار زنده در محل اتصال تیر به ستون
$M_S$	لنگر ناشی از بار برف در محل اتصال تیر به ستون
$V_D^H$	برش ناشی از بار مرده در محل مفصل پلاستیک
$V_L^H$	برش ناشی از بار زنده در محل مفصل پلاستیک
$V_S^H$	برش ناشی از بار برف در محل مفصل پلاستیک
$M_D^H$	لنگر ناشی از بار مرده در محل مفصل پلاستیک
$M_L^H$	لنگر ناشی از بار زنده در محل مفصل پلاستیک
$M_S^H$	لنگر ناشی از بار برف در محل مفصل پلاستیک
$S_h = 65.0 \text{ cm}$	فاصله مفصل پلاستیک تا بر ستون
$L_h = 416.0 \text{ cm}$	فاصله بین مفاسد پلاستیک تیر
$Z_b = 1956.25 \text{ cm}^3$	اساس مقطع پلاستیک تیر
$M_p = Z_b F_y = 46.95 \text{ t.m}$	لنگر پلاستیک تیر
$R_y = 1.15$	مطابق با جدول ۱۰-۳-۲-۱

توجه: محاسبه نیروها بر اساس انتقال نیروها از محل مفصل پلاستیک به محل اتصال تیر به ستون انجام می‌شود.

آیین نامه های بارگذاری بیان میکنند که اگر بار زنده طبقات کمتر از ۵ کیلونیوتن بر متر مرتع باشند (به استثناء کف پارکینگها یا محلهای اجتماع عمومی)، در ترکیبات بارگذاری ضریب بار زنده را بجای ۱ می‌توان ۰.۵ قرار داد.

نیروی برشی ناشی از بارهای ثقلی در محل مفصل پلاستیک :

$$\begin{cases} V_{gravity}^H = \max(1.2V_D^H + 0.5V_L^H + 0.2V_S^H; 0.9V_D^H) & V_{gravity}^H = -1.86 \text{ ton} \\ V_{gravity}^H = \max(1.2V_D^H + 1.0V_L^H + 0.2V_S^H; 0.9V_D^H) & V_{gravity}^H = \end{cases}$$

لنگر خمثی ناشی از بارهای ثقلی در محل مفصل پلاستیک :

$$\begin{cases} M_{gravity}^H = \max(1.2M_D^H + 0.5M_L^H + 0.2M_S^H; 0.9M_D^H) & M_{gravity}^H = -0.23 \text{ t.m} \\ M_{gravity}^H = \max(1.2M_D^H + 1.0M_L^H + 0.2M_S^H; 0.9M_D^H) & M_{gravity}^H = \end{cases}$$

نیروی برشی ناشی از بارهای ثقلی در محل اتصال تیر به ستون

$$\begin{cases} V_{gravity} = \max(1.2V_D + V_L + 0.2V_S; 0.9V_D) & V_{gravity} = -2.52 \text{ ton} \\ V_{gravity} = \max(1.2V_D + V_L + 0.2V_S; 0.9V_D) & V_{gravity} = \end{cases}$$

لنگر خمثی ناشی از بارهای ثقلی در محل اتصال تیر به ستون

$$\begin{cases} M_{gravity} = \max(1.2M_D + M_L + 0.2M_S; 0.9M_D) & M_{gravity} = -1.63 \text{ t.m} \\ M_{gravity} = \max(1.2M_D + M_L + 0.2M_S; 0.9M_D) & M_{gravity} = \\ \begin{cases} 1.1 \leq C_{pr} = \frac{F_y + F_u}{2F_y} \leq 1.2 \\ (\text{WUF-W}) \text{ Connection} \Rightarrow C_{pr} = 1.4 \end{cases} & C_{pr} = 1.20 \\ M_{pr} = C_{pr} R_y M_p & M_{pr} = 64.79 \text{ ton.m} \end{cases}$$

حالی که زلزله از چپ به راست باشد

برش لرزهای ناشی از  $M_{pr}$  در محل های

تشکیل مفصل پلاستیک

مقاومت برشی مورد نیاز در محل مفصل

پلاستیک

مقاومت برشی مورد نیاز در محل اتصال تیر  
به ستون

مقاومت خمثی مورد نیاز در محل اتصال تیر  
به ستون

$$V_{pr} = \frac{2M_{pr}}{L_h} \quad V_{pr} = 31.15 \text{ ton}$$

$$V_u^H = V_{pr} + V_{gravity}^H$$

$$V'_u = V_u^H + (V_{gravity} - V_{gravity}^H) \quad V'_u = 28.62 \text{ ton}$$

$$M'_u = M_{pr} + (V_u^H S_h) + (M_{gravity} - M_{gravity}^H - V_{gravity}^H S_h)$$

$$M'_u = 83.64 \text{ t.m}$$



$$V_{pr} = \frac{-2M_{pr}}{L_h}$$

$$V_{pr} = -31.15 \text{ ton}$$

$$V_u^H = V_{pr} + V_{gravity}^H$$

$$V_u'' = V_u^H + (V_{gravity} - V_{gravity}^H) \quad V_u'' = 34.58 \text{ ton}$$

$$M_u'' = -M_{pr} + (V_u^H S_h) + (M_{gravity} - M_{gravity}^H - V_{gravity}^H S_h)$$

$$M_u'' = 86.93 \text{ t.m}$$

حالی که زلزله از راست به چپ باشد

برش لرزهای ناشی از  $M_{pr}$  در محلهای تشکیل مفصل پلاستیک

مقاومت برشی مورد نیاز در محل مفصل پلاستیک

مقاومت برشی مورد نیاز در محل اتصال تیر به ستون

مقاومت خمی مورد نیاز در محل اتصال تیر به ستون

مقاومت خمی و برشی مورد نیاز

$$V_u = \max\{V'_u, V''_u\}$$

$$V_u = 34.58 \text{ ton}$$

مقاومت برشی مورد نیاز

$$M_u = \max\{M'_u, M''_u\}$$

$$M_u = 86.93 \text{ ton}$$

مقاومت خمی مورد نیاز

گزارش محاسبات: بررسی ورق های بالاسری و پائین سری در اتصال تیر به ستون گیردار - صلب



### مشخصات کلی گزارش

لرزه ای	نوع طراحی	$2400.0 \text{ Kg/cm}^2$	$F_y$	تنش تسليم فولاد
ضرایب بار و مقاومت (LRFD)	روش طراحی	$4200.0 \text{ Kg/cm}^2$	$F_{ue}$	تنش نهایی فلز الکترود

واکنش تکیه گاهی

$$M_u = 86.93 \times 100 \% = 86.93 \text{ ton.m}$$

بعد جوش

$$D_A = 12 \text{ mm}$$

ورق بالاسری

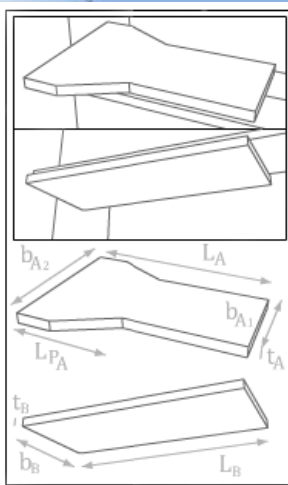
$$D_B = 12 \text{ mm}$$

ورق زیرسری

1.5 cm	$e_0$	فاصله مونتاژ
0.75	$\beta$	ضریب بازرسی جوش
0.3 cm	$D_F$	حداقل فاصله آزاد مورد نیاز بعد از جوشکاری



### المان های درگیر در اتصال



ورق بالاسری		
22.0 cm	$b_{A_1}$	عرض کوچکتر
27.0 cm	$b_{A_2}$	عرض بزرگتر
60.0 cm	$L_A$	طول کلی
7.0 cm	$L_{P_A}$	طول جوش نشده
35 mm	$t_A$	ضخامت

مشخصات تیر		
12-PG6		قطعه تیر
25.0 cm	$b_f$	عرض بال
15 mm	$t_f$	ضخامت بال
43.0 cm	$d$	ارتفاع
10 mm	$t_w$	ضخامت جان
1.5 cm	$k$	سطح خارج بال تا انتهای ماهیچه جان

ورق زیرسری		
30.0 cm	$b_B$	عرض
65.0 cm	$L_B$	طول کلی
4.0 cm	$L_{P_B}$	طول جوش نشده
30 mm	$t_B$	ضخامت

مشخصات ستون		
1C30X20		قطعه ستون
30.0 cm	$b_{col}$	عرض ستون
20 mm	$t_{col}$	ضخامت ستون



### کنترل هندسی اجزاء اتصال

	کنترل هندسی ورق بالا سری		
 $b_{A_1} \leq b_f - 2(D_A + D_F)$	$22.0\text{cm} \leq 22.0\text{ cm}$		
 $b_{A_2} \leq b_{col}$	$27.0\text{ cm} \leq 30.0\text{ cm}$		
 $e_0 \leq L_{p_A}$	$1.5\text{cm} \leq 7.0\text{ cm}$		
	کنترل هندسی ورق زیر سری		
 $b_B \geq b_f + 2(D_B + D_F)$	$30.0\text{cm} \geq 28.0\text{ cm}$		
 $b_B \leq b_{col}$	$30.0\text{cm} \leq 30.0\text{ cm}$		
 $e_0 \leq L_{P_B}$	$1.5\text{cm} \leq 4.0\text{ cm}$		
	اتصال از پیش تایید شده گیر دار جوشی با ورق های زیر سری روسی (WFP)		
$P_z = 86.5$			ناحیه محافظت شده
$S_h = 65.0$			محل مفصل پلاستیک
$d_b \leq 900\text{ mm}$	$430 \leq 900\text{ mm}$		عمق تیر
$t_f^b \leq 30\text{ mm}$	$15 \leq 30\text{ mm}$	PNG 10	ضخامت بال تیر
	محاسبه و کنترل ورق بالاسری		
	کنترل کفایت جوش نفوذی در ورق بالاسری		
جوش شیاری تحت کشش عمود بر مقطع موثر قرار دارد. مطابق جدول ۳-۹-۲-۱۰، جوش شیاری با نفوذ کامل باید براساس فلز پایه کنترل شود؛ که در بخش دیگری آمده است.			
	محاسبه و کنترل مقاومت کششی در ورق بالاسری		
نیروی کششی نهایی ایجاد شده در ورق ناشی از لنگر خمی در تیر			
$T_u = \frac{M_u}{d + \frac{t_A + t_B}{2}}$	$T_u = 187.96\text{ ton}$		ضریب کاهش مقاومت
$\phi_t = 1.00$			مقاومت کششی طراحی
$\phi_t P_n = \phi_t \times F_y \times (b_{A_1} \times t_A)$	$\phi_t P_n = 184.80\text{ ton}$		نسبت مقاومت کششی در ورق بالا سری
$Ratio = \frac{T_u}{\phi_t P_n}$	$Ratio = 1.02$		
 $Ratio \leq 1$	$1.02 \leq 1$		با اندکی اغماض قابل قبول است
	کنترل برش قالبی در فلز پایه (فلز مادر)		
نیروی نهایی کششی موجود در ورق			
$T_u = 187.96\text{ ton}$			ضریب کاهش مقاومت
$\phi = 1.00$			ضخامت ورق
$t_{p_{min}} = 15\text{ mm}$			سطح مقطع تحت برش
$A_{nv} = A_{gv} = 159.00\text{ cm}^2$			سطح مقطع خالص تحت کشش
$A_{nt} = 33.00\text{ cm}^2$			ضریب توزیع تنش کششی
$U_{bs} = 1.00$			مقاومت طراحی
$\phi R_n = \phi(0.6F_u A_{nv} + U_{bs} F_u A_{nt} \leq 0.6F_y A_{gv} + U_{bs} F_u A_{nt})$			

(۳-۹-۲-۱۰)  
جدول ۱۳۹۲-۱۰  
مبیث

(بند ۴-۳-۲-۱۰)  
۱۳۹۲-۱۰  
مبیث

(بند ۵-۱-۳-۱۰)  
(۱۳۹۲-۱۰)  
مبیث

(بند ۳-۴-۹-۲-۱۰)  
۱۳۹۲-۱۰  
مبیث

$$\phi R_n = 351.06 \text{ ton}$$

$$Ratio = \frac{T_u}{\phi R_n}$$

$$Ratio = 0.54$$

$$Ratio \leq 1$$

$$0.54 \leq 1$$



### محاسبه و کنترل مقاومت برشی در جوش گوشه ورق بالاسری

$$D_A = 12 \text{ mm}$$

$$\phi = 0.90$$

$$\phi R_n = \phi \times \beta \times 0.6 \times F_{ue} \times \frac{\sqrt{2}}{2} \times D_A \quad \phi R_n = 1443.3 \text{ Kg/cm}$$

$$L_{P_A} = 7.0 \text{ cm}$$

$$L_{w_A} = 2 \times (L_A - L_{p_A}) \quad L_{W_A} = 128.0 \text{ cm}$$

$$Ratio = \frac{\frac{T_u}{L_{w_A}}}{\phi R_n} \quad Ratio = 1.02$$

$$Ratio \leq 1$$

$$1.02 \leq 1$$

بعد جوش ورق بالاسری

ضریب کاهش مقاومت

ارزش جوش

طول جوش نشده ورق

طول کلی جوش

نسبت مقاومت برشی در جوش گوشه

با اندکی اغماض قابل قبول است



### کنترل هندسی کفایت بعد و طول جوش گوشه ورق بالاسری

$$t_A = 35 \text{ mm}$$

$$t_f = 15 \text{ mm}$$

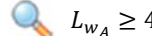
$$D_{min} = 6 \text{ mm}$$

$$D_{max} = 15 \text{ mm}$$



$$D_{min} \leq D_A \leq D_{max}$$

$$6 \text{ mm} \leq 12 \text{ mm} \leq 15 \text{ mm}$$



$$L_{w_A} \geq 4D_A$$

$$1280 \geq 48 \text{ mm}$$



### محاسبه و کنترل ورق زیر سری

#### کنترل کفایت جوش نفوذی در ورق زیر سری

جوش شیاری تحت کشش عمود بر مقطع موثر قرار دارد. مطابق جدول ۱۰-۹-۲-۱۰، جوش شیاری با نفوذ کامل باید براساس فلز پاپه کنترل شود؛ که در بخش دیگری آمده است.



### محاسبه و کنترل نسبت مقاومت کششی در ورق زیر سری

$$T_u = \frac{M_u}{d + \frac{t_A + t_B}{2}}$$

$$T_u = 187.96 \text{ ton}$$

$$\phi_t = 1.00$$

$$\phi_t P_n = \phi_t \times F_y \times (b_B \times t_B) \quad \phi_t P_n = 216.00 \text{ ton}$$

$$Ratio = \frac{T_u}{\phi_t P_n}$$

$$Ratio \leq 1$$

$$0.87 \leq 1$$

نیروی کششی نهایی ایجاد شده در ورق ناشی

از لنگر خمی در تیر

ضریب کاهش مقاومت

مقاومت کششی طراحی



۴-۲-۹-۲-۱۰  
(ب) مبحث  
۱۳۹۲-۱۰

(۱۲)-۵-۱۳-۳-۱۰  
(ب) مبحث  
۱۳۹۲-۱۰

۲-۲-۹-۲-۱۰  
(ب) مبحث  
۱۳۹۲-۱۰

(۳-۹-۲-۱۰)  
جدول  
۱۳۹۲-۱۰  
مبحث

۱۳۹۲-۱۰  
(الف)  
مبحث

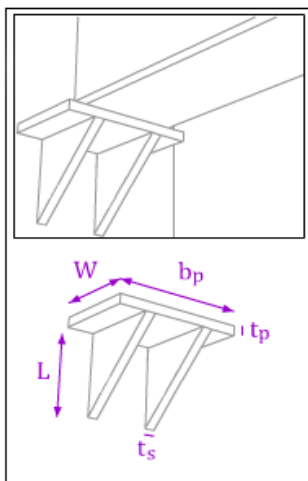
۵-۱۳-۳-۱۰  
-۱۰ مبحث  
۱۳۹۲

محاسبه و کنترل مقاومت برشی در جوش گوشه ورق زیر سری		(بند ۱۰-۹-۲-۴) (پایان پژوهش ۱۳۹۲)
$12 mm D_B =$	بعد جوش ورق زیرسرو	
S10_PhiWeld Not Found $\phi =$	ضریب کاهش مقاومت	
$\phi R_n = \phi \times \beta \times 0.6 \times F_{ue} \times \frac{\sqrt{2}}{2} \times D_B$	ارزش جوش	
$\phi R_n = S10\_Rw \text{ Not Found}$	طول جوش نشده ورق	
$L_{P_B} = 4.0 cm$	طول کلی جوش	
$L_{w_B} = 2 \times (L_B - L_{P_B})$	نسبت مقاومت برشی در جوش گوشه	
$Ratio = \frac{T_u}{\phi R_n}$	Ratio = 1.07	
$Ratio \leq 1$	با اندکی اغماض قابل قبول است	
$t_B = 30 mm$		
$t_f = 15 mm$		
$D_{min} = 6 mm$		
$D_{max} = 15 mm$		
$D_{min} \leq D_B \leq D_{max}$	6 mm $\leq$ 12 mm $\leq$ 15 mm	✓
$L_{w_B} \geq 4D_B$	1220mm $\geq$ 48 mm	✓

گزارش محاسبات: بررسی سخت کننده نشیمن در اتصال تیر به ستون گیردار - صلب

مشخصات کلی گزارش	
لرزه ای	نوع طراحی
ضرایب بار و مقاومت (LRFD)	روش طراحی
$R_u = 34.58 \times 100 \% \times 65 \% = 22.48 ton$	واکنش تکیه گاهی
$D_S = 10 mm$	بعد جوش سخت کنندهها به ستون
$D_P = 12 mm$	بعد جوش ورق نشیمن به تیر
$D_F = 3 mm$	حداقل فاصله آزاد مورد نیاز بعد از جوشکاری
2400.0 $Kg/cm^2$	تنش تسلیم فولاد
4200.0 $Kg/cm^2$	تنش نهایی فلز الکترود
1.5 cm	فاصله مونتاژ
0.75	ضریب بازرسی جوش

## المان های درگیر در اتصال



مشخصات سخت کننده		
20.0 cm	$L$	ارتفاع سخت کننده
15.0 cm	$W$	عرض سخت کننده
15 mm	$t_s$	ضخامت سخت کننده
2	No.	تعداد سخت کننده ها

مشخصات تیر		
12-PG6		قطعه تیر
25.0 cm	$b_f$	عرض بال
15 mm	$t_f$	ضخامت بال
43.0 cm	$d$	ارتفاع
10 mm	$t_w$	ضخامت جان
1.5 cm	$k$	سطح خارج بال تا انتهای ماهیچه جان

مشخصات ورق نشیمن		
30.0 cm	$b_p$	پهنای ورق نشیمن
30 mm	$t_p$	ضخامت ورق نشیمن
4.0 cm	$l_p$	طول ورق نشیمن

مشخصات ستون		
1C30X20		قطعه ستون
30.0 cm	$b_{col}$	عرض ستون
20 mm	$t_{col}$	ضخامت ستون

## کنترل هندسی اجزاء اتصال

- 🔍  $t_p \geq t_s$        $30mm \geq 15 mm$       ✓
- 🔍  $t_s \times No. \geq t_w$        $30 mm \geq 10 mm$       ✓
- 🔍  $b_{col} > b_p$        $30.0 cm > 30.0 cm$       ✓
- 🔍  $t_p \geq t_f$        $30 mm \geq 15 mm$       ✓
- 🔍  $b_p \geq (b_f + 2(D_p + D_F))$        $30.0 cm \geq 28.0 cm$       ✓

کنترل عرض نشیمن برای جلوگیری از تسليیم و لهیدگی جان تحت اثر بارهای متتمرکز

(بند ۱-۰-۹-۲-۱) (۱۳۹۲-۱۰)  
مبحث

تعیین حداقل عرض ورق نشیمن بر مبنای تسليیم موضعی جان

ضریب کاهش مقاومت

$$\phi = 1.00$$

$$l_{b_1} = \max\left(\frac{R_u}{\phi F_y t_w}, 2.5 k, k\right) \quad 5.6 \text{ cm} l_{b_1} =$$

حداقل عرض نشیمن بر اساس تسليیم موضعی جان

ضریب کاهش مقاومت

$$\phi = 0.75$$

$$\begin{cases} \hookrightarrow l_{b_2} \leq 0.2 \Rightarrow \phi R_n = \phi \times 0.4 t_w^2 [1 + 3 \left( \frac{l_{b_2}}{d} \right) \left( \frac{t_w}{t_f} \right)^{1.5}] \sqrt{\frac{E F_y t_f}{t_w}} \\ l_{b_2} > 0.2 \Rightarrow \phi R_n = \phi \times 0.4 t_w^2 [1 + (4 \frac{l_{b_2}}{d} - 0.2) \left( \frac{t_w}{t_f} \right)^{1.5}] \sqrt{\frac{E F_y t_f}{t_w}} \end{cases}$$

$$l_{b_2} = -3.3 \text{ cm}$$

$$l_b = \max(l_{b_1}, l_{b_2})$$

$$l_b = 5.6 \text{ cm}$$

حداقل طول نشیمن تیر



$$W \geq l_b + e_0$$

$$15.0 \text{ cm} \geq 7.1 \text{ cm}$$



کنترل کفايت ابعاد ورق(های) سخت کننده (بر اساس روش پلاستيک)			
کنترل کمانش موضعی سخت کننده (ها)			
 $\left\{ \begin{array}{l} 0.5 < \frac{W}{L} = 0.75 \leq 1.0 \rightarrow \frac{W}{t_s} = 10.00 \leq \frac{1050}{\sqrt{F_y}} = 21.43 \\ 1.0 < \frac{W}{L} = \leq 2.0 \rightarrow \frac{W}{t_s} = \leq \frac{1050}{\sqrt{F_y}} \times \frac{W}{L} = \\ \frac{W}{L} < 0.5 \text{ or } \frac{W}{L} > 2.0 ; \quad \frac{W}{L} = \end{array} \right.$			
کنترل مقاومت سخت کننده(ها)			
کنترل مقاومت اتكايي			
$A_p = No. \times t_s \times (w - e_0)$ $\phi = 0.75$ $\phi R_n = \phi 1.8 F_y A_p$ $Ratio = \frac{R_u}{\phi R_n}$  $Ratio \leq 1$	$A_p = 40.50 \text{ cm}^2$ $\phi R_n = 131.22 \text{ ton}$ $Ratio = 0.17$ 	سطح مقطع ضريرب کاهش مقاومت مقاومت اتكايي طرح نسبت تنش اتكايي	 م-ازهري و س-ر. ميرقاداري (۱۳۸۹) ميرقاداري طراحی سازه های فولادی-جلد سوم اتصالات، انتشارات ۲۴۱ دانش، ص
کنترل مقاومت تسلیم			
$e = W - \frac{l_b}{2}$ $e_c = e - \frac{W}{2}$ $Sin^2 \varphi = \frac{L^2}{W^2 + L^2}$ $\phi = 0.90$ $\phi P_n = \phi F_y t_s Sin^2 \varphi (\sqrt{4e_c^2 + W^2} - 2e_c) \times No.$ $Ratio = \frac{R_u}{\phi P_n}$  $Ratio \leq 1$	$e = 12.2 \text{ cm}$ $e_c = 4.7$ $Sin^2 \varphi = 0.64$ $\phi P_n = 34.46$ $Ratio = 0.65$ 	فاصله برون محوري بار از بر ستون فاصله برونممحوري بار تا وسط عرض سختکننده ضريرب کاهش مقاومت مقاومت طراحی سختکننده(ها) نسبت مقاومت	
کنترل نسبت تنش در جوش سخت کننده (ها) به بال ستون			
محاسبه اندر کنش تنش های جوش در بر ستون			
$M_u = R_u \times e$ $N = 2$ $B_w = b_p - N \times t_s$ $S_x = \frac{1}{3} \frac{L(2B_w^2 + 2B_w NL + 2N^2 L^2 + 3N^2 LB_w)}{N(B_w + 2NL)}$ $f_x'' = \frac{M}{S_x}$ $f_y' = \frac{R}{B_w + N \times 2 \times L}$ $f_{r_u} = \sqrt{f_y'^2 + f_x''^2}$	$M_u = 2.74 \text{ ton.m}$ لنگر خمسی نهايی در بر ستون تعداد سخت کننده (ها) طول جوش شده ورق نشيمن به بال ستون مدول الاستيک مقطع تنش کششی نهايی ناشی از خمس تنش برشی نهايی ناشی از واکنش تکيه گاهی اندر کنش تنش های نهايی		

## محاسبه ارزش جوش گوش

(۴-۲-۹-۱۰-۱) بند  
۱۳۹۲-۱۰ مبحث

$$\phi = 0.75$$

ضریب کاهش مقاومت

$$\phi R_n = \phi \times \beta \times 0.6 \times F_{ue} \times \frac{\sqrt{2}}{2} \times D_s \quad \phi R_n = 1002.3 Kg/cm$$

ارزش جوش

$$Ratio = \frac{f_{r_u}}{\phi R_n} \quad Ratio = 0.69$$

نسبت تنفس جوش

$$Ratio \leq 1 \quad 0.69 \leq 1$$



## کنترل بعد جوش گوش

(۴-۲-۹-۱۰-۱) بند  
۱۳۹۲ (۲) مبحث

$$t_s = 15 mm$$

ضخامت سخت کننده

$$t_{col} = 20 mm$$

ضخامت ستون

$$D_{min} = 6 mm$$

حداقل بعد جوش

$$D_{max} = 15 mm$$

حداکثر بعد جوش

$$D_s = 10 mm$$

بعد جوش

$$D_{min} \leq D_s \leq D_{max}$$

$$6 mm \leq 10 mm \leq 15 mm$$

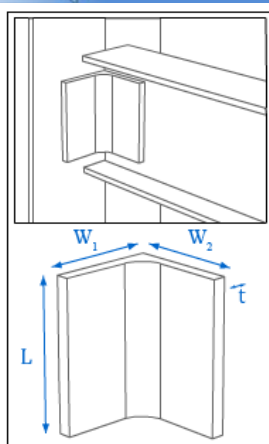


گزارش محاسبات: بررسی نبیشی جان در اتصال تیر به ستون گیردار - صلب

## مشخصات کلی گزارش

لرزه ای	نوع طراحی	تنش تسليم فولاد
ضرایب بار و مقاومت (LRFD)	روش طراحی	تنش نهایی فلز الکترود
$R_u = 34.58 \times 100 \% \times 70 \% = 24.21 ton$	واکنش تکیه گاهی	فاصله مونتاژ
$D_A = 8 mm$	بعد جوش اتصال نبیشی به تیر	ضریب بازرسی جوش
$D_B = 8 mm$	بعد جوش اتصال نبیشی به ستون	

## المان های درگیر در اتصال



مشخصات نبیشی		
100x100x10	نام نبیشی	
30.0 cm	L	طول نبیشی
10.0 cm	W <sub>1</sub>	بعد اول بال نبیشی
10.0 cm	W <sub>2</sub>	بعد دوم بال نبیشی
10 mm	t	ضخامت نبیشی
2	No.	تعداد

مشخصات تیر		
12-PG6		مقطع تیر
25.0 cm	b <sub>f</sub>	عرض بال
15 mm	t <sub>f</sub>	ضخامت بال
43.0 cm	d	ارتفاع
10 mm	t <sub>w</sub>	ضخامت جان
1.5 cm	k	سطح خارج بال تا انتهای ماهیچه جان

مشخصات ستون		
1C30X20		مقطع ستون
30.0 cm	b <sub>col</sub>	عرض ستون
20 mm	t <sub>col</sub>	ضخامت ستون

## کنترل هندسی اجزاء اتصال

کنترل بیرون زدگی ارتفاع نبشی از ارتفاع موثر تیر

$$L \leq (d - 2k - 2D_A)$$

$$30.0\text{cm} \leq 39.4\text{ cm}$$



کنترل بیرون زدگی عرض نبشی از ستون

$$W_1 \leq \frac{b_{col} - t_w}{2} - D_B$$

$$10.0\text{ cm} \leq 14.2\text{ cm}$$



## کنترل مقاومت برشی نبشی

۲-۴-۹-۲-۱۰ (بند)

-۱۰ (الف) مبحث

۱۳۹۲

$$V_u = \frac{R_u}{No}$$

$$V_u = 12.10\text{ ton}$$

نیروی برشی نهایی وارد بر نبشی

$$1.00\phi =$$

ضریب کاهش مقاومت

$$\phi R_n = \emptyset \times 0.6 \times F_y \times (L \times t) \times No. \quad \phi R_n = 86.40$$

مقاومت برشی طراحی

$$Ratio = \frac{V_u}{\phi R_n}$$

$$Ratio = 0.28$$

$$Ratio \leq 1$$

$$0.28 \leq 1$$



محاسبه و کنترل مقاومت برشی وارد بر جوش اتصال نبشی به تیر



محاسبه اندرکنش تنش های جوش

$$L = 30.0\text{ cm}$$

ارتفاع جوش

$$b = W_2 - e_0$$

$$b = 8.5\text{ cm}$$

عرض جوش

$$A_w = No. \times (L + 2b)$$

$$A_w = 94.0\text{ cm}$$

سطح مقطع جوش در واحد طول

$$\bar{x} = \frac{b^2}{2b + L}$$

$$\bar{x} = 1.5\text{ cm}$$

فاصله مرکز سطح جوش از خط قائم آن

$$e = W_2 - \bar{x}$$

$$e = 8.5\text{ cm}$$

برون محوری پیچی

$$I_p = \frac{8b^3 + 6bL^2 + L^3}{12} - \frac{b^4}{2b + L}$$

$$I_p = 6373.35\text{ cm}^3$$

ممان اینرسی قطبی

$$T_u = \frac{R_u}{No.} \times e$$

$$T_u = 1.02\text{ ton.m}$$

لنگر پیچشی نهایی

$$f'_y = \frac{R_u}{A_w}$$

$$f'_y = 257.5\text{ Kg/cm}$$

تنش برشی نهایی جوش در جهت قائم

$$f''_y = \frac{T_u(b - \bar{x})}{I_p}$$

$$f''_y = 111.9\text{ Kg/cm}$$

تنش برشی نهایی ناشی از پیچش در جهت قائم

$$f''_x = \frac{T_u(\frac{L}{2})}{I_p}$$

$$f''_x = 241.1\text{ Kg/cm}$$

تنش برشی نهایی ناشی از پیچش در جهت افقی

$$f_{r_u} = \sqrt{f''_x^2 + (f'_y + f''_y)^2}$$

$$f_{r_u} = 441.1\text{ Kg/cm}$$

اندر کنش تنش های نهایی



محاسبه ارزش جوش

۴-۲-۹-۲-۱۰ (بند)

۱۳۹۲-۱۰ مبحث

$$\phi = 0.75$$

ضریب کاهش مقاومت

$$\phi R_n = \phi \times \beta \times 0.6 \times F_{ue} \times \frac{\sqrt{2}}{2} \times D_A \quad \phi R_n = 801.9\text{ Kg/cm}$$

ارزش جوش

$$Ratio = \frac{f_{r_u}}{\phi R_n}$$

$$Ratio = 0.55$$

نسبت تنش جوش

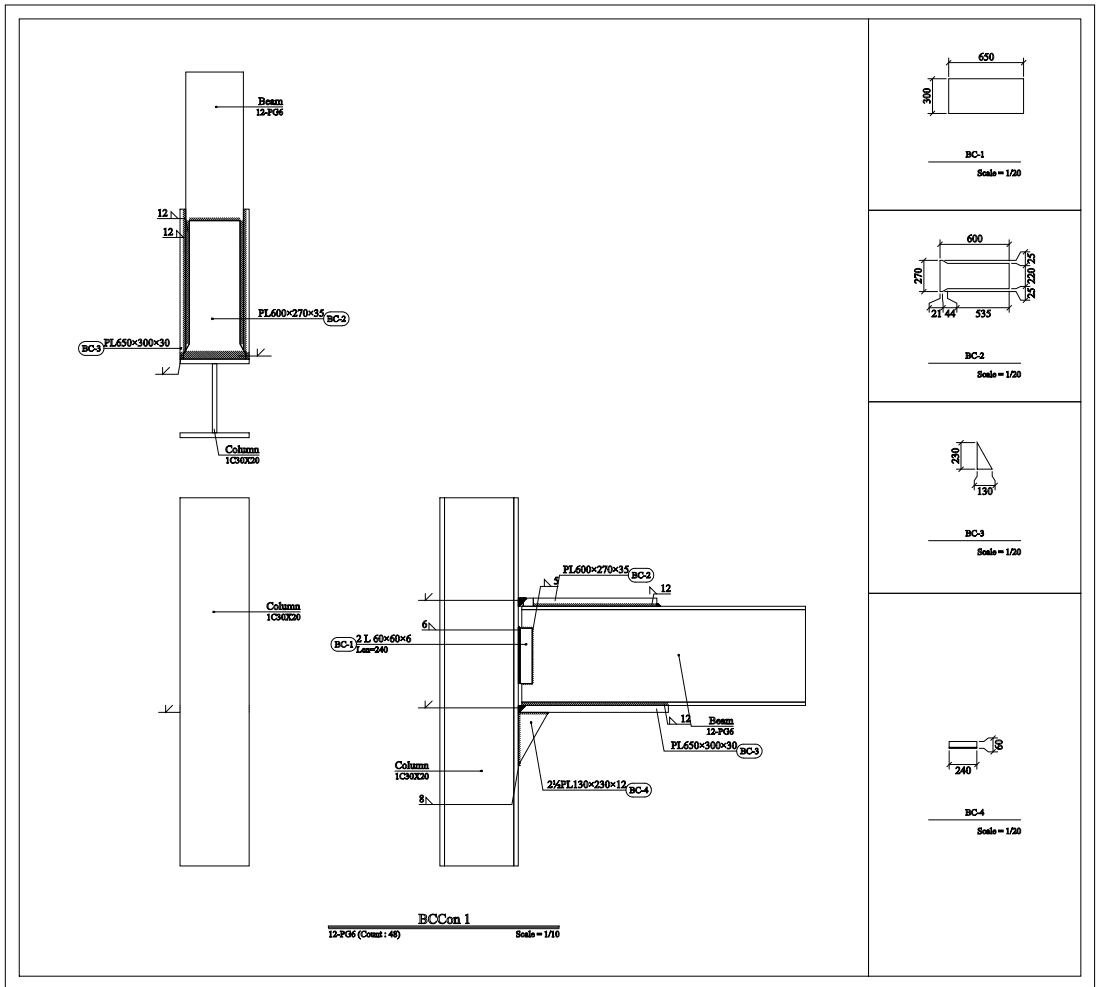


$$Ratio \leq 1$$

$$0.55 \leq 1$$



کنترل بعد جوش		
$t = 10 \text{ mm}$	ضخامت نبشی	(بند -۲-۹-۲-۱۰) -۱۰ (ب) مبحث ۲ ۱۳۹۲
$t_w = 10 \text{ mm}$	ضخامت تیر در محل اتصال نبشی	
$D_{min} = 5 \text{ mm}$	حداقل بعد جوش	
$D_{max} = 8 \text{ mm}$	حداکثر بعد جوش	
$D_A = 8 \text{ mm}$	بعد جوش	
$D_{min} \leq D_A \leq D_{max}$	$5 \text{ mm} \leq 8 \text{ mm} \leq 8 \text{ mm}$	
محاسبه و کنترل مقاومت بر بشی وارد بر جوش B-جوش اتصال نبشی به ستون		
محاسبه اندرکنش تنش های جوش B (بر اساس رابطه بلاجت)		
$A_w = No. \times L$	$A_w = 60.0 \text{ cm}$	سطح مقطع جوش در واحد طول
$f'_y = \frac{R_u}{A_w}$	$f'_y = 403.4 \text{ Kg/cm}$	تنش بر بشی نهایی جوش در جهت قائم
$T_u = \frac{R_u}{No.} \times \left( W_1 + \frac{t_w}{2} \right)$	$T_u = 1.27 \text{ ton.m}$	لنگر پیچشی نهایی وارد بر جوش
$f_t = \frac{18 T_u}{5 L^2}$	$f_t = 508.3 \text{ Kg/cm}$	بیشینه تنش کششی نهایی ناشی از پیچش در جهت افقی
$f_{ru} = \sqrt{f_y'^2 + f_t^2}$	$f_{ru} = 649.0 \text{ Kg/cm}$	اندر کنش تنش های نهایی
محاسبه ارزش جوش B		
$0.75\phi =$	ضریب کاهش مقاومت	(بند -۲-۹-۲-۱۰) -۱۰ (ب) مبحث ۲ ۱۳۹۲
$\phi R_n = \phi \times \beta \times 0.6 \times F_{ue} \times \frac{\sqrt{2}}{2} \times D_B$	$801.9 \text{ Kg/cm} \phi R_n =$	ارزش جوش
$Ratio = \frac{f_{ru}}{\phi R_n}$	$0.81 Ratio =$	نسبت تنش جوش
$Ratio \leq 1$	$0.81 \leq 1$	
کنترل بعد جوش B		
$t = 10 \text{ mm}$	ضخامت نبشی	(بند -۲-۹-۲-۱۰) -۱۰ (ب) مبحث ۲ ۱۳۹۲
$t_{col} = 20 \text{ mm}$	ضخامت ستون در محل اتصال نبشی	
$D_{min} = 5 \text{ mm}$	حداقل بعد جوش	
$D_{max} = 8 \text{ mm}$	حداکثر بعد جوش	
$D_B = 8 \text{ mm}$	بعد جوش	
$D_{min} \leq D_B \leq D_{max}$	$5 \text{ mm} \leq 8 \text{ mm} \leq 8 \text{ mm}$	
تصویر جزئیات اتصال		



## گزارش مهاربند تکی

### مشخصات کلی گزارش

نام اتصال: Br1Con 1

#### ابعاد جوش

$$\begin{aligned} D_{awl} &= 10 \text{ mm} \\ D_{awf} &= 5 \text{ mm} \\ D_{awv} &= 12 \text{ mm} \\ D_{aw} &= 8 \text{ mm} \\ D_{awh} &= 12 \text{ mm} \end{aligned}$$

$$\begin{aligned} P &= 72.71 \text{ ton} \\ T &= 66.82 \text{ ton} \end{aligned}$$

#### نیروهای طراحی

2400.0 $\text{Kg/cm}^2$	$F_y$	تنش تسلیم فولاد
3700.0 $\text{Kg/cm}^2$	$F_u$	تنش نهایی فولاد
4200.0 $\text{Kg/cm}^2$	$F_{uw}$	مقاومت نهایی کششی فلز الکترود
2040000.0 $\text{Kg/cm}^2$	$E_{st}$	مدول الاستیسیته فولاد

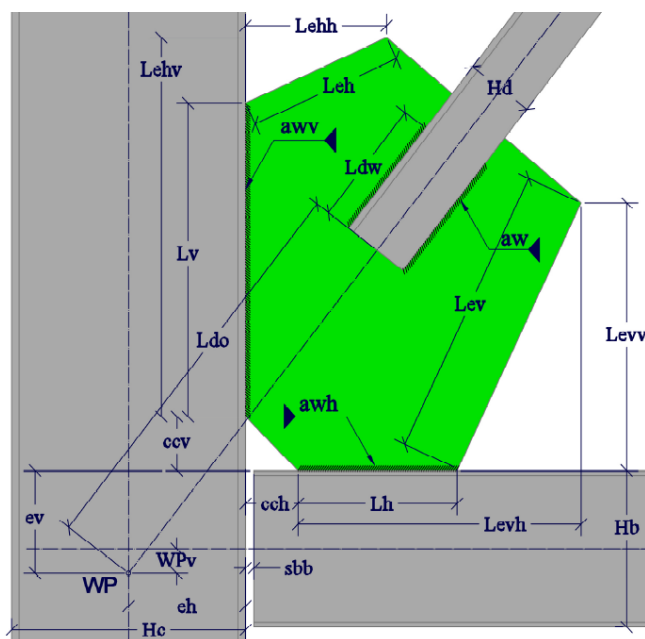
1.5 cm	$e_0$	فاصله مونتاژ
0.7500	$\varphi$	ضریب آگاهی جوش
1.0000	$SF$	پارامتر لزه ای
		همگرا
		نوع مهاربند
		تنش مجاز (ASD)
		روش طراحی

### مشخصات المان های در گیر در اتصال مهاربند

مشخصات هندسی ستون		
1H30X20		مقطع ستون
20 mm	$t_f$	ضخامت بال

مشخصات هندسی ورق اتصال		
35.0 cm	$L_h$	طول جوش افقی با تیر
25.0 cm	$L_v$	طول جوش قائم با ستون
0.0 cm	$CC_h$	پخش افقی ورق اتصال
0.0 cm	$CC_v$	پخش قائم ورق اتصال
15 mm	$t_p$	ضخامت ورق
		دوطرفه
		جوش به المان های اطراف

مشخصات هندسی تیر		
11-PG2		مقطع تیر
20mm	$t_f$	ضخامت بال تیر یا صفحه ستون
34.0 cm	$H_b$	ارتفاع
15 mm	$t_w$	ضخامت جان
2.6 cm	$K$	فاصله سطح خارج بال تا انتهای ماهیچه جان



مشخصات هندسی مهاربند		
2U120/F/15/		مقطع مهاربند
12.0 cm	$H_d$	ارتفاع مقطع
9 mm	$t_b$	ضخامت لبه جوش شونده
33.98 $\text{cm}^2$	$A_g$	سطح مقطع کلی

مشخصات تکمیل اتصال		
50 °	$\theta$	زاویه مهاربند با خط قائم
30.0 cm	$Ld_w$	طول جوش مهاربند به ورق
0.0 cm	$WP_v$	فاصله قائم نقطه کار

(شکل پذیری معمولی)

$$\begin{cases} P_{Design} = P \\ T_{Design} = \min\{T, 0.6 \times F_y \times A_g\} \end{cases}$$

(شکل پذیری ویژه)

$$\begin{cases} P_{Design} = 1.25 \times F_a \times A_g \\ T_{Design} = \max(\min\{T, 0.6 \times F_{ye} \times A_g\}, 0.75 \times 0.6 \times F_y A_g) \\ F_{ye} = 1.15 \times F_y \end{cases}$$

$$\Rightarrow \begin{cases} P_{Design} = 61.05 \text{ ton} \\ T_{Design} = 56.28 \text{ ton} \\ F_{Design} = \max\{P_{Design}, T_{Design}\} = 61.05 \text{ ton} \end{cases}$$



## محاسبه و کنترل المان مهاربندی

کنترل هندسی بعد جوش اتصال مهاربند به ورق گاست

$$\begin{cases} t_p = 15 \text{ mm} \\ t_b = 9 \text{ mm} \end{cases} \Rightarrow \begin{cases} D_{min} = 5 \text{ mm} \\ D_{max} = 9 \text{ mm} \end{cases}$$

$$D_{min} \leq D_{aw} \leq D_{max}$$

$$5 \text{ mm} \leq 8 \text{ mm} \leq 9 \text{ mm}$$



$$Ld_w \geq \max\{4 \times D_{aw}, 4\}$$

$$30.0 \text{ mm} \geq 40 \text{ mm}$$



## کنترل تنش جوش اتصال مهاربند به ورق گاست

$$R_w = 0.3 \times \frac{\sqrt{2}}{2} \times F_{uw} \times D_{aw} \times \varphi \quad R_w = 534.6 \text{ Kg/cm}$$

ارزش جوش

 $n$ 

تعداد خط جوش یک مهاربند

$$\begin{cases} F = F_{Design} = 61.05 \text{ ton} \end{cases}$$

نیروی جوش

$$\begin{cases} L = n \times (Ld_w)_e = 4 \times 30.0 \text{ cm} = 120.0 \text{ cm} \end{cases}$$

طول کلی جوش مؤثر در محاسبات

$$\Rightarrow \text{Ratio} = \frac{F}{R_w \times L} \quad \text{Ratio} = 0.95$$

$$\text{Ratio} \leq 1$$

$$0.95 \leq 1$$



## کنترل فاصله از خط آزاد خمین

$$\begin{cases} Dist. 1 = 5.4 \text{ cm} \\ Dist. 2 = 5.4 \text{ cm} \end{cases}$$

$$Dist. = \min\{Dist. 1, Dist. 2\} = 5.4 \text{ cm}$$

کمترین فاصله گوشه های مهاربند و خط آزاد خمین

$$Dist. \geq 2 \times t_p$$

$$5.4 \text{ cm} \geq 30 \text{ cm}$$



## کنترل حداقل فاصله از المان های مجاور

$$Le_{beam} = 14.7 \text{ cm}$$

فاصله المان مهاربندی از تیر

$$Le_{col} = 21.8 \text{ cm}$$

فاصله المان مهاربندی از ستون

$$Le_{min} = 2.0 \text{ cm}$$

حداقل فاصله مجاز

$$min\{Le_{beam}, Le_{col}\} \geq Le_{min}$$

$$14.7 \text{ cm} \geq 2.0 \text{ cm}$$



### کنترل ورق اتصال

محاسبه نیروهای قائم و برشی در محل اتصال ورق گاست و المان های اطراف (روش نیروی یکنواخت)

$$e_h = \frac{H_c}{2}$$

$$e_v = \frac{H_b}{2} - WP_v$$

$$\alpha = \frac{L_h}{2} - CC_h$$

$$\beta = \frac{\alpha + e_h - e_v \times \tan(\theta)}{\tan(\theta)}$$

$$r = \sqrt{(\alpha - e_h)^2 + (\beta - e_v)^2}$$

$$N_h = \frac{F_{design} \times e_v}{r}$$

$$V_h = \frac{F_{design} \times \alpha}{r}$$

$$N_v = \frac{F_{design} \times e_v}{r}$$

$$V_v = \frac{F_{design} \times \beta}{r}$$

$$17.0cm e_h =$$

$$17.0cm e_v =$$

$$18.3cm \alpha =$$

$$13.0cm \beta =$$

$$46.3 cm r =$$

$$22.43ton N_h =$$

$$24.08ton V_h =$$

$$22.43ton N_v =$$

$$17.11ton V_v =$$

فاصله افقی نقطه کار و لبه ستون

فاصله قائم نقطه کار و لبه تیر

نیروی قائم بین ورق اتصال و تیر

نیروی مماسی بین ورق اتصال و تیر

نیروی قائم بین ورق اتصال و ستون

نیروی مماسی بین ورق اتصال و ستون

### محاسبه و کنترل تنش ورق گاست در محل اتصال

$$\sigma_h = \frac{\sqrt{N_h^2 + 3 \times V_h^2}}{L_h \times t_p}$$

$$942.5Kg/cm^2 \sigma_h =$$

تنش مقایسه ای ترکیبی در محل اتصال به تیر

$$\sigma_h \leq 0.75 \times F_y$$

$$942.5Kg/cm^2 \leq 1800.0Kg/cm^2$$



$$\sigma_v = \frac{\sqrt{N_v^2 + 3 \times V_v^2}}{L_v \times t_p}$$

$$991.0Kg/cm^2 \sigma_v =$$

تنش مقایسه ای ترکیبی در محل اتصال به ستون

$$\sigma_v \leq 0.75 \times F_y$$

$$991.0Kg/cm^2 \leq 1800.0Kg/cm^2$$



### کنترل کمانش لبه آزاد ورق اتصال

$$47.9cm L_{eh} =$$

طول لبه آزاد ورق در محل اتصال به ستون

$$\frac{L_{eh}}{t_p} \leq 0.85 \times \sqrt{\frac{E}{F_y}}$$

$$31.9026 \leq 24.7815$$



$$37.7cm L_{ev} =$$

طول لبه آزاد ورق در محل اتصال به تیر

$$\frac{L_{ev}}{t_p} \leq 0.85 \times \sqrt{\frac{E}{F_y}}$$

$$25.1573 \leq 24.7815$$



## کنترل تنش ها در عرض ویتمور

$$36.0cmW =$$

عرض موثر ویتمور

$$f = \frac{T_{Design}}{t_p \times W}$$

$$f = 1043.3Kg/cm^2$$

تنش کششی در عرض ویتمور



$$f \leq 0.6 \times F_y$$

$$1043.3Kg/cm^2 \leq 1440.0Kg/cm^2$$



$$f_a = \frac{P_{Design}}{t_p \times W}$$

$$f_a = 1131.8$$

تنش فشاری در عرض ویتمور

$$\left\{ \begin{array}{l} L = 29.8 \text{ cm} \\ K = 1.2 \end{array} \right.$$

$$\Rightarrow F_a = 1042.2Kg/cm^2$$

تنش فشاری مجاز در عرض ویتمور

$$\left\{ \begin{array}{l} r = 0.3 \times t_p = 0.5 \text{ cm} \end{array} \right.$$



$$f_a \leq F_a$$

## کنترل برش قالبی در کشش

المان اول

$$A_v = 2 \times t_p \times (Ld_w + dp_w)$$

$$A_v = 91.67cm^2$$

سطح مقطع خالص در برش

$$F_v = 0.3 \times F_u$$

$$F_v = 1110.0 Kg/cm^2$$

تنش برشی مجاز

$$A_t = t_p \times H_d$$

$$A_t = 18.00cm^2$$

سطح مقطع خالص در کشش

$$F_t = 0.5 \times F_u$$

$$F_t = 1850.0 Kg/cm^2$$

تنش کششی مجاز

$$\Rightarrow A_v \times F_v + A_t \times F_t = 135.05 \text{ ton}$$

حداکثر نیروی مجاز کششی



$$T_{Design} \leq A_v \times F_v + A_t \times F_t \quad 56.28 \text{ ton} \leq 135.05 \text{ ton}$$



## کنترل ورق های تقویتی

کنترل اتصال ورق گاست به ستون

کنترل هندسی بعد جوش اتصال

$$\left\{ \begin{array}{l} t_p = 15 \text{ mm} \\ t_f = 20 \text{ mm} \end{array} \right.$$

$\Rightarrow$

$$\left\{ \begin{array}{l} D_{min} = 6 \text{ mm} \\ D_{max} = 13 \text{ mm} \end{array} \right.$$



$$D_{min} \leq D_{awv} \leq D_{max}$$

$$6 \text{ mm} \leq 12 \text{ mm} \leq 13 \text{ mm}$$





$$L_v \geq max\{4 \times D_{awv}, 4\}$$

$$250 \text{ mm} \geq 48 \text{ mm}$$



## محاسبه و کنترل تنش های وارد بر جوش

$$n = 2$$

$$\sigma = \frac{N_v}{n \times L_v}$$

$$\tau = \frac{V_v}{n \times L_v}$$

$$\sigma_{wv} = \sqrt{\sigma^2 + \tau^2}$$

$$R_w = 0.3 \times \frac{\sqrt{2}}{2} \times F_{uw} \times D_{awv} \times \varphi \quad R_w = 801.9 \text{ Kg/cm}$$

$$\frac{\sigma_{wv}}{R_w} \leq 1$$

$$\sigma = 448.7 \text{ Kg/cm}$$

$$\tau = 342.1 \text{ Kg/cm}$$

$$\sigma_{wv} = 564.2 \text{ Kg/cm}$$

$$0.1 \leq 1$$

تعداد خط جوش اتصال به ستون

تنش قائم در طول جوش

تنش برشی در طول جوش

تنش مقایسه ای در طول جوش

ارزش جوش



## کنترل تیر در مقابل بارهای متتمرکز

### کنترل تسلیم موضعی جان

$$R = \frac{P_{Design}}{F_{Design}} \times N_h = 22.43 \text{ ton}$$

$$\frac{L_h + CC_h - \max\{CC_h, e_0\}}{2} = 16.8 \text{ cm}$$

$$H_b = 34.0 \text{ cm}$$

$$H_b \leq \frac{L_h + CC_h - \max\{CC_h, e_0\}}{2} \Rightarrow$$

$$\frac{R}{t_w(N+5K)} \leq 0.66 \times F_y$$

$$373.9 \text{ kg/cm}^2 \leq 1584.0 \text{ kg/cm}^2$$



نیروی فشاری قائم بین تیر و ورق اتصال

فاصله محل اثر بار متتمرکز از لبه تیر

## کنترل لهیدگی جان

$$\frac{L_h + CC_h - \max\{CC_h, e_0\}}{2} = 16.8 \text{ cm}$$

$$\frac{H_b}{2} = 17.0 \text{ cm}$$

$$\frac{H_b}{2} \leq \frac{L_h + CC_h - \max\{CC_h, e_0\}}{2} \Rightarrow$$

$$R \leq 566 \times t_w^2 \left[ 1 + 3 \left( \frac{N}{d} \right) \left( \frac{t_w}{t_f} \right)^{\frac{3}{2}} \right] \sqrt{F_{yw} \frac{t_f}{t_w}}$$

$$22.43 \text{ ton} \leq 105.92 \text{ ton}$$

فاصله محل اثر بار متتمرکز از لبه تیر



## گزارش کنترل تغییر مکان جانبی نسبی سازه (Drift) به همراه محاسبه درز انقطاع طبقات

مبحث ششم مقررات ملی ساختمان \_ ویرایش ۱۳۹۲

$N = 7$

$Cd_X = 4.0$

$Cd_Y = 5.0$

$H$	ارتفاع طبقه
$h$	ارتفاع طبقه از تراز پایه
$U$	تغییر مکان طبقه
$\Delta_M$	تغییر مکان جانبی نسبی غیرخطی طبقه
$\Delta_e$	تغییر مکان جانبی نسبی طبقه تحت زلزله طرح
$P$	مجموع بارهای مرده و زنده موجود در طبقه تا طبقه آخر
$V$	مجموع نیروی برشی وارد در طبقه

$$\Delta_M = Cd \times \Delta_e$$

$$Drift = \left( \frac{\Delta_M}{H} \right)$$

☞  $\begin{cases} Drift_{Max} = 0.025 \ (N \leq 5) \\ Drift_{Max} = 0.020 \ (N > 5) \end{cases}$

طبقه	$h$ (m)	$H$ (m)	EPY				نام بار :	0.00 m				تراز پایه :		
			در جهت X					در جهت Y						
			$U$ (mm)	$\Delta e$ (mm)	$\Delta_M$ (mm)	$Drift$		درز انقطاع (mm)	$U$ (mm)	$\Delta e$ (mm)	$\Delta_M$ (mm)	$Drift$	درز انقطاع (mm)	
STORY1	2.90	2.90	-0.015	-0.015	-0.058	0.000	✓	41	3.460	3.460	17.302	0.006	✓	41
STORY2	6.30	3.40	-0.027	-0.012	-0.049	0.000	✓	48	9.161	5.700	28.501	0.008	✓	48
STORY3	9.70	3.40	-0.053	-0.026	-0.104	0.000	✓	48	16.632	7.472	37.359	0.011	✓	48
STORY4	13.10	3.40	-0.072	-0.020	-0.079	0.000	✓	48	24.555	7.922	39.611	0.012	✓	48
STORY5	16.50	3.40	-0.079	-0.007	-0.027	0.000	✓	48	32.345	7.791	38.953	0.011	✓	48
STORY6	19.90	3.40	-0.122	-0.042	-0.170	0.000	✓	48	39.412	7.067	35.336	0.010	✓	48
STORY7	23.20	3.30	-0.371	-0.249	-0.997	0.000	✓	47	45.551	6.139	30.694	0.009	✓	47

طبقه	$h$ (m)	$H$ (m)	EPY				نام بار :	0.00 m				تراز پایه :		
			در جهت X					در جهت Y						
			$U$ (mm)	$\Delta e$ (mm)	$\Delta_M$ (mm)	$Drift$		درز انقطاع (mm)	$U$ (mm)	$\Delta e$ (mm)	$\Delta_M$ (mm)	$Drift$	درز انقطاع (mm)	
STORY1	2.90	2.90	-0.015	-0.015	-0.058	0.000	✓	41	3.460	3.460	17.302	0.006	✓	41
STORY2	6.30	3.40	-0.027	-0.012	-0.049	0.000	✓	48	9.161	5.700	28.501	0.008	✓	48
STORY3	9.70	3.40	-0.053	-0.026	-0.104	0.000	✓	48	16.632	7.472	37.359	0.011	✓	48
STORY4	13.10	3.40	-0.072	-0.020	-0.079	0.000	✓	48	24.555	7.922	39.611	0.012	✓	48
STORY5	16.50	3.40	-0.079	-0.007	-0.027	0.000	✓	48	32.345	7.791	38.953	0.011	✓	48
STORY6	19.90	3.40	-0.122	-0.042	-0.170	0.000	✓	48	39.412	7.067	35.336	0.010	✓	48



STORY7	23.20	3.30	-0.371	-0.249	-0.997	0.000	✓	47	45.551	6.139	30.694	0.009	✓	47
--------	-------	------	--------	--------	--------	-------	---	----	--------	-------	--------	-------	---	----

EPX							نام بار :	0.00 m تراز پایه :						
طبقه	h (m)	H (m)	در جهت X					در جهت Y						
			U (mm)	Δe (mm)	ΔM (mm)	Drift	درز انقطاع (mm)	U (mm)	Δe (mm)	ΔM (mm)	Drift	درز انقطاع (mm)		
STORY1	2.90	2.90	6.344	6.344	25.376	0.009	✓	41	0.000	0.000	0.001	0.000	✓	41
STORY2	6.30	3.40	20.787	14.443	57.773	0.017	✓	48	0.000	0.000	0.001	0.000	✓	48
STORY3	9.70	3.40	36.427	15.640	62.559	0.018	✓	48	0.001	0.000	0.002	0.000	✓	48
STORY4	13.10	3.40	53.217	16.790	67.161	0.020	✓	48	0.001	0.000	0.002	0.000	✓	48
STORY5	16.50	3.40	69.075	15.858	63.432	0.019	✓	48	0.003	0.002	0.008	0.000	✓	48
STORY6	19.90	3.40	79.743	10.668	42.671	0.013	✓	48	0.002	-0.001	-0.005	0.000	✓	48
STORY7	23.20	3.30	90.721	10.978	43.912	0.013	✓	47	0.001	-0.001	-0.005	0.000	✓	47

ENY							نام بار :	0.00 m تراز پایه :						
طبقه	h (m)	H (m)	در جهت X					در جهت Y						
			U (mm)	Δe (mm)	ΔM (mm)	Drift	درز انقطاع (mm)	U (mm)	Δe (mm)	ΔM (mm)	Drift	درز انقطاع (mm)		
STORY1	2.90	2.90	0.015	0.015	0.059	0.000	✓	41	3.461	3.461	17.305	0.006	✓	41
STORY2	6.30	3.40	0.027	0.012	0.049	0.000	✓	48	9.162	5.701	28.506	0.008	✓	48
STORY3	9.70	3.40	0.053	0.026	0.106	0.000	✓	48	16.635	7.473	37.366	0.011	✓	48
STORY4	13.10	3.40	0.073	0.020	0.080	0.000	✓	48	24.559	7.924	39.619	0.012	✓	48
STORY5	16.50	3.40	0.080	0.007	0.027	0.000	✓	48	32.357	7.798	38.988	0.011	✓	48
STORY6	19.90	3.40	0.123	0.043	0.172	0.000	✓	48	39.420	7.063	35.317	0.010	✓	48
STORY7	23.20	3.30	0.375	0.252	1.009	0.000	✓	47	45.551	6.131	30.656	0.009	✓	47

ENX							نام بار :	0.00 m تراز پایه :						
طبقه	h (m)	H (m)	در جهت X					در جهت Y						
			U (mm)	Δe (mm)	ΔM (mm)	Drift	درز انقطاع (mm)	U (mm)	Δe (mm)	ΔM (mm)	Drift	درز انقطاع (mm)		
STORY1	2.90	2.90	6.334	6.334	25.335	0.009	✓	41	0.000	0.000	0.000	0.000	✓	41
STORY2	6.30	3.40	20.768	14.434	57.738	0.017	✓	48	0.000	0.000	-0.001	0.000	✓	48
STORY3	9.70	3.40	36.388	15.620	62.481	0.018	✓	48	0.000	0.000	-0.001	0.000	✓	48
STORY4	13.10	3.40	53.163	16.775	67.100	0.020	✓	48	-0.001	0.000	-0.001	0.000	✓	48
STORY5	16.50	3.40	69.016	15.852	63.410	0.019	✓	48	-0.002	-0.001	-0.005	0.000	✓	48
STORY6	19.90	3.40	79.651	10.635	42.540	0.013	✓	48	-0.001	0.001	0.003	0.000	✓	48
STORY7	23.20	3.30	90.395	10.744	42.977	0.013	✓	47	0.001	0.002	0.010	0.000	✓	47